Научный центр Бэмкон
http://www.sc-bemkon.com/
bemkon.ru

Конюхов Н.И., Конюхова Е.Н.

Мозг человека под влиянием резонансов космических энергий

Часть III Литература, приложения

Москва
- 2020 -

ББК 65.050
К65
К65

Мозг человека под влиянием резонансов космических энергий [Текст] / Н.И. Конюхов, Е.Н. Конюхова – М., 2020. – 399 с.
ISBN 978-5-6045178-2-6

Зависимость функционирования нашего головного мозга от космических энергий в статистическом плане однотипна связи космических энергий (сила гравитации, вращения планет, Луны и электромагнитное излучение, гравитация Солнца) с темпами роста ВВП, социальным, духовным развитием общества. Коэффициент корреляции между среднегодовой скоростью вращения Земли и ростом ВВП России с 1990 по 2020 годы составил 0,71!!! В книге о социально-экономических, психологических последствиях такой зависимости, о принципиально новой методике ЭЭГ-психодиагностики.

Ключевые слова – теги: мозг человека, скорость вращения Земли, LOD, вихревая энергия, резонансы космических энергий, ЭЭГ, космические энергии, грависпиновая энергия, электромагнитная энергия, научный центр Бэмкон, люди типа 1/1 и 5/5, ВВП, движение полюса Земли, ЭЭГ-психодиагностика.

УДК 338.2
ББК 65.050
ISBN 978-5-6045178-2-6
© Конюхов Н.И., 2020

Оглавление

Книги на которые делаются ссылки 11
Системно обобщающие издания 13
Популярные видео научного центра Бэмкон 13
Литература: 15
Интернет- ресурсы 35

Приложения.....38
Приложение 1. Частота и амплитуда ЭЭГ, ЭКГ по примененной методике в точках их съема при выполнении различных заданий в дни максимального замедления, ускорения скорости вращения Земли, в промежуточные дни между ними и средние значения основных примененных маркеров космических энергий в это время38
Приложение 2. Индексы асимметрии между частотами ЭЭГ в затылочных/лобных отделах головного мозга и в левом/правом полушариях в разные годы при разных значениях использованных маркеров космических энергий (условных выборках) 44
Приложение 3. Индексы асимметрии между частотами ЭЭГ при полнолуниях и новолуниях..... 47
3.1 Индексы асимметрии между частотами ЭЭГ в затылочных/лобных отделах головного мозга и в левом/правом полушариях в разные годы при полнолуниях и новолуниях (простое сравнение) 48
3.2 Индексы асимметрии между частотами ЭЭГ в затылочных/лобных отделах головного мозга и в левом/правом полушариях в разные годы при полнолуниях и новолуниях, а также асимметрии асимметрий (оценка индексов асимметрий через сопоставление их между собой) 49
3.3 Коэффициенты асимметрии при сочетании *полнолуния* с примененными маркерами космических энергий 51

Обследование в 2017-20 годах 51
3.4 Коэффициенты асимметрии при сочетании *новолуния* с примененными маркерами космических энергий 52
Обследование в 2017-20 годах 52
Приложение 4. Частоты ЭЭГ у обследованных (закрытые глаза) в дни с разным значением примененных маркеров космических энергий в день обследования 54
4.1 Данные по средним частотам ЭЭГ в период нахождения испытуемых с закрытыми глазами в течение 15 минут перед комплексным обследованием и маркеры космических энергий за 2004-2020 годы в день обследования 54
4.2. Данные по средним частотам ЭЭГ в период нахождения испытуемых с закрытыми глазами в течение 15 минут и маркеры космических энергий за 2004-2020 годы в день обследования разбиты на условные группы по величине суммы координат Pole_X+Y движения оси Земли и чисел Вольфа, деленное на 50 55
4.3. Частоты ЭЭГ у обследованных (закрытые глаза) в дни с разным значением такого маркера космических энергия как сумма координат Pole_X+Y движения оси Земли минус число Вольфа, деленное на 50, в 2004-2020 годах 57
4.4. Частоты ЭЭГ у обследованных (закрытые глаза) в дни с разным значением такого маркера космических энергия как LOD *минус* число Вольфа, деленное на 50, в 2004-2020 годах 58
4.5. Частоты ЭЭГ у обследованных (закрытые глаза) с разным значением такого маркера космических энергия как LOD (величина обратная скорости вращения Земли) *плюс* число Вольфа, деленное на 50, в 2004 – 2020 годах в день обследования 60
4.6. Частоты ЭЭГ у обследованных (закрытые глаза) в дни с разным значением такого маркера космических энергия как числа Вольфа в 2004 – 2020 годах 61

4.7. Частоты ЭЭГ у обследованных (закрытые глаза) в дни с разным значением такого маркера космических энергия как LOD Земли в 2017 – 2020 годах 63
4.8. Частоты ЭЭГ у обследованных (закрытые глаза) в дни с разным значением такого маркера космических энергия как LOD Земли в 2004-2014 годах 65
4.9. Частоты ЭЭГ у обследованных (закрытые глаза) в дни с разным значением такого маркера космических энергия как LOD в день обследования в 2004 – 2020 годах 66
4.10. Частоты ЭЭГ у обследованных (закрытые глаза) в дни с разным значением такого маркера космических энергия как сумма координат движения полюса Pole_X+Y в 2017-2020 годах 68
4.11. Частоты ЭЭГ у обследованных (закрытые глаза) в дни с разным значением такого маркера космических энергия как сумма координат движения полюса Pole_X+Y в 2004-2014 годах 69
Приложение 5. Корреляции между частотами ЭЭГ, которые были в момент выполнения каждого вида деятельности, экспертной оценкой результатов этой деятельности каждого испытуемого и значениями шкал выполненных тестов (методика MMPI, интеллектуальные тесты) за несколько дней до этого в 2017-2020 годах 72
Приложение 6. Корреляции между частотами ЭЭГ в точках съема (перед началом обследования, при решении сложных логических задач и при работе с рисунками) и данными семантического дифференциала, ответы на который получены за несколько дней до обследования 88
6.1 Корреляции между частотами ЭЭГ в точках съема перед началом обследования (закрытые глаза) и данными семантического дифференциала, ответы на который получены за несколько дней до обследования 88
6.2 Корреляции между частотами ЭЭГ в точках съема при решении сложных логических задач и данными

семантического дифференциала, ответы на который получены за несколько дней до обследования 89
6.3 Корреляции между частотами ЭЭГ в точках съема в период работы с рисунками и данными семантического дифференциала, ответы на который получены за несколько дней до обследования 90
Приложение 7. Коэффициенты корреляции между частотой ЭЭГ в разных точках съема и маркерами космических энергий в этот день при отдыхе с закрытыми глазами, выполнении сложных логических заданий, работы с рисунками, фотографиями, при воссоздании важных эмоциональных событий на жизненном пути, при отдыхе под музыку Моцарта 92
Приложение 8. Сравнительные значения коэффициентов корреляции между частотами ЭЭГ в точках съема в 2017-2020 и 2004-2014 годах..... 97
Приложение 9. Корреляционные матрицы связи маркеров космических энергий с частотой ЭЭГ в каждой точке головного мозга в день обследования (сравнение данных 2004-2014 и 2017-2020 годов) 99
9.1 Корреляционная матрица связи маркеров космических энергий с частотой ЭЭГ в каждой точке головного мозга в 2004-2014 годах 99
9.2. Корреляционная матрица связи маркеров космических энергий с частотой ЭЭГ в каждой точке головного мозга в 2017-2020 годах 99
9.3. Корреляции между корреляционными матрицами связи маркеров космических энергий с частотой ЭЭГ в каждой точке головного мозга (сравнение данных 2004-2014 и 2017-2020 годов) 100
9.4 Степень устойчивости корреляций между частотой ЭЭГ в каждой точке головного мозга в день обследования при разных космических энергиях в 2004-14 и 2017-2020 годах 101

Приложение 10. Среднегодовое значение использованных маркеров космических энергий с 1973 года, ВВП России с 1990 года и коэффициенты корреляции между ними 102
10.1. Коэффициенты корреляции между темпами роста ВВП в России и среднегодовыми значениями использованных маркеров космических энергий 102
10.2 Использованные среднегодовые значения маркеров космических энергий с 1973 года, ВВП России..... 102
Приложение 11. Коэффициенты корреляции между частотами ЭЭГ и результатами тестирования данных людей по методике MMPI за несколько дней до обследования при высокой и низкой скорости вращения Земли в 2017-20 годах 106
11.1 Коэффициенты корреляции между частотами ЭЭГ и результатами тестирования данных людей по методике MMPI за несколько дней до обследования в точках максимального замедления скорости вращения Земли (5/5) дневных циклов космических энергий в 2017 – 20 годах.... 106
11.2 Коэффициенты корреляции между частотами ЭЭГ при отдыхе с закрытыми глазами и результатами тестирования данных людей по методике MMPI за несколько дней до обследования в точках максимальной скорости вращения Земли (1/1) дневных циклов космических энергий в 2017 – 20 годах..... 107
11.3 Коэффициенты корреляции между средними (по всем точкам съема) частотами ЭЭГ при отдыхе с закрытыми глазами и результатами тестирования данных людей по методике MMPI за несколько дней до обследования при высокой и низкой скорости вращения Земли в 2017-20 годах 108
Приложение 12. Частоты ЭЭГ и результаты тестирования при различных сочетаниях космических энергиях в 2017-2020 годах 110

Приложение 13. Сизигии Земли с Солнцем, с одной из планет или с Луной в период, когда были показаны самые низкие и самые высокие значения частот ЭЭГ, обследуемыми в 2016-2020 годах в точке F3 122
13.1 Самые высокие значения частот ЭЭГ в точке F3 122
13.2 Самые низкие значения частот ЭЭГ у обследованных в точке F3 132
Приложение 14. Сизигии Земли с Солнцем, с одной из планет или с Луной в период, когда были показаны самые низкие и самые высокие значения частот ЭЭГ, обследуемыми в 2016-2020 годах в точке F4 142
14.1 Самые низкие значения частот ЭЭГ в точке F4 142
14.2 Самые высокие значения частот ЭЭГ в точке F4 150
Приложение 15. Сизигии Земли с Солнцем, с одной из планет или с Луной в период, когда были показаны самые низкие и самые высокие значения частот ЭЭГ, обследуемыми в 2016-2020 годах в точке P4 155
15.1 Самые низкие значения частот ЭЭГ в точке P4 при работе с фотографиями 155
15.2 Самые высокие значения частот ЭЭГ в точке P4 при работе с фотографиями 160
Приложение 16. Процентное распределение участников сизигий (Солнце, Луна, планеты) в период, когда обследовались лица, показавшие самые высокие и самые низкие частоты ЭЭГ 173
16.1 Процент числа сизигий Земли с Солнцем, с одной из планет или с Луной в период, когда были показаны самые низкие и самые высокие значения частот ЭЭГ обследуемыми в 2016-2020 годах 173
16.2 Процент числа сизигий Земли с Солнцем, с одной из планет или с Луной в период, когда были показаны самые низкие и самые высокие значения частот ЭЭГ обследуемыми в 2016-2020 годах в точках F4 и P4 головного мозга 173

Приложение 16.3. Обобщенные табличные данные о сизигии Земли с Солнцем, с одной из планет или с Луной в период, когда были показаны самые низкие и самые высокие значения частот ЭЭГ, обследуемыми в 2016-2020 годах в точках F3, F4, P4 головного мозга 174

«Путь опыта духовного привел … к осознанию того, что наука, оперирующая понятиями, основанными на восприятии явлений мироздания органами чувств человека и его разумом, неполна без привлечения иной точки отсчета, иной системы мер».

Н. Моностон

Книги на которые делаются ссылки

Основная литература, изданная научными центрами Бирюч и Бэмкон https://www.sc-bemkon.com/books

1. Социокосмология: справочник [Текст] / Под ред. Н.И. Конюхова – М., Научный центр Бэмкон, 2020. – 820с. ISBN 978-5-6040310-9-4

2. Финансовые рынки под влиянием резонансов космических энергий [Текст] / Н.И. Конюхов, Е.Н. Конюхова – М., 2020. – 296 с. ISBN 978-5-6045178-0-2

3. Изменение стран и народов под влиянием космических энергий. [Текст] / Н.И. Конюхов, – М., 2020. – 290 с.
ISBN 978-5-6045178-1-9

4. Активность правого и левого полушарий головного мозга при разных космических энергиях: экономика, политика, ментальность / Н.И. Конюхов – М., 2020. – 309 с.

5. Экономические уклады и духовность в России: взаимозависимость и космическая цикличность / Н.И. Конюхов – М., 2019. – 291 с.

6. Мир при смене космических энергий. / Н.И. Конюхов - М.: 2019. – 453 с.

7. Космические энергии и человечество: гаплогруппы, психотипы, социум. / Н.И. Конюхов – М., 2018. – 379 с

8. Психологические термины и психокосмические концепции в истории, социологии, экономике, маркетинге, медицине. Словарь-справочник. Том I. / Н.И. Конюхов – М., 2018. – 508 с.

9. Психологические термины и психокосмические концепции в истории, социологии, экономике, маркетинге, медицине. Словарь-справочник. Том II. / Н.И. Конюхов – М., 2018. – 500 с.

10. Здоровье в резонансе с космическими энергиями: факты, графики, расчеты. / Н.И. Конюхов – М., 2018. – 291 с.

11. В резонансе с космическими энергиями: психокоррекция и маркетинг . / Н.И. Конюхов, О.Н. Архипова, Е.Н. Конюхова, А.Р. Хайруллин – М., 2018. – 381 с.

12. Космические энергии и человечество: графики для размышлений. Издание 2-е, доп. / Н.И. Конюхов – М., 2017. – 508 с.

13. Психокосмические энергии и Россия. М.: 2017. – М.: Перо. – 355 с.

14. Психокосмические энергии и экономический рост. – М.: 2017. - 231 с.
15. Психокосмические энергии и терроризм. – М., 2016. – 258 с.
16. Человек в вихрях эфира. – М.: Перо, 2016. – 437 с.
17. Психокосмические энергии: протесты, революции, рывки в развитии. – М.: 2016, с.310-330
18. Интеллект руководителя: практикам и исследователям. – М.: 2015. – 678 с.
19. Дыхание истории. – М., 2015. – 831 с.
20. Экономический кризис: кто виноват и что делать. М.: 2014. – 400 с.
21. Экономический кризис: Космос и люди. М.: 2014. - 230 с.
22. Мягкая сила в истории Германии : уроки 30-х годов XX века. – М.: 2014. - 313 с.
23. Психоэкономика . М.: 2012. - 2-е изд. - 540 с.
24. Психоэкономика: глобализация, рынки, кризис. М.: 2012. – 300 с.
25. Шизоидность: ?! М.: 2011. - 352 с.
26. Словарь-справочник по психологии. – М.: 1996. – 160 с.
27. Акмеология и тестология. М.: 1996. - 380 с. И др.
28. Анализ и прогноз фондовых рынков. https://bemkon.ru/Fragments/Article14.aspx
29. Формула революций, массовых протестов: открытия российских ученых https://bemkon.ru/Fragments/Article17.aspx
30. In resonance with cosmic energies: terrorism and marketing [Текст] / Konyukhov N., Arhipova O., Konyukhova E., Hayrullin A. ; Research and training center Biruch, Research center Bemkon. - Moscow: [s. n.], 2018. - 284 p.
31. Cosmic energies and mankind: graphs for reflection [Текст] / N. I. Konyukhov ; Research and training center Biruch, Research center Bemkon. Moscow: Гарант, 2018 – 349 p.
32. Psycho-cosmic energies and Russia [Текст] / Konyukhov N. I. ; Research and training center Biruch, Research center Bemkon. Moscow: Pero, 2017. - 219 p.
33. Psycho-cosmic energies and economic growth [Текст] / Konyukhov N., Arhipova O., Konyukhova E. ; Scientific and research centre "Bemkon. Moscow: Перо, 2017. – 235 p.

34. Economic crisis. Chapters from the book. / N.I. Konyukhov . – M.; Publishing Office Pero, 2015. – 240 p.
35. Economic crisis: Cosmos and people / N.I. Konyukhov . – M.; Publishing Office Pero, 2014. – 221 p.
36. Psychoeconomics: Clobalization, Markets, Krisis. N.I. Konyukhov – M.; Publishing Office Pero, 2014. – 309 p.
37. Cosmic energies and mankind: graphs for reflection. [Text] / N.I. Konyukhov. - - M., 2018. – 371 c.

Системно обобщающие издания

https://bemkon.ru/Fragments/era.pdf
https://bemkon.ru/Fragments/Dictionary_site2.pdf

Популярные видео научного центра Бэмкон

https://www.youtube.com/watch?v=XRcHlIqdHfA&t=9s

Видео на русском языке

Вводное слово о научных идеях НЦ Бэмкон

https://www.youtube.com/watch?v=o67lPM00tvY&feature=youtu.be

Продолжение

https://www.youtube.com/watch?v=s1A4pr-W8DA&feature=youtu.be
https://youtu.be/s1A4pr-W8DA
https://www.youtube.com/watch?v=0vkUG8V1dAs
https://www.youtube.com/watch?v=3O-GRpz-0t8

Космические энергии и здоровье

https://www.youtube.com/watch?v=aa1I9--Jzyk
https://www.youtube.com/watch?v=XRcHlIqdHfA&t=9s

В гостях НЦ - Глобальная Волна

https://www.youtube.com/watch?v=3-hBgILvTck&t=10s

В гостях НЦ специалисты Tetraksis

https://www.youtube.com/watch?v=nFQrJADr6Xk&feature=youtu.be
https://www.youtube.com/watch?v=Ku0f62Mamuk
https://youtu.be/geAykwdOcrg
https://youtu.be/HJHJ2daoZtQ

Видео на иностранных языках

Видео на немецком языке

www.youtube.com/watch?v=Ll4m94_Arks&feature=youtu.be
https://youtu.be/sxOtu9qSyFs

Видео на английском языке

https://www.youtube.com/watch?v=P7zyxffA9u4&feature=youtu.be
https://www.youtube.com/watch?v=P7zyxffA9u4&t=46s

Литература:

Акимов А. Е., Тарасенко В. Я. Модели поляризованных ний физического вакуума и торсионные поля //Изв. вузов.Физика.-1992, N3, 13-23 с.

Александров Н.Н. — Закономерности смены власти в XX веке // Человек и культура. – 2016. – № 4. – С. 33 - 50. DOI: 10.7256/2409-8744.2016.4.19180 URL: https://nbpublish.com/library_read_article.php?id=19180

Александров Н.Н. Формула истории. Монография. Изд. второе // «Академия Тринитаризма», М., Эл № 77-6567, публ.16506, 07.05.2011. – 476 с.

Александров Н.Н. Понимание времени. Культура и циклы. Избранные статьи. Изд. второе. // «Академия Тринитаризма», М., Эл № 77-6567, публ.16682, 27.07.2011. 242 с.

Александров Н.Н. Циклическая динамика. Кн. 1- 4.. Монография. Научное издание. М.: Изд-во Академии Тринитаризма, 2013.

Аптикаева О.И., Гамбурцев А.Г., Мартюшов А.Н. Здоровье человека и гелиогеофизические факторы: сравнительный анализ динамики числа экстренных госпитализаций в психиатрические стационары Казани и Москвы, 2012, в журнале *Электронное научное издание Альманах Пространство и Время*, том 1, № 2

Аптикаева О.И., Гамбурцев А.Г., Мартюшов А.Н. Структура временных рядов числа экстренных госпитализаций в психиатрические стационары Казани и Москвы (общие тенденции и различия, 2012, в журнале *Геофизические процессы и биосфера*, том 11, № 2, с. 40-53

Аптикаева О.И., Гамбурцев А.Г., Степанова С.И. Вариации структуры биоритмов у здоровых людей, в журнале *Геофизические процессы и биосфера*, том 8, № 3, с. 17-25

Анистратенко Л.А. Гравитация и НЛО: один простой ответ на сотни непростых вопросов. – М.: 2003, с. 54-57, 74-75.

Асташова Ю. В. Теория поколений в маркетинге // Вестник Южно-Уральского государственного университета. — № 1, Т. 8. — 2014

Атлас временных вариаций природных, антропогенных и социальных процессов. Том 5. Человек и три окружающих его среды, 2013, под

редакцией Глико А.О., Черешнев В.А., Аптикаева О.И., Гамбурцев А.Г. место издания *Янус-К Москва*, ISBN 978-5-8037-0559-8, 719 с

Ацюковский В.А. Общая эфиродинамика. Моделирование структуры вещества и полей на основе представленной о газоподобном эфире. М.: 2003, с.523.

Ацюковский В.А. Общая эфиродинамика. – М.: Энергоатомиздат, 2-е издание, 2003. – 584 с.

Ацюковский В.А. Эфирный ветер. – М.: Энергоатомиздат, 2011. – 419 с.

Базарова Д.Р., Демочкина Л.В., Савельев А.В. Новая нейробионическая модель онтогенеза // “Нейроинформатика-2002”. - М.: МИФИ, 2002, Т. I, - С. 97-106.

Балановский О.П.1, Тегако О.В.2 1Государственное учреждение Медико-генетический научный центр РАМН, Москва (Россия) 2Институт искусствоведения, этнографии и фольклора НАН Беларуси, Минск (Беларусь)
http://history-belarus.by/images/img-articles/dnk/Genofond_belarusow.pdf

Белоусов Б П, в кн. Сборник рефератов по радиационной медицине за 1958 г. (М.: Медгиз, 1959) с. 145 и в кн. Автоволновые процессы в системах с диффузией (Ред. М Т Грехова) (Горький, 1981) с. 176

Бодрова Н Б, Удальцова Н В, Иванов П С, Шноль С Э "О неслучайности формы "несостоятельных" гистограмм", Препринт ИБФ АН СССР (Пущине: НЦБИ, 1989)

Боков В.А., Ловелиус Н.В., Ретеюм А.Ю. О периодичности природных аномалий Крыма. В журнале *Общество. Среда. Развитие*, 2018, № 4

Брюс Л. Биология веры: недостающее звено между жизнью и сознанием». - София, 2008 - 256 с.

Ветретененко С.В., Огурцов М.Г. Аномалии облачности в умеренных широтах Северного и Южного полушарий: связь с динамикой атмосферы и вариациями космических лучей.

Гамбурцев А.Г., Аптикаева О.И. Атлас временных вариаций для здоровья человека и биосферы, 2009, в журнале *"Технология живых систем"*, том 6, № 7, с. 54-64

Гумилев Л.Н. Сочинения. – М.: Харвест; Астрель, 2012. – 1519 с.

Гумилев Л.Н. Древняя Русь и Великая Степь. М., 1989а.

Гумилев Л.Н. Этногенез и биосфера Земли. Л., 1989б

Гумилев Л. Н. География этноса в исторический период. Л., 1990.

Гумилев Л.Н. От Руси до России. СПб., 1992.

Гумилев Л.Н. Тысячелетие вокруг Каспия. М., 1993а.

Гумилев Л.Н. Этносфера. История людей и история природы. М., 1993б

Гумилев Л.Н., Иванов К.П. Этносфера и космос //Космическая антропоэкология: техника и методы исследований (Материалы Второго Всесоюзного совещания по космической антропоэкологии. Ленинград, 1984). Л., 1988.

Девятаева Н.И., Форощук А.В. Ритмика развития цивилизации человечества. http://kosmopoisk.ks.ua/article/ritmika-razvitiya-tsivilizatsii-chelovechestva

Демаков, Ю.П. Закономерности самоорганизации системы «общество – природа» в Марий Эл / Ю.П. Демаков, Л.И. Севостьянова, А.Е. Смыков // Социальная синергетика и актуальная наука. Национальные проекты России как фактор ее безопасности и устойчивого развития в глобальном мире. – Йошкар-Ола: МарГТУ, 2008. С. 49-63.

Демаков, Ю.П. Изреживание леса как циклический процесс / Ю.П. Демаков, И.А. Алексеев // Циклы природы и общества: Мат-лы IV Международ. конф. Ч. 1. - Ставрополь, 1996. С. 344-345.

Демаков Ю.П. Возможности дендрохронологии в индикации и прогнозе течения природных и антропогенно обусловленных процессов / Ю.П. Демаков // Математические и физические методы в экологии и мониторинге природной среды. – М., 2001. С. 257-263.

Демаков Ю.П. Возрастная структура и особенности динамики радиального прироста приозерных сосняков сфагновых заповедника «Большая Кокшага» / Ю.П. Демаков, А.В. Полевщиков. - Йошкар-Ола: МарГТУ, 1997. – 31 с. – Деп. в ВИНИТИ 28.02.97, № 635-В97.

Демаков, Ю.П. Диагностика устойчивости лесных экосистем (методологические и методические аспекты) / Ю.П. Демаков.- Йошкар-Ола: Периодика Марий Эл, 2000.- 416 с.

Демаков Ю.П. Динамика радиального прироста деревьев в климаксовых сосняках сфагновых на стационарных объектах ТатЛОС в Республике Марий Эл / Ю.П. Демаков, И.А. Козлова // Проблемы использования, воспроизводства и охраны лесных ресурсов Волжско-Камского региона. – Казань, 2004. С. 102-108.

Демаков Ю.П. Итоги многолетних наблюдений за дифференциацией деревьев на стационарных объектах ТатЛОС в сосняках Республики Марий Эл / Ю.П. Демаков, И.А. Козлова // Проблемы использования, вос-

производства и охраны лесных ресурсов Волжско-Камского региона. – Казань, 2004. С. 109-115.

Демаков Ю.П. Особенности процесса дифференциации деревьев по диаметру в культуре сосны / Ю.П. Демаков, В.И. Пчелин, Е.И. Патрикеев // Современные проблемы теории и практики лесного хозяйства. – Йошкар-Ола: МарГТУ, 2008. С. 108-112.

Демаков Ю.П. Особенности радиального прироста деревьев в климаксовых сосняках сфагновых Марийского Полесья / Ю.П. Демаков, М.Г. Сафин, Д.В. Тишин // Дендроэкология и лесоведение. Материалы Всеросс. конф. Красноярск, 2007. С. 40-42.

Демаков Ю.П. Состояние пойменных насаждений Марий Эл и биологическая устойчивость слагающих их пород / Ю.П. Демаков, А.Ф. Агафонов, Е.К. Кудрявцев, А.В. Иванов // Рубки и восстановление леса в Среднем Поволжье: Сб. науч. тр.– М.: ВНИИЛМ, 1992. С. 58-72.

Демаков Ю.П. Использование рядов радиального годичного прироста ствола для оценки условий среды и жизнеспособности деревьев / Ю.П. Демаков, И.А. Козлова, Е.А. Медведкова // Проблемы государственного мониторинга природной среды на территории Республики Марий Эл: Матер. первой республ. научно-практ. конф. 25-26 июня 2002 г. – Йошкар-Ола, 2002. С. 105-110

Демаков Ю.П. Размышления натуралиста о генезисе ландшафта, изображенного на картине И.И. Шишкина «Рожь».

В кн.: Научные труды государственного природного заповедника «Большая Кокшага». Вып. 4. С. 370-372.

Демаков Ю.П., Исаев А.В. Закономерности роста деревьев ели в пойме рек Большой и Малой Кокшаги // Научные труды государственного природного заповедника «Большая Кокшага». Вып. 4. - Йошкар-Ола, 2009. С. 68-123.

Демаков Ю. П. Особенности роста деревьев сосны и ели в смешанных естественных древостоях Ботанического сада МарГТУ / Ю.П. Демаков, Е.А. Медведкова // Интродукция растений: теоретические, методические и прикладные аспекты: Материалы международ. конф. – Йошкар-Ола: МарГТУ, 2009. С. 156-165.

Демаков Ю. П. Потребление и вынос древесными растениями зольных элементов в пойменном биотопе. Вестник ПГТУ. 2013. №1 ISSN 2306-2827 36 УДК 630*18 Ю. П. Демаков, А. В. Исаев, А. М. Швецов

DemakovYP@volgatech.net

Деркачев В.А. Радиоуглеродный хронометр. Природа, «Астрофизика», 1994, с. 3 -15

Дмитриев А.Н. Геофизические аспекты аномальных явлений и глобальная экология // Изв.вузов. Физика. 1992. No 3.С. 30-38.

Дмитриев А.Н., Похолков Ю.П., Протасевич Е.Т., Скавинский В.П. Плазмообразование в энергоактивных зонах. Новосибирск: Изд. ОИГГиМ СО РАН, 1992. 212 с.

Дмитриев А.Н. Природные самосветящиеся образования. Новосибирск: Изд. Ин-та математики, 1998. 191 с.

Дмитриев А.Н., Дятлов В.Л. Модель неоднородного физического вакуума и природные самосветящиеся образования. Новосибирск: 1995. (Препринт / ИМ СО РАН; No 16). 34 с. // Вестник МИКА.} 1996. Вып. 3. С. 65-76.

Дмитриев А.Н. Природные электромагнитные процессы на Земле. Горно-Алтайск: РИО «Универ-Принт» ГАГУ, 1995. 80 с.

Дмитриев А.Н. Новые проблемы исследования необычных явлений окружающей среды // Следы космических воздействий на Земле. Сб. статей. Новосибирск: Наука, 1990. С. 3-22.

Дмитриев А.Н., Дятлов В.Л. Геолого-геофизическое значение неоднородного физического вакуума.(Институт геологии ОИГГиМ, Институт математики СО РАН). Интернет.

Дьяконов К.Н., Ретеюм А.Ю. Новейшая смена больших солнечно-земных циклов по данным наблюдений в Евроазии. В сборнике *Космос и биосфера. Тезисы докладов XII Международной крымской конференции, посвященной 100-летию Крымского федерального университета имени В.И. Вернадского, 120-летию А.Л. Чижевского, 100-летию В.А. Троицкой и 130-летию П.М. Нагорского*, 2017, с. 69-71

Дьяконов К.Н., Ретеюм А.Ю. Научные принципы А.Л. Чижевского и современная астрогеография В сборнике *I Международная Научно-практическая конференция, посвященная сохранению творческого наследия и развитию идей А.Л. Чижевского*, место издания *АКФ "Полистоф" Калуга*, 2017, с. 11-15

Дьяконов К.Н., Ретеюм А.Ю. Дендроиндикация космических воздействий для целей сверхдолгосрочной оценки риска В сборнике *География и геоэкология. Проблемы развития Балтийского региона. Материалы международной научно-практической конференции*, место издания *НовГУ имени Ярослава Мудрого Великий Новгород, 2012*

Дьяконов К.Н., Ретеюм А.Ю. Земной отклик на движение внешних планет по данным дендроиндекации В журнале *Известия Русского географического общества*, издательство *ФГУП Издательство «Наука» (Москва)*, 2013, том 145, № 5

Дьяконов К.Н., Ретеюм А.Ю. 179-летние циклы на севере Западной Сибири в сборнике *География: развитие науки и образования. Коллективная монография по материалам ежегодной Всероссийской с международным участием научно-практической конференции LXXII Герценовские чтения*, место издания *Изд-во РГПУ им. А. И. Герцена, Санкт-Петербург*, 2019, том 1, с. 444-448

Дьяконов К.Н., Ретеюм А.Ю. Астрогеографическое исследование динамики геосистем Северной Евразии В сборнике *Современные направления развития физической географии: научные и образовательные аспекты в целях устойчивого развития. Материалы междунар. науч.-практич. конф., (под ред: Е. Г. Кольмакова)*, место издания *БГУ Минск*, с. 73-77Дьяконов К.Н., Ретеюм А.Ю. Проявление 179-летних циклов температуры воздуха в Западной Сибири. В сборнике *Глобальные климатические изменения : региональные эффекты, модели, прогнозы: Материалы международной научно-практической конференции*, место издания *Воронеж*, 2019, том 1, с. 173-175

Дьяконов К.Н., Ретеюм А.Ю. Астрогеографический анализ периодичности природных аномалий В сборнике *Материалы второй всероссийской конференции «География, общество, окружающая среда» по результатам совместных конкурсов РФФИ и РГО (31 мая – 1 июня 2016 года)*, место издания *Москва*, тезисы, с. 18-19, тезисы, с. 39-39

Дятлов В. Л. Поляризационная модель неоднородного физического вакуума.

Новосибирск. Изд-во Института Математики, 1998 г.- 183 с. (http://prometheus.al.ru/phisik/dyatlov.zip)

Дятлов В.Л., Кирпичников Г.А. Приложение поляризационной моделинеоднородного физического вакуума к биологии. Интернет.

Дятлов В.Л. Линейные уравнения макроскопической электрогравидинамики. М.: 1995. (Препринт / МИТПФ АЕН; No 11). 24 с.

Дятлов В.Л. Электрогравимеханическое преобразование энергии. М.: 1995. (Препринт / МИТПФ АЕН; No 12). 9 с.

Еганова И.А., Клещев А. Г., Струминский В.И. К проблеме геофизического мониторинга: масса кристаллов и минеральных агрегатов // По-

иск математических закономерностей Мироздания: физические идеи, подходы, концепции / Ред. М.М. Лаврентьев, В. Н. Самойлов. Новосибирск, Академическое изд-во «Гео», 2006. С.107–123.

Еганова И.А., Самойлов В.Н., Струминский В.И., Каллис В. Известные проблемы гравитации и исследовательские возможности геофизического мониторинга. – Препринт ОИЯИ Р2-2007-183, 2007, Дубна, 25 с.

Епифанцев С.Н. Психологические особенности руководителей с чертами паранойяльной акцентуации личности. М.: 1996

Жаботинский А М Концентрационные автоколебания. - М.: Наука,1974. - с. 178

Жериков А. В. Применение квазигидродинамических уравнений для математического моделирования течений. - М.: МГУ, 2009. Диссертация… физико-математических наук.

Жуков А.Г., Колесников А.А., Савельева-Новосёлова Н.А., Савельев А.В. Устройство для моделирования нейрона // А. с. № 1642485, БИ № 14, 1991.

Коатса К. Живые энергии. Интернет

Коваленко М.И. Пассионарность как психологический феномен. Сборник научных трудов "Психологические проблемы самореализации личности". Изд. СПб Ун-та, 1999 г.

Колтовой Н.А., Краевский С.А. «Диагностика по капле крови. Кристаллизация биожидкостей”, стр. 18: https://koltovoi.nethouse.ru/

Кирпичников Г.А. Физика аномального мира и человека. Т. 1 – 3

Кирпичников Г. А. Человек и мироздание. Бог. Сознание. Жизнь // Сознание и физическая реальность. Т. 13. № 5. 2008. С. 47–56.

Киселев В.М. Вращение Земли от архея до наших дней. М.: 2015. http://ru.iszf.irk.ru/images/0/06/272-275.pdf

Козырев Н.А. Избранные труды. Л.: ЛГУ, 1991. 445 с.

Козырев Н.А. О возможности уменьшения массы и веса тел под воздействием активных свойств времени. http://www.nkozyrev.ru/bd/053.php

Колотовой Н.А. https://koltovoi.nethouse.ru

Кондратьев К. Я., Никольский Г.А. Вихревые эффекты проникающей компоненты солнечного излучения // vd2-777.narod.ru/article2/vihr-effects.htm

Конюхов Н.И. Экономический кризис: Космос и люди. – М.: Перо 2014. – 229с.

Конюхов Н. И. Дыхание истории. – М.: Перо, 2015. – 831с.

Конюхов Н.И. Мягкая сила в истории Германии: уроки 30-х годов XX века. – М.: Изд. «Перо», 2014. – 313с.

Конюхов Н.И. Экономический кризис: кто виноват и что делать. – М.: 2013. – 400 с.

Конюхов Н.И., Архипова О.Н., Конюхова Е.Н. Интеллект руководителя: практикам и исследователям. – М.: 2015.

Костоглодов Ю.К. Хрономеханика. Неизвестные аспекты развития острых психосоматических состояний по данным медицинской и криминальной статистики. ПРОСТРАНСТВО И ВРЕМЯ. 4(18)/2014.

Костоглодов Ю.К. Марс, Луна и вариации показателей системы крови. Симпозиум «Слабые воздействия на организм и популяционном уровне и устойчивость жизненных процессов в биосфере». ФГБНУ «Российский научный центр хирургии им. академика Б.В. Петровского». 2015. http://www.biophys.ru/arxiv/congress/468-2015-b

Крылов С.М., Соболев Г.А. (1994). О сверхнизкочастотном вихревом гравитационном поле на земной поверхности. // Доклады Академии Наук, Геофизика, Т.339, №3, с.396-400.

Крылов С.М. (2003). О некоторых необычных эффектах в естественных полях Земли, регистрируемых методами их точного приема и анализа. // Моделирование геофизических процессов, ISBN 5-201-14924-3, №3, с.124-129.)

Ларин В.Н. Наша Земля. – М.:, 2005

Лебедева Н.Е., Цетлин В.В. Влияние космических ритмов на гидробионтов и среду их обитания // Тр. биогеохим. лаб..»Современные тенденции развития биогеохимии». М. ГЕОХИ РАН. 2016. Т. 25. С. 81-87

Ловелиус Н.В., Ретеюм А.Ю. Циклы Солнечной системы в Арктике В сборнике *География: развитие науки и образования. Коллективная монография по материалам ежегодной Международной научно-практической конференции LXXI Герценовские чтения, посвященной 155-летию со дня рождения профессора В.И. Вернадского*, место издания *РГПУ им. А.И. Герцена СПб*, 2018, том 1, с. 243-246

Ловелиус Н.В., Ретеюм А.Ю. Отклик Арктики на вспышки сверхновых звезд в журнале *Общество. Среда. Развитие*, 2019, № 1, с. 97-100

Ловелиус Н.В., Ретеюм А.Ю. Циклы Солнечной системы в Арктике. В журнале *Общество. Среда. Развитие*,2018, № 1, с. 128-130

Ловелиус Н.В., Ретеюм А.Ю. Новейшая смена солнечно-планетных циклов по данным с Таймырского севера В журнале *Общество. Среда. Развитие*, 2017 № 3, с. 79-85 *Общество. Среда. Развитие*, том 3, № 36, с. 193-197.

Льюин Б. М.: 2012, Гены. С.673

Лушнов А.М., Лушнов М.С.Медицинские информационные системы: многомерный анализ медицинских и экологических данных. 2013). books.litres.ru/static/trials/06/50/90/06509091.a4.pdf

Маркина Н.В. Загадки и противоречия творческого мозга. Химия и жизнь. N11, 2008

Мельник И.А. Опыты с вращением. ТФ ФГУП «СНИИГГиМС», E-mail: migranis @ mail. ru

https://directory.eoportal.org/web/eoportal/satellite-missions/v-w-x-y-z/voyager

Мельхиседек Друнвало. Жизнь в Сердце. http://www.master-of-happy.org/forum/110-896-1

Меркулов В.И. Электрогравидинамическая модель НЛО, торнадо и тропического урагана. Новосибирск: Изд. Ин-та математики, 1998. 71 с.

Молостовой А.С., Варзина С.А. Внутриклеточные кристаллы в живых тканях. «Квантовый компьютер, перспективы практической реализации» http://vos.dviger.com/virtoteka/show/c_2222.html

Молчанов А.М. Гипотеза резонансной структуры солнечной системы// Пространство и время, № 1 (11), 2013

Мон Тирэй. Предназначение. Смысл бытия. – М.: Амрита-русь, 2014. –310 с.

Монгуш В.А., Ретеюм А.Ю., Сувак М.С., Хомушку Ч.В., Чижова В.П., Шестакова Е.С. Отклик биосферы в центре Азии на космическое событие 1990. В сборнике *XIII Международная Крымская конференция КОСМОС И БИОСФЕРА*, место издания *ИТ "АРИАЛ" Симферополь*, 2019, тезисы, с. 80-82

Нарманский В.Я. Солнечная активность и планетные конфигурации. Новые возможности прогнозирования// Учёные записки Таврического национального университета им В.И. Вернадского. Серия «Биология, химия», т.20(59), №1, 2007.

Нарманский В.Я. Возвращаясь к вопросу о природе 11-летних циклов// Ученые записки Таврического национального университета им В.И. Вернадского. Серия «Биология, химия», т.20(59), №4, 2007.

Нарманский В.Я. Корреляционная связь погоды-климата с планетными циклами// Ученые записки Таврического национального университета им В.И. Вернадского. Серия «Физико-математические науки», т.23(62), №3, 2010.

Нарманский В.Я. Динамика векторов планетных скоростей и процессы в биосфере// Ученые записки Таврического национального университета им В.И. Вернадского. Серия «Биология, химия», т.24 (63), №2, 2011.

Нарманский В. О планетарной природе экономических циклов 30 августа 2011 http://kapital-rus.ru/articles/article/190212/

Нестерихин Ю.Е., Раутиан С.Г., Смирнов Г.И О лазерном детекторе гравитационных волн // *ЖЭТФ*. 1978. Т. 75, Вып. 1 (7). С. 3-7.

Никитюк Б. Временная динамика спортивной результативности в свете представлений современной интегративной антропологии / Никитюк Б., Балакирева М., Бухвостов А. // Человек в мире спорта: Новые идеи, технологии, перспективы : Тез. докл. Междунар. конгр. - М., 1998. - Т. 2. - С. 426-428.

Никольский Г.А. Солнце светит и ночью? Вихревые эффекты проникающей компоненты солнечного излучения. – СПб.: Санкт-Петербургский университет, №24-25, 28.11.2005.

Никольский Г.А. и Черкасов А.А. Факторы, формирующие Эль-Ниньо, связанные с движением Земли. // Сб-к докладов на Межд. конф. «Экология и Космос», 8-10 февраля 2007г., изд-во СПбГУ, с.237-241.

Никольский Г.А. (2009). Эффекты и механизмы воздействий солнечного спирального вихревого излучения на структуры вещества. // Труды VI Межд. конф. «Естественный и антропогенный аэрозоль - 2008», НИИ Физики СПбГУ, изд-во СПбГУ, с.187-194.

Никольский Г.А. (2010). Скрытая солнечная эмиссия и радиационный баланс Земли. //Сборник статей на Межрегиональном научном семинаре «Экология и космос», посвящённом 90-летию со дня рождения академика К.Я. Кондратьева, 8-9 февраля 2010 г., с.230-240. Никольский Г.А. О масштабных взаимодействиях главных физических полей. Физический ф-т С.-Петербургского университета, 03.05.2013.

Никольский Г.А. О пятом взаимодействии. http://vd2-777.narod.ru/article10/5th_interaction.htm

Никольский Г.А., Пугач А.Ф. Эксклюзивные солнечные источники силового–проникающего излучения и транзит Венеры. Труды восьмой

международной конференции Естественные и антропогенные аэрозоли 2012, СПбГУ, 1-5 октября 2012 г. – СПб.: Изд-во ВВМ. – 2013. — 194–214; или в работе http://vd2-777.narod.ru/article12/reason.htm

Никольский Г.А. «Наиболее вероятные источники вихревого микроволнового излучения на Солнце. Эффекты их воздействия на геосферы». Сборник трудов I Межрегионального симпозиума «Экология и Космос» имени К.Я. Кондратьева, 8–9 февраля 2012, ИНЕНКО РАН, СПб, изд. СПбГУ, 2012, с. 374–387.

Никольский Г.А. и Черкасов А.А. (2007). Факторы, формирующие Эль-Ниньо, связанные с движением Земли. // Сб-к докладов на Межд. конф. «Экология и Космос», 8-10 февраля 2007г., изд-во СПбГУ, с.237-241.

Никольский Г.А. (2009). Эффекты и механизмы воздействий солнечного спирального вихревого излучения на структуры вещества. // Труды VI Межд. конф. «Естественный и антропогенный аэрозоль - 2008», НИИ Физики СПбГУ, изд-во СПбГУ, с.187-194.

Никольский Г.А. Энергетика солнечного вихревого излучения и его взаимодействие с веществом. Кафедра физики атмосферы Физического ф-та СПбГУ, Санкт-Петербург, Россия. Материалы международной научной конференции. Хоста, Сочи, 25-29 августа 2009 г., с. 54

Никольский Г.А. О масштабных взаимодействиях главных физических полей. Физический ф-т С.-Петербургского университета, 03.05.2013.

Панкратов А.К., Нарманский В.Я., Владимирский Б.М. Резонансные свойства солнечной системы, солнечная активность и вопросы солнечно-земных связей. Симферополь, 1996. Молчанов А.М. Гипотеза резонансной структуры солнечной системы// Пространство и время, № 1 (11), 2013

Петухов С.А. Периоды истории Древней Греции и 90-летние солнечные циклы. История и математика: концептуальное пространство и направление поиска. – М.: Издательство ЛКИ, 2008. с. 163-182.

Пресман А. С. Электромагнитные поля и живая природа. М.: АН. Наука, 1968

Прикурин В.И., Бахир В.М. Электрохимическая активация воды: аномальные свойства, механизм биологического действия. М.: ВНИИИ МП АО МПО «Экран». 1987. 228 с 9.

Пугач А.Ф. Торсинд – прибор новой физики, Ч.1. Описание конструкции и особенностей прибора., ЖФНН, Выпуск XX, том 3, 2014, с.

Пугач А.Ф. Экспериментальные данные, переданные автору данной книги.

Пятницкий Л.Н, 2014;. Букалов А.В. 2009, 2012 и др

Рассадкин В.П. Вода обыкновенная и необыкновенная. М.: Галерея СТО. 2008. 840 с. 10.

Ретеюм А.Ю. Главный солнечный максимум и осевое время истории. В журнале *Общество. Среда. Развитие*, 2019, № 4, с. 67-74

Ретеюм А.Ю. Дендрохронология больших циклов солнечной системы. В журнале *Вестник Московского государственного университета леса - Лесной вестник*, издательство *Государственное образовательное учреждение высшего профессионального образования "Московский государственный университет леса" (Москва)*, 2014, том 18, № 5, с. 125-133

Ретеюм А.Ю. Новая парадигма в науках о Земле В журнале *Известия Российской академии наук. Серия географическая*, издательство *Наука (М.)*, № 2, с. 123-129

Ретеюм А.Ю. Земля в Солнечно-Юпитерианской системе

В сборнике *География: развитие науки и образования. Коллективная монография. LXXII Герценовские чтения 18-21 апреля 2019 года, посвященной 150-летию со дня рождения В.Л. Комарова, 135-летию со дня рождения П.В. Гуревича, 90 -летию со дня рождения В.С. Жекулина*, место издания *СПб*, том 1, с. 70-75

Ретеюм А.Ю., Иванова А.О., Мальгина Л.О Катастрафические последствия изменений климата у границы 1430-летних циклов. Пример цивилизации Наска. В сборнике *Глобальные климатические изменения : региональные эффекты, модели, прогнозы: Материалы международной научно-практической конференции*, место издания *Воронеж*, том 1, 2019, с. 89-92

Ретеюм А.Ю. Климатический отклик на большие солнечные циклы. В сборнике *Глобальные климатические изменения : региональные эффекты, модели, прогнозы: Материалы международной научно-практической конференции*, место издания *Воронеж*, 2019, том 1, с. 84-89

Ретеюм А.Ю. Рост планеты: опыт эмпирического обобщения В сборнике *Система «Планета–Земля»*, место издания *ЛЕНАНД, Москва*, 2019, с. 35-57

Ретеюм А.Ю. Точные географические свидетельства роста Земли В сборнике *География: развитие науки и образования. Коллективная монография по материалам ежегодной Международной научно-практической*

конференции LXXI Герценовские чтения, посвященной 155-летию со дня рождения профессора В.И. Вернадского, место издания *РГПУ им. А.И. Герцена СПб*, 2018, том 1, с. 168-172

Ретеюм А.Ю. Генетические последствия планетарного модулирования галактических космических лучей. В сборнике *Космос и биосфера. 2017, Тезисы докладов XII Международной крымской конференции, посвященной 100-летию Крымского федерального университета имени В.И. Вернадского, 120-летию А.Л. Чижевского, 100-летию В.А. Троицкой и 130-летию П.М. Нагорского*, с. 174-175

Ретеюм А.Ю. Космические силы в циркуляции атмосферы Земли В сборнике *«Исследование изменений климата с использованием методов классификации режимов циркуляции атмосферы»*, место издания *Институт географии РАН Москва*, 2016, с. 1-5

Ретеюм А.Ю. Большие планеты Солнечной системы и земные процессы. В сборнике *ТрудыТомского государственного университета. Современные проблемы географии и пути их решения: материалы Международной научно - практической конференции с элементами школы - семинара для студентов, аспирантов и молодых ученых (6 - 9 ноября 2012 г.)*, серия *геолого - географическая*, место издания *Томский государственный университет Томск*, том 283, с. 40-4

Ретеюм А.Ю. Изменения климата на расширяющейся Земле В сборнике *Перспективы развития "зелёной" экономики: вызовы для России,* 2011, с. 100-130

Ретеюм А.Ю. Антропология движения: роль гравитации. Устный доклад. Всероссийская научная конференция с международным участием «Современные проблемы биологии человека», посвящённая памяти Заслуженного профессора МГУ Е.Н. Хрисанфовой, Москва, Россия, 16-17 мая 2018

Ретеюм А.Ю. 1430-летний цикл: рконструкция и прогноз событий в биосфере Система "Планета Земля", 2014

Ретеюм А.Ю. Воздействие галактических космических лучей на популяции человека В сборнике *XIII Международная Крымская конференция КОСМОС И БИОСФЕРА*, место издания *ИТ "АРИАЛ" Симферополь*, тезисы, 2019, с. 97-99

Ретеюм А.Ю. Действие галактических космических лучей на популяции человека

В сборнике *А.Л Чижевский. Вклад в науку и культуру. Материалы II Международной научно-практической конференции, посвященной сохранению творческого наследия и развитию идей А.Л. Чижевского. Калуга, 2019*, место издания *Эйдос Калуга*, тезисы, с. 89-91

Ретеюм А.Ю. К долгосрочному прогнозу галактических космических лучей. В сборнике *ТЕЗИСЫ ДОКЛАДОВ Четырнадцатая ежегодная конференция "Физика плазмы в солнечной системе" 11-15 февраля ИКИ РАН*, 2019, место издания *Издательство ИКИ РАН*, том 78, тезисы, с. 237-237

Ретеюм А.Ю., Гасанов Р.Ш., Малинская Д.С., Фокеев Е.В. Роль солнечной активности, движения Луны и геомагнитных вариаций в дорожных авариях

В сборнике *А.Л Чижевский. Вклад в науку и культуру. Материалы II Международной научно-практической конференции, посвященной сохранению творческого наследия и развитию идей А.Л. Чижевского. Калуга, 2019*, место издания *Эйдос Калуга*, тезисы, с. 91-93

Ретеюм А.Ю. Антропология движения: роль гравитации Современные проблемы биологии человека

В сборнике *ИЗВЕСТИЯ ИНСТИТУТА АНТРОПОЛОГИИ МГУ*, серия *СЕРИЯ "Современные проблемы биологии человека"*, место издания *Москва*, 2018, том 3, тезисы, с. 65-66

Ретеюм А.Ю. Большие циклы функционирования леса в биосфере В сборнике *Современные задачи и актуальные вопросы лесоведения, дендрологии, парковедения и ландшафтной архитектуры. Сборник трудов ГНБС*, место издания *Ялта*, 2018, том 147, тезисы, с. 56-56

Ретеюм А.Ю. Экзогенное происхождение солнечных циклов В сборнике *Физика плазмы в Солнечной системе*, серия *13-я ежегодная конференция 12-16 февраля 2018 г*, место издания *ИКИ РАН г.Москва*, тезисы

Ретеюм А.Ю. Расширение Земли: неоспоримые свидетельства пустыни Гоби ... (иа REGNUM) 27 октября 2019 г.

Ретеюм А.Ю. Главный солнечный максимум и развитие цивилизации (ИА "Regnum")16 октября 2019 г.

Ретеюм А.Ю. Открыта причина наступления солнечных минимумов и земных похолоданий. (ИА REGNUM) 9 октября 2019 г.

Ретеюм А.Ю. Установлена причина гибели цивилизации Наска (ИА "Regnum") 18 мая 2019 г.

Ретеюм А.Ю. Юпитер контролирует активность Солнца (ИА REGNUM) 3 января 2019 г.

Ретеюм А.Ю. О влиянии дальнего космоса на смертность и соотношение мальчиков и девочек (ИА "Regnum") 13 декабря 2018 г.

Ретеюм А.Ю. Связь Земли и Солнца через вихри эфира (ИА "Regnum") 20 августа 2018 г.

Ретеюм А.Ю. Послеледниковая эпоха голоцена закончилась. Началась новая эпоха — нооцен (ИА REGNUM) 17 августа 2018 г.

Ретеюм А.Ю. Рост Земли по данным точных наблюдений (ИА REGNUM) 8 августа 2018 г.

Ретеюм А.Ю. Влияние на жизнь сверхновых звезд (ИА "Regnum") 31 июля 2018 г

Рыков А.В. Основы теории эфира. http://scorcher.ru/art/theory/rykov/rykov.htm

Савельев А.В. Нейрокомпьютеры в изобретениях // Нейрокомпьютеры: разработка, применение. - М.: ИПРЖР, 2004, № 2-3. - С. 33-49.

Савельев А.В. Обзор изобретений в области нейрокибернетики и нейромоделирования // Радиоэлектроника. Информатика. Управление. - ЗНТУ, Украина, 2007, № 2(18). - С. 101-111

Савельев А.В. Нейрологические аспекты клеточной нейроматематики // Искусственный интеллект. - НАН Украины, Донецк, 2008, № 4, с. 612-623.

Савельев А.В. Нейросети с полевыми вычислениями. Бионейрокибернетические аспекты // в сб.: Нейроинформатика-2009. - М.: МИФИ, 2009, Ч. I. - С. 112-124.

Савельев А.В. От нейромоделирования проведения спайка к новой концепции субстрата долговременной нейронной памяти. Уфимский государственный авиационный технический университет. Башкирский государственный медицинский университет. http://dspace.nbuv.gov.ua/bitstream/handle/123456789/8103/59-Savelev.pdf?sequence=1

Савельев А.В. Моделирование диффузно-синергетических аспектов объемного нейротрансмиттинга: нейрокибернетика в нейробиологии. См.: Материалы XV Международной конференции по нейрокибернетике 23 – 25 сентября 2009 года. Ростов на Дону.

Соколовская И.Э. Социальная психология религиозной идентичности современной российской молодежи. Автореферат… доктора психологических наук. – М.: 2015, с. 12 – 13.

Смирнов А.Н. Структура воды Новые экспериментальные данные. / Наука и технологии в промышленности, - 2010, -No 4, -p.41-45

Сушко Е.П. Биоритмы и клинические проявления инфекционных заболеваний у детей. Мн.: Беларусь, 1982.

Сухарев В. Миром правят законы космических резонансов. – М.: 2012.

Тирей М. Дыхание Вселенной. – М.: 2014. – 288 с.

Тихоплавов В., Тихоплавова Т. Солнечный ветер. – СПб.: "Крылов", 2008. — 256 с.) http://profilib.com/chtenie/56037/vitaliy-tikhoplav-solnechnyy-veter-24.php

Торсионные поля и информационные взаимодействия – 2009. - 221 с.

Уилкок Дэвид. Наука Единства. http://www.redov.ru/istorija/nauka_edinstva/index.php

Устюгина Г.П. Торнадо в стакане. Средняя школа Москвы № 1273 http://fiz.1september.ru/2003/30/no30_1.htm

Ушаков И.Б. Цетлин В.В., Мойса С.С. Прогноз радиационной ситуации в дальнем космосе: реакция воды и живых систем при хроническом воздействии ионизирующего излучения в малых дозах. Авиакосмическая и экологическая медицина. 2013. Т.47.с.61-68

Хабарова О.В. Биоэффективные частоты и их связь с собственными частотами живых организмов. Биомедицинские технологии и радиоэлектроника. 2002, №5, с. 56-66.

Халилов Э.Н., 2010 г. *http://i29.tinypic.com/71oa6q.png*

Халилов Э.Н. http://wattsupwiththat.files.wordpress.com/2009/05/uah_april_2009.png

Холманский А.С. Адаптация растений к аномальным физическим факторам. http://www.smolensk.ru/user/sgma/MMORPH/N-23-html/holmanskiy/ holmanskiy.htm.

Холманский А.С. Зависимость ресурса функциональной асимметрии мозга от внешних условий //http://www.j-asymmetry.com/Kholmansky_1_09.htm.

Холманский А.С. Биогенность нейтрино // Сознание и физическая реальность. 2004. № 4. С. 35 – 43.

Холманский А.С. Галактический фактор духовной эволюции // http://www.j-asymmetry.com/Kholmansky_1_09_2.htm.

Холманский А.С. Ядерно-химический катализ // http://www.sciteclibrary.ru/rus/catalog/pages/6303.html.

Холманский А.С. Теофизика нейтрино // Квантовая магия, – 2007. – Т.4. –В.2. http://quantmagic.narod.ru/volumes/VOL422007/p2148.html.

Холманский А.С. Дихотомия правого и левого в живых системах // Асимметрия, – 2008. Т. 2, № 3, с. 60-67. www.j-asymmetry.com/Asymmetry_03_2008.pdf .

Холманский А.С. Метрика приземного эфира // http://www.sciteclibrary.ru/rus/catalog/pages/7876.html.

Холманский А.С. Модель одухотворенного мироздания // www.sciteclibrary.ru/rus/catalog/pages/8084.html;

Холманский А.С. Духовно-физический изоморфизм // www.sciteclibrary.ru/rus/catalog/pages/9069.html.

Холманский А.С. Оптическая активность сахара и космофизика // http://www.kubstu.ru/fh/fams/vipusk3.htm.

Холманский А.С. Особенности термодинамических свойств воды и биоэнергетика // Доклады РАСХН, – 2006. №2, с. 63. http://www.sciteclibrary.ru/rus/catalog/pages/7897.html

Холманский А.С. Зависимость от температуры оптической активности физиологических растворов сахаров // Математическая морфология, – 2006. http://www.smolensk.ru/user/sgma/MMORPH/N-12-html/holmansky/holmansky.htm.

Холманский А.С. Ресурс функциональной асимметрии мозга // Математическая морфология. – 2006. http://www.smolensk.ru/user/sgma/MMORPH/ N-12-html/holmansky-4/holmansky-4.htm.

Холманский А.С. Моделирование физики мозга // Там же. 2006, - Т.5, - В.4. http://sgma.alpha-design.ru/MMORPH/N-12-html/holmansky-3/holmansky-3.htm.

Холманский А.С. Самоиндукция эфира http://filosof.net/disput/holmansky/efir.htm.

Холманский А.С. Фрактально-резонансный принцип действия // http://ikar.udm.ru/mis-rt.htm.

Холманский А.С. Энергоформа // http://www.sciteclibrary.ru/rus/catalog/pages/7441.html.

Холманский А.С. Хиральность и квантовые эффекты как факторы морфогенеза.

Холманский А.С. Электромагнитная природа релятивистских эффектов //http://sgma.alpha-design.ru/MMORPH/N-19-html/kholmanskiy-2/khomanskiy-2l.htm;

Холманский А.С., Минахин А.А. Морфологические и физические факторы асимметрии вегетативной нервной системы человека // Всероссийская конференция «Современные направления в исследовании функциональной межполушарной асимметрии и пластичности мозга». – М., – 2010, – с.270-274.

Холманский А.С., Стребков Д.С. Энергетика ноосферы // Доклады РАСХН. – 2004. № 1, с.58-60.

Шарма Р. «Прорывные экономики. В поисках экономического чуда»: https://www.labirint.ru/reviews/goods/390215/

Шаубергер В. Энергия воды. - М.: Эксмо, Яуза, 2007, С. 286-287.

Широносов В.Г., Каратаева С.Ю. выявили, что возможна даже активация воды живыми организмами. http://www.ikar.udm.ru/sb/sb33-3.htm

Шипов Г.И. Психофизические феномены и теория физического вакуума // Сб. матер. научно-практ. конфер. «Сознание и физический мир». Москва, ноябрь 1996. М.: 1996. С. 69-75.

Шипов Г.И. Теория физического вакуума. М.: НТ-Центр, 1993. 352 с.

Шипов Г.И. Программа Всеобщей относительности и Теория Физического Вакуума. 25 лет спустя. http://trinitas.ru/rus/doc/0231/003a/02311030.htm

Шноль С.Э. Космофизические факторы в случайных процессах. – Stockholm (Швеция): Svenska fysikarkivat, 2009. – 388 с.

Шноль С Э Вопросы медицинской химии 4 (6) (1958)

Шноль С Э, в кн. Молекулярная биофизика (Ред. Г М Франк) (М.: Наука, 1965) с. 56

Шноль С Э, в кн. Колебательные процессы в биологических и химических системах (Ред. Г М Франк) (М.: Наука, 1967) с. 20

Шноль С Э, в кн. Итоги науки и техники. Молекулярная биология Т. 5 (Ред. В П Скулачев) (М.: ВИНИТИ, 1985) с. 130

Удальцова И В, Коломбет В А, Шноль С Э Возможная космофизическая обусловленность макроскопических флуктуаций в процессах разной природы (Пущине: ОНТИ НЦБИ, 1987) с. 96

Шноль С Э и др. Биофизика 34 (4) 711 (1989)

Шноль С.Э. и др. Биофизика 1 (3) 467 (1992)

Шноль С Э, Коломбет В А Физическая мысль России 1 87 (1995)

Шноль С Э Биофизика 40 (4) 865 (1995)

Шноль С Э и др. Российский химический журнал 41 (3) 30 (1997)

Цетлин В.В., Левинских М.А., Нефедова Е.Л., Дерендеева Т.А., Федотова И.В. Влияние малых доз ионизирующего излучения на водный субстрат и развитие семян высших растений //Авиакосм. и экол. мед. 2008. №3. С.18- 22. 5

Цетлин В.В. Исследование реакции воды на вариации космофизических и геофизических факторов окружающего пространства // Авиакосм. и экол. медицина. 2010. № 6. С. 26-31.

Цитович В.Н. Плазменно-пылевые кристаллы, капли и облака // УФН. 1997. Т. 167, No 1. С. 57-99.

Физико-химические и петрофизические исследования в науках о Земле. Девятнадцатая международная конференция. Москва, 24-26, Борок, 28 сентября 2018 г. Материалы конференции. М.: ИГЕМ РАН, 2018. 372
https://4science.ru/events/bioassay2016/theses/a3266e76dba84948ac650429ab54551f

Фокина А.И. Морфология шишковидной железы человека в позднем постнатальном онтогенезе, при болезни Альцгеймера и шизофрении. – М.: 2008.

Черешнев В.А., Степанова С.И., Гамбурцев А.Г. Переменная полиритмичность процессов в природе и обществе в журнале *Вестник Российской академии наук (ранее: Вестник Академии наук СССР)*, 2017, издательство *Наука: МАИК "Наука/Интерпериодика" (М.)*, том 87, № 3, с. 221-230 DOI

Черешнев В.А., Степанова С.И., Гамбурцев А.Г. Синхронизация, десинхронизация и ресинхронизация как механизмы формирования переменной полиритмичности в биологических и геофизических системах, 2017, в журнале *Доклады Академии наук*, издательство *Наука (М.)*, том 472, № 3, с. 337-340 DOI

Черешнев В.А., Гамбурцев А.Г. Экология, мониторинг и здоровье людей, 2017, в журнале *Вестник Российской академии наук (ранее: Вестник Академии наук СССР)*, издательство *Наука: МАИК "Наука/Интерпериодика" (М.)*, том 87, № 2, с. 121-129 DOI

Черешнев В.А., Гамбурцев А.Г., Сигачёв А.В., Верхотурова Л.Ф., Горбаренко Е.В., Гамбурцева Н.Г. ВНЕШНИЕ ВОЗДЕЙСТВИЯ –

СТРЕССЫ – ЗАБОЛЕВАЕМОСТЬ, 2016, место издания *Наука Москва*, ISBN 978-5-9905814-4-9,

Черняев А.Ф. Пульсация Земли, изменение веса тел и гравитационной «постоянной». М.: 2007, 101 с.

Черноглазова Т., Дегтярев И. (Алматы, Республика Казахстан) Временные закономерности изменения электрических и магнитных свойств материалов и их связь с сейсмичностью Земли. International Journal, N 6, April 30, 2007

Черняев А.Ф. Система древнерусских саженей. Принцип золотого сечения. Минск, 2006.

Черняев А.Ф. Что творится с погодой?

Черняев А.Ф. Диалектика пространства.

Черняев А.Ф. Русская механика. Т.1-2.

Черняев А.Ф. Камни падают в небо.

Черняев А.Ф. Золото древней Руси. Русская матрица – основа золотых пропорций.

Черняев А.Ф. Тайны пирамиды Хефрена.

Черняев А.Ф. Неньютоновская механика.

Черняев А.Ф. Авиакатастрофы.

Черняев А.Ф. Основы русской геометрии. Золотые размерности физики. Золотые размерности естествознания и многие другие работы.

Черняев А.Ф. Сборник статей: Гравитационная линза Солнечной системы. Гравитация и антигравитация. Казуальность волн Де Бройля и принцип неопределенности Гейзенберга. Немного о пирамидах Гизе. Ст.1-5. Новое в изучении Тунгусского феномена. Парадигма русской механики. Пульсация земли, изменения веса тел и гравитационной “постоянной”.

Чижевский А.Л. Космический пульс жизни: Земля в объятиях Солнца. Гелиотараксия. – М.: Мысль, 1995. – 760 с.

Aptikaeva O.I., Gamburtsev A.G., Stepanova S.I. Variations of Biorhythm Composition in Healthy People, в журнале *Izvestiya - Atmospheric and Oceanic Physics*, издательство *Pleiades Publishing, Ltd (Road Town, United Kingdom)*, том 46, № 7, с. 872-878

Bellhouse B.J. Механика жидкости модели митрального клапана и левого желудочка, Ж. сердечно-сосудистых исследований 6, 1972, 199-210.

Chun Geng, Paul J Paukstelis DNA crystals as vehicles for biocatalysis. Published in Journal of the American Chemical Society 2014 DOI:10.1021/ja502356m

Frolov Yu. P. The non-contact effect of substances containing benzene rings and heterocycles on biological systems. Biophysics, 2001, vol. 46; 5: 946-950

Kheradvar A., Милан, М., Гариб, М. Корреляция между вихреобразования кольца и кольца митрального динамика во время желудочковой быстрое заполнение, ASAIO Journal, январь-февраль 2007 53 (1): 8-16.

Kheradvar A., Гариб, М. Влияние желудочка давлением падение на митрального кольца динамика в процессе вихреобразования кольцо, Энн Biomed Eng. 2007 декабрь;. 35 (12) :2050-64

Lewin Roger, "A Downward Slope to Greater Diversity", Science, Cilt 217, 24 Eylul 1982, s. 1239.

Rifkin Jeremy, Entropy: A New World View, New York: Viking Press, 1980, s. 6, 55.

Rush J. H., The Dawn of Life, New York: Signet, 1962, s. 35.

Svensmark, H. Evidence of nearby supernovae affecting life on Earth. Monthly Notices of the Royal Astronomical Society, Vol. 423, Issue 2, 24 APR 2012.

Stavropoulos George P, "The Frontiers and Limits of Science", American Scientist, Cilt 65, 1977, s. 674.

Zubow K., Zubow A.V., Zubow V.A Water Clusters Ensemble as a Interface to Structure of the Epicenter and the Earthquake Mechanism on the Jawa Island (8° 73´ s. 112º 36´ e.). J. of Phys. Chem.: An Indian Journal, 2012, vol. 7,no. 3, 87-95.

Интернет- ресурсы

http://www.bionet.nsc.ru/ICIG/session/1999/rus/part1/1_2.pdf

https://upload.wikimedia.org/wikipedia/commons/2/2c/Vortex-street-1.jpg

http://dic.academic.ru/dic.nsf/bse/74872

http://alternativenergy.ru/forum/showtopic/321-teoriya-efira-dinamicheskogo

http://poselenie.ucoz.ru/publ/geopatogennye_anomalnye_zony_poisk_jivaya_zemlya/3-1-0-444

http://v-kosmose.com/interaktivnaya-2d-i-3d-model-solnechnoy-sistemyi/
http://space.utema.ru/sss/
http://www.astronom2000.info/different/z/
http://www.grandars.ru/shkola/estestvoznanie/dvizheniya-zemli.html
http://www.tesis.lebedev.ru/forecast_activity.html
Index of /Planets/Tetra/Hyperdimhttp://docs.gorlovka.net/Planets/Tetra/Hyperdim/
http://krasview.ru/video/575592-Strukturno-vihrevaya_priroda_mikromira_%28vakuuma%29
https://4science.ru/events/bioassay2016/theses/a3266e76dba84948ac650429ab54551f © 4science
http://www.masaru-emoto.net/english/index.html
https://allatra-science.org/publication/chemistry-provodimost
https://finview.ru/2016/08/10/zerohedge-com-2-67/
https://finview.ru/2016/08/10/zerohedge-com-2-67/
https://irows.ucr.edu/research/biotech/isa04biotech.htm
https://www.reuters.com/article/us-imf-crisis/imf-gave-richer-countries-wrong-austerity-advice-after-crisis-watchdog-idUSKBN0IO1NO20141104?feedType=RSSfeedName=GCA-Economy2010
https://www.researchgate.net/publication/258350044_Global_incidence_and_outcome_of_testicular_cancer
https://academic.oup.com/jjco/article/38/8/578/897919
http://bobtisdale.blogspot.com/2009/08/enso-is-major-component-of-sea-level.html
http://doc20vek.ru/node/1393
https://ruspekh.ru/events/item/vspyshka-sverkhnovoj-zvezdy-sn-1987a-dostigla-zemli
http://crydee.sai.msu.ru/ak4/Chapt_4_75.htm
http://www.ru.geochange-report.org/index.php?optio...
http://2012over.ru/prognoz-geochange-o-priblizhenii-globalnojj-katastrofi.html
http://i29.tinypic.com/71oa6q.png
https://rg.ru/2016/06/06/doktor-biologicheskih-nauk-rasskazal-o-vozmozhnostiah-chelovecheskogo-mozga.html
http://j-asymmetry.com/2011/12/holmansky_1_2009_1/

https://www.measuringworth.com/slavery.php
https://micro.magnet.fsu.edu/dna/pages/magneticfield4.html
https://koltovoi.nethouse.ru
http://www.prometeus.nsc.ru/partner/zarubin/torfield.ssi
http://www.sciteclibrary.ru/rus/catalog/pages/7897.html
www.pnas.org/cgi/doi/10.1073/pnas.1207346109
http://www.311.ru/hor/model_solar_system.php?sol_system=3#3
(Гамбурцев А.Г. и др.)
https://www.iers.org/IERS/EN/Science/EarthRotation/UT1LOD.html
https://bash-m-ak.livejournal.com/52155.html
https://thequestion.ru/questions/229844/skolko-v-sovremennom-mire-zhivut-lyudi-s-vich-kotorye-bystro-ego-obnaruzhili-polzuyutsya-sovremennoi-medicinoi-i-sleduyut-vsem-rekomendaciyam-ot-chego-umirayut
http://www.biophys.ru/archive/congress2015.pdf#page=164
https://www.iers.org/IERS/EN/Science/EarthRotation/UT1LOD.html

Приложения

Приложение 1. Частота и амплитуда ЭЭГ, ЭКГ по примененной методике в точках их съема при выполнении различных заданий в дни максимального замедления, ускорения скорости вращения Земли, в промежуточные дни между ними и средние значения основных примененных маркеров космических энергий в это время

Дни максимального замедления скорости вращения Земли выбраны путем соединения дней типа 5/5 по LOD и типа 5/5 по Pole_X+Y

Дни максимальной скорости вращения Земли выбраны путем соединения дней типа 1/1 по LOD и типа 1/1 по Pole_X+Y

Маркерами космических энергий являются:

X+Y - сумма значений координат расположения географического северного полюса

10 (XY) + ЧВ/50 – сумма десятикратно увеличенное значение координат расположения географического северного полюса (X+Y) и числа Вольфа, деленого на 50. Это эмпирически подобранный маркер соотношения грависпиновых и электромагнитных космических энергий. Он прогностичен на развитие стран, людей для которых благоприятно сочетание высоких электромагнитных и грависпиновых космических энергий, косвенно оцениваемых по движению координат Северного полюса.

10 (XY) - ЧВ/50 - сумма десятикратно увеличенное значение координат расположения географического северного полюса (X+Y) и числа Вольфа, деленого на 50. Это эмпирически подобранный маркер соотношения грависпиновых и электромагнитных космических энергий. Он прогностичен на развитие стран, людей для которых благоприятно сочетание низких электромагнитных и высоких грависпиновых космических энергий, косвенно оцениваемых по движению координат Северного полюса.

LOD – отклонение длительности земных суток от средних значений за десятилетия с момента начала их точного измерения (1963 г.).

LOD+ЧВ/50 – сумма длительности земных суток и числа Вольфа, деленого на 50. Это эмпирически подобранный маркер соотношения грависпиновых и электромагнитных космических энергий. Он прогностичен на развитие стран, людей для которых благоприятно сочетание высоких электромагнитных и грависпиновых космических энергий, косвенно оцениваемых по скорости вращения Земли.

LOD-ЧВ/50 – разница между длительностью земных суток и числа Вольфа, деленого на 50. Это эмпирически подобранный маркер соотношения грависпиновых и электромагнитных космических энергий. Он прогностичен на развитие стран, людей для которых благоприятно сочетание низких электромагнитных и высоких грависпиновых космических энергий, косвенно оцениваемых по скорости вращения Земли

		Дни максимального замедления скорости вращения Земли	**Промежуточные Дни**	**Дни пик скорости вращения Земли в данном дневном цикле**	
Название этапа обследования	**Точки съема ЭЭГ**	**LOD+Pole= 5/5**	**Дни, с исключением 1 и 5 LOD и PoleX+Y Без 1 и 5 LOD и PoleX+Y**	**LOD+Pole = 1/1**	**Процент изменения**
ИСХ закр глаза	**O2**	**10,63**	**11,76**	**12,14**	**-14,23**
ЧАСТОТА	**O1**	**10,98**	**12,10**	**11,27**	**-2,65**
	P4	**10,47**	**11,16**	**10,44**	**0,30**
	P3	**10,96**	**11,50**	**10,28**	**6,24**
	C4	**10,87**	**11,59**	**10,82**	**0,43**
	C3	**11,43**	**11,95**	**10,54**	**7,82**

	F4	9,20	9,69	7,76	15,59
	F3	9,21	9,91	7,37	20,00
	ЭКГ	4,36	5,12	6,03	-38,42
ЛОГИКА	O2	19,95	21,87	18,38	7,89
	O1	18,81	20,37	16,86	10,41
	P4	16,20	17,81	15,20	6,18
	P3	16,00	16,76	14,88	6,98
	C4	13,73	14,80	13,21	3,77
	C3	12,56	13,14	12,23	2,70
	F4	10,84	11,36	7,95	26,68
	F3	10,39	10,69	8,53	17,94
	ЭКГ	8,80	9,98	9,04	-2,77
РИСУНОК	O2	15,77	17,92	15,83	-0,35
	O1	14,53	16,84	13,84	4,77
	P4	13,35	15,16	13,34	0,10
	P3	12,53	14,30	12,13	3,25
	C4	11,54	12,79	11,85	-2,67
	C3	9,85	11,44	10,26	-4,12
	F4	8,69	9,58	8,16	6,08
	F3	7,25	8,36	7,94	-9,43
	ЭКГ	8,08	8,95	8,01	0,88
ФОТО	O2	14,80	16,69	14,76	0,30
	O1	13,82	15,93	14,03	-1,55
	P4	12,18	13,70	12,35	-1,35
	P3	11,86	13,21	12,03	-1,42
	C4	10,68	11,92	10,83	-1,40
	C3	9,90	11,12	10,36	-4,64
	F4	7,91	8,70	7,33	7,31
	F3	7,02	7,57	7,09	-0,97
	ЭКГ	7,46	8,30	7,67	-2,76
СОБЫТИЕ	O2	13,81	15,60	13,80	0,06
	O1	13,65	15,37	13,84	-1,35
	P4	11,91	13,32	12,00	-0,77
	P3	12,31	13,20	11,99	2,57
	C4	9,85	10,92	9,90	-0,47
	C3	9,36	10,31	9,86	-5,31
	F4	7,85	8,37	8,05	-2,54
	F3	6,89	7,63	8,05	-16,77
	ЭКГ	7,92	8,65	8,62	-8,78
ОТДЫХ	O2	13,26	13,40	13,42	-1,20

	O1	13,80	13,77	13,31	3,58
	P4	11,81	12,07	11,81	0,05
	P3	12,57	12,67	11,98	4,70
	C4	12,08	12,32	12,53	-3,73
	C3	12,50	12,81	12,06	3,53
	F4	10,71	11,18	10,29	3,85
	F3	10,84	11,27	10,13	6,56
	ЭКГ	4,51	4,99	4,94	-9,65
Закрытые Глаза 1	O2	16,44	12,34	16,26	1,06
АМПЛИТУДА	O1	15,71	12,25	16,33	-3,97
	P4	14,29	12,03	14,37	-0,52
	P3	13,27	11,89	14,17	-6,79
	C4	13,82	11,61	14,35	-3,80
	C3	13,85	11,67	14,63	-5,61
	F4	21,34	15,66	21,29	0,23
	F3	26,05	15,51	22,13	15,03
	ЭКГ	29,94	26,94	24,25	18,99
ЛОГИКА	O2	9,81	6,81	11,38	-15,99
	O1	9,27	7,38	9,48	-2,26
	P4	10,09	8,00	12,69	-25,75
	P3	10,10	8,65	10,25	-1,48
	C4	12,43	9,48	12,58	-1,20
	C3	13,29	10,91	13,00	2,17
	F4	17,41	14,37	22,30	-28,13
	F3	16,99	14,99	18,21	-7,21
	ЭЭГ	17,52	14,81	16,63	5,09
РИСУНОК	O2	9,74	7,78	10,18	-4,53
	O1	10,55	8,43	10,52	0,30
	P4	11,04	9,13	11,86	-7,42
	P3	12,13	9,88	11,81	2,64
	C4	12,14	10,82	12,75	-5,04
	C3	14,94	12,30	14,17	5,17
	F4	18,07	15,18	18,42	-1,91
	F3	20,51	17,36	18,93	7,72
	ЭЭГ	18,56	16,09	17,35	6,54
ФОТО	O2	10,13	8,51	11,54	-13,85
	O1	10,21	8,82	10,18	0,37
	P4	11,86	10,26	13,16	-10,89
	P3	11,79	10,54	11,98	-1,61

	C4	13,09	11,81	14,27	-9,02
	C3	14,00	12,62	14,02	-0,09
	F4	17,39	16,63	19,59	-12,69
	F3	19,54	18,79	21,03	-7,67
	ЭЭГ	19,49	17,19	19,06	2,21
СОБЫТИЕ	O2	11,23	9,38	10,87	3,21
	O1	11,12	9,41	10,15	8,72
	P4	12,46	10,63	12,32	1,13
	P3	11,91	10,81	11,91	0,04
	C4	14,49	12,87	14,35	0,99
	C3	14,76	13,51	14,60	1,09
	F4	18,54	17,36	18,90	-1,91
	F3	20,38	18,72	20,96	-2,85
	ЭЭГ	18,78	16,69	17,37	7,51
ОТДЫХ	O2	11,35	10,60	12,58	-10,90
	O1	10,87	10,28	12,65	-16,36
	P4	11,76	11,15	13,00	-10,56
	P3	11,19	10,71	12,17	-8,80
	C4	11,28	11,08	11,43	-1,31
	C3	11,52	10,80	11,89	-3,20
	F4	14,73	13,57	16,34	-10,92
	F3	14,24	13,44	16,51	-15,92
	ЭЭГ	29,81	27,78	26,38	11,48
Среднее значение координат X, Y в данные дни полюса Земли	X+У	0,36	0,48	0,58	-59,89
Маркер, объединяющий солнечную активность и движение полюса Земли	10(XY) +ЧВ/50)	3,96	5,00	5,95	-50,05
Маркер: от координат движения полюса Земли вычитается солнечная	10(XY) - ЧВ/50)	3,31	4,57	5,69	-71,66

активность					
Длинна земных суток как отклонение от средних значений в мск	**LOD**	**1,11**	**0,70**	**-0,30**	**126,65**
Длина земных суток + маркер солнечной активности (число Вольфа, деленное на 50)	**LOD+ЧВ/50**	**1,51**	**0,91**	**-0,13**	**108,40**
Длина земных суток минус маркер солнечной активности	**LOD-ЧВ/50**	**0,67**	**0,45**	**-0,39**	**157,66**
Солнечная активность (ЧВ)	**Число Вольфа**	**20,79**	**11,23**	**6,14**	**70,45**

Приложение 2. Индексы асимметрии между частотами ЭЭГ в затылочных/лобных отделах головного мозга и в левом/правом полушариях в разные годы при разных значениях использованных маркеров космических энергий (условных выборках)

	Тип условной выборки	Индекс асимметрия затылок/лоб	Индекс асимметрии левое/правое	Индекс асимметрии левое/правое
2004-2020	(Х+У) +ЧВ >6	1,23	1,03	1,03
	(Х+У) +ЧВ >5<6	1,27	1,04	1,04
	(Х+У) +ЧВ >3,5<5	1,24	1,03	1,03
	(Х+У) +ЧВ <3,5	1,17	1,02	1,02
		1,23	1,03	1,03
2004-2020	(Х+У) -ЧВ >5	1,30	1,03	1,03
	(Х+У) -ЧВ >4<5	1,21	1,03	1,03
	(Х+У) -ЧВ >3<4	1,26	1,04	1,04
	(Х+У) -ЧВ <3>0,1	1,18	1,02	1,02
		1,24	1,03	1,03
2004-2020	LOD-ЧВ/50>1 до 2	1,21	1,02	1,02
	LOD-ЧВ/50>0<1	1,21	1,03	1,03
	LOD-ЧВ/50<0> -0,5	1,25	1,04	1,04
	LOD-ЧВ/50<-0,5	1,28	1,03	1,03
		1,24	1,03	1,03
2004-2020	LOD+ЧВ/50>2 до 4	1,20	1,01	1,01
	LOD+ЧВ/50>1<2	1,20	1,03	1,03
	LOD+ЧВ/50>0<1	1,25	1,04	1,04

	LOD+ЧВ/50<0	**1,39**	**1,03**	**1,03**
		1,26	**1,03**	**1,03**
2004-2020	**Вольфа >100**	**1,26**	**1,02**	**1,02**
	Вольфа >50<100	**1,19**	**1,02**	**1,02**
	Вольфа>15<50	**1,19**	**1,03**	**1,03**
	Вольфа <15	**1,28**	**1,05**	**1,05**
	Вольфа = 0	**1,27**	**1,03**	**1,03**
		1,24	**1,03**	**1,03**
2017-2020	**LOD= 1**	**1,37**	**1,02**	**1,02**
	LOD=2,3,4	**1,32**	**1,03**	**1,03**
	LOD = 5	**1,35**	**1,04**	**1,04**
	LOD=6,7,8,9	**1,30**	**1,03**	**1,03**
		1,33	**1,03**	**1,03**
2004-2014	**LOD= 1**	**1,12**	**1,04**	**1,04**
	LOD= 3,4	**1,17**	**1,04**	**1,04**
	LOD = 5	**1,20**	**1,00**	**1,00**
	LOD = 6,7,8,9	**1,17**	**1,04**	**1,04**
		1,17	**1,03**	**1,03**
2004-2020	**LOD= 1**	**1,24**	**1,03**	**1,03**
	LOD = 2,3,4	**1,23**	**1,03**	**1,03**
	LOD = 5	**1,27**	**1,02**	**1,02**
	LOD = 6,7,8,9	**1,24**	**1,03**	**1,03**
		1,25	**1,03**	**1,03**
2017-2020	**Pole_X+Y= 1**	**1,38**	**1,02**	**1,02**
	Pole_X+Y= 2,3,4	**1,31**	**1,04**	**1,04**
	Pole_X+Y= 5	**1,30**	**1,04**	**1,04**
	Pole_X+Y= 6,7,8,9	**1,29**	**1,02**	**1,02**
		1,32	**1,03**	**1,03**
2004-2014	**Pole_X+Y= 1**	**1,20**	**1,02**	**1,02**

	Pole_X+Y= 2,3,4	**1,14**	**1,02**	**1,02**
	Pole_X+Y= 5	**1,18**	**1,02**	**1,02**
	Pole_X+Y= 6,7,8,9	**1,19**	**1,04**	**1,04**
		1,18	**1,03**	**1,03**
2017-2020	**LOD >1 до**	**1,27**	**1,02**	**1,02**
	LOD >0,5<1	**1,30**	**1,04**	**1,04**
	LOD >0 <0,5	**1,30**	**1,03**	**1,03**
	LOD <0	**1,40**	**1,03**	**1,03**
		1,32	**1,03**	**1,03**
2017-2020	**LOD >1 до**	**1,27**	**1,02**	**1,02**
	LOD >0,5<1	**1,30**	**1,04**	**1,04**
	LOD >0 <0,5	**1,30**	**1,03**	**1,03**
	LOD <0	**1,40**	**1,03**	**1,03**
	LOD <-1	**1,38**	**1,01**	**1,01**
2004-14	**LOD> 1**	**1,17**	**1,02**	**1,02**
	LOD >0,5 <1	**1,13**	**1,03**	**1,03**
	LOD> 0 <0,5	**1,22**	**1,03**	**1,03**
	LOD <0	**1,21**	**1,07**	**1,07**
		1,19	**1,04**	**1,04**
2017-2020	**тип 5/5**	**1,17**	**1,03**	**1,03**
	тип 1/1	**1,55**	**0,96**	**0,96**

Приложение 3. Индексы асимметрии между частотами ЭЭГ при полнолуниях и новолуниях

Частота ЭЭГ головного мозга при выполнении заданий точно в дни новолуний, полнолуний и в дни, отстоящие на 3 суток от них

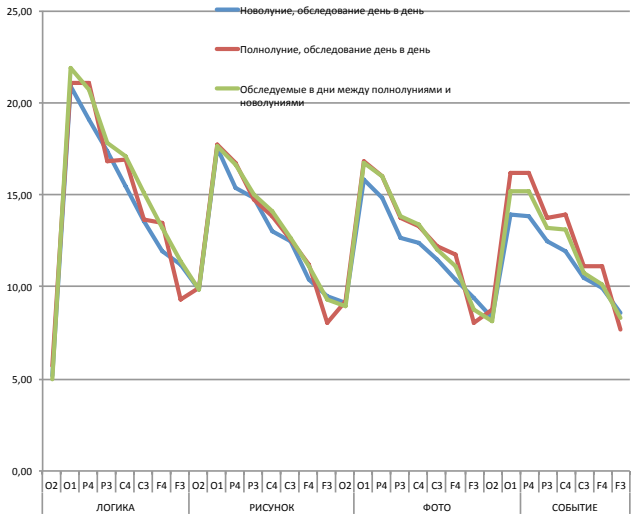

3.1 Индексы асимметрии между частотами ЭЭГ в затылочных/лобных отделах головного мозга и в левом/правом полушариях в разные годы при полнолуниях и новолуниях (простое сравнение)

Тип индекса асимметрии	Полно луние	Ново луние
1 Закрытые глаза, в начале обследования		
Асимметрия затылок/лоб	1,19	1,39
Асимметрия левое/правое	1,02	1,06
Асимметрия основных асимметрий (затылок и лоб/правое и левое)	1,21	1,35
2 логика		
Асимметрия затылок/лоб	1,89	2,51

Асимметрия левое/правое	1,03	1,17
Асимметрия основных асимметрий (затылок и лоб/правое и левое)	1,97	2,48
3 рисунок		
Асимметрия затылок/лоб	2,00	2,26
Асимметрия левое/правое	0,90	0,99
Асимметрия основных асимметрий (затылок и лоб/правое и левое)	2,36	2,53
4 фото		
Асимметрия затылок/лоб	2,04	2,27
Асимметрия левое/правое	1,10	1,08
Асимметрия основных асимметрий (затылок и лоб/правое и левое)	1,91	2,24
5 событие		
Асимметрия затылок/лоб	1,98	2,27
Асимметрия левое/правое	1,01	1,04
Асимметрия основных асимметрий (затылок и лоб/правое и левое)	2,05	2,42
5 отдых		
Асимметрия затылок/лоб	1,27	1,55
Асимметрия левое/правое	0,99	1,11
Асимметрия основных асимметрий (затылок и лоб/правое и левое)	1,34	1,47

3.2 Индексы асимметрии между частотами ЭЭГ в затылочных/лобных отделах головного мозга и в левом/правом полушариях в разные годы при полнолуниях и новолуниях, а также асимметрии асимметрий (оценка индексов асимметрий через сопоставление их между собой)

Обследование в 2017-20 годах

Тип условной выборки	Значение индекса асимметрии затылок/лоб	Значение индекса асимметрии левое/правое	Значение индекса асимметрии основных асимметрий: затылок/лоб - левое/правое
		1 Закрытые глаза в начале	
	затылок/лоб	Левое/правое	затылок/лоб - левое/правое
Полнолуние	1,19	1,02	1,21
Новолуние	**1,39**	1,06	1,35
2 логика			
	затылок/лоб	Левое/правое	затылок/лоб - левое/правое
Полнолуние	1,89	1,03	1,97
Новолуние	**2,51**	1,17	**2,48**
3 рисунок			
	затылок/лоб	Левое/правое	затылок/лоб - левое/правое
Полнолуние	2,00	0,90	2,36
Новолуние	**2,26**	0,99	**2,53**
4 фото			
	затылок/лоб	Левое/правое	затылок/лоб - левое/правое
Полнолуние	2,04	1,10	1,91
Новолуние	**2,27**	1,08	2,24
5 событие			
	затылок/лоб	Левое/правое	
Полнолуние	1,98	1,01	2,05

Новолуние	**2,27**	1,04	2,42
		6 отдых, закрытые глаза	
	затылок/лоб	Левое/правое	затылок/лоб - левое/правое
Полнолуние	1,27	0,99	1,34
Новолуние	**1,55**	1,11	1,47

3.3 Коэффициенты асимметрии при сочетании *полнолуния* с примененными маркерами космических энергий

Обследование в 2017-20 годах

1 Закрытые глаза в начале

Условия выборки	**затылок/лоб**	**Ле-вое/правое**	**затылок/лоб - левое/правое**
Полнолу-ние+LOD=5	**1,19**	**1,02**	**1,21**
Полнолуние + LOD =1	**1,39**	**1,06**	**1,35**

2 логика

	затылок/лоб	**Ле-вое/правое**	**затылок/лоб - левое/правое**
Полнолу-ние+LOD=5	**1,89**	**1,03**	**1,97**
Полнолуние + LOD= 1	**2,51**	**1,17**	**2,48**

3 рисунок

	затылок/лоб	**Ле-вое/правое**	**затылок/лоб - левое/правое**
Полнолу-ние+LOD=5	**2,00**	**0,90**	**2,36**
Полнолуние + LOD= 1	**2,26**	**0,99**	**2,53**

4 фото

	затылок/лоб	Ле-вое/правое	затылок/лоб - левое/правое
Полнолу-ние+LOD=5	2,04	1,10	1,91
Полнолуние + LOD= 1	2,27	1,08	2,24

5 событие

	затылок/лоб	Левое /правое	затылок/лоб - левое/правое
Полнолу-ние+LOD=5	1,98	1,01	2,05
Полнолуние + LOD= 1	2,27	1,04	2,42

6 отдых, закрытые глаза

	затылок/лоб	Левое /правое	затылок/лоб - левое/правое
Полнолу-ние+LOD=5	1,27	0,99	1,34
Полнолуние + LOD= 1	1,55	1,11	1,47

3.4 Коэффициенты асимметрии при сочетании *новолуния* с примененными маркерами космических энергий

Обследование в 2017-20 годах

1 Закрытые глаза в начале

Условия вы-борки	затылок/лоб	Левое / пра-вое	затылок/лоб - левое/правое
Новолуние и LOD=1	1,36	1,07	1,30
Новолуние и LOD=5	1,48	1,07	1,40

2 логика

	затылок/лоб	Левое /правое	затылок/лоб - левое/правое
Новолуние и LOD=1	**2,50**	**1,19**	**2,44**
Новолуние и LOD=5	**1,73**	**1,06**	**1,78**

3 рисунок

	затылок/лоб	Левое /правое	затылок/лоб - левое/правое
Новолуние и LOD=1	**2,25**	**1,00**	**2,51**
Новолуние и LOD=5	**1,62**	**1,58**	**1,62**

4 фото

	затылок/лоб	Левое /правое	затылок/лоб - левое/правое
Новолуние и LOD=1	**2,25**	**1,07**	**2,25**
Новолуние и LOD=5	**1,64**	**1,01**	**1,70**

5 событие

	затылок/лоб	Левое /правое	затылок/лоб - левое/правое
Новолуние и LOD=1	**2,23**	**1,05**	**2,36**
Новолуние и LOD=5	**1,77**	**1,11**	**1,85**

6 отдых, закрытые глаза

	затылок/ лоб	Левое /правое	затылок/лоб - левое/правое
Новолуние и LOD=1	**1,56**	**1,12**	**1,48**
Новолуние и LOD=5	**1,40**	**0,94**	**1,53**

Приложение 4. Частоты ЭЭГ у обследованных (закрытые глаза) в дни с разным значением примененных маркеров космических энергий в день обследования

4.1 Данные по средним частотам ЭЭГ в период нахождения испытуемых с закрытыми глазами в течение 15 минут перед комплексным обследованием и маркеры космических энергий за 2004-2020 годы в день обследования

2004-2020 годы

Средние данные за 2004-2020 годы 1800 человек

O2	12,39942448
O1	12,69141137
P4	11,91253331
P3	12,24097026
C4	11,69390461
C3	11,99518494
F4	10,65031112
F3	10,76652594
ЭКГ	4,876857705
Сумма координат Pole_X+У =	0,450131869
Десятикратное значение Pole_X+Y плюс Число Вольфа/50 10(XY)+ЧВ/50) =	5,086268694
Десятикратное значение Pole_X+Y минус число Вольфа/50 Pole_X+Y 10(XY)-ЧВ/50) =	3,916368694
LOD =	0,625985491
LOD+ЧВ/50 =	1,222105222
LOD-ЧВ/50 =	0,017583
ЧВ/50 =	0,602261111
Число Вольфа =	29,77888889
Частота ЭЭГ в левом полушарии	11,92352313
Частота ЭЭГ в правом полушарии	11,66404338
Асимметрия частота ЭЭГ левое/правое полушария	1,02994235

Средняя частота ЭГГ в затылке (O2+O1) /2	12,54541793
Средняя частота ЭЭГ в лобных отделах (F3+F4) /2	10,70841853
Асимметрия частота ЭЭГ в затылочных/лобных отделах	1,23805404
Соотношение асимметрии лобно-затылочной к право-левополушарной	1,232045911
Соотношение частот в точках O2/F3	1,15
Соотношение частот в точках O1/F4	1,19

4.2. Данные по средним частотам ЭЭГ в период нахождения испытуемых с закрытыми глазами в течение 15 минут и маркеры космических энергий за 2004-2020 годы в день обследования разбиты на условные группы по величине суммы координат Pole_X+Y движения оси Земли и чисел Вольфа, деленное на 50

	2004-2020 гг.			
Условная группа	(Х+У) +ЧВ >6	(Х+У) +ЧВ >5<6	(Х+У) +ЧВ >3,5<5	(Х+У) +ЧВ <3,5
O2	12,08	11,99	12,88	12,72
O1	12,21	12,38	13,16	13,14
P4	11,48	11,76	12,38	11,96
P3	11,69	12,11	12,79	12,26
C4	11,31	11,56	12,01	11,95
C3	11,47	11,99	12,44	11,97
F4	10,34	10,12	11,01	11,47
F3	10,5	10,32	11,1	11,4
ЭКГ	4,8	5,03	4,85	4,78
Сумма координат Pole_X+У =	0,56	0,5	0,4	0,26
Десятикратное значение Pole_X+Y плюс Число Вольфа/50 10(XY)+ЧВ/50) =	6,79	5,53	4,33	2,79
Десятикратное значение Pole_X+Y минус число Вольфа/50 Pole_X+Y	4,35	4,54	3,7	2,37

10(XY)-ЧВ/50) =				
LOD =	**0,43**	**0,38**	**0,76**	**1,12**
LOD+ЧВ/50 =	**1,65**	**0,89**	**1,12**	**1,32**
LOD-ЧВ/50 =	**-0,8**	**-0,12**	**0,42**	**0,9**
ЧВ/50 =	**1,22**	**0,51**	**0,35**	**0,21**
Число Вольфа =	**60,68**	**25,14**	**17,41**	**10,07**
Частота ЭЭГ в левом полушарии	**11,47**	**11,7**	**12,38**	**12,19**
Частота ЭЭГ в правом полушарии	**11,3**	**11,36**	**12,07**	**12,02**
Асимметрия частота ЭЭГ левое/правое полушария	**1,03**	**1,04**	**1,03**	**1,02**
Средняя частота ЭГГ в затылке (O2+O1) /2	**12,14**	**12,19**	**13,02**	**12,93**
Средняя частота ЭЭГ в лобных отделах (F3+F4) /2	**10,42**	**10,22**	**11,06**	**11,43**
Асимметрия частота ЭЭГ в затылочных/лобных отделах	**1,23**	**1,27**	**1,24**	**1,17**
Соотношение асимметрии лобно-затылочной к право-левополушарной	**1,23**	**1,27**	**1,23**	**1,16**
Соотношение частот в точках O2/F3	**1,15**	**1,16**	**1,16**	**1,12**
Соотношение частот в точках O1/F4	**1,18**	**1,22**	**1,2**	**1,15**

4.3. Частоты ЭЭГ у обследованных (закрытые глаза) в дни с разным значением такого маркера космических энергия как сумма координат Pole_X+Y движения оси Земли минус число Вольфа, деленное на 50, в 2004-2020 годах

	2004 – 2020 гг.			
Условная группа	**(Х+У) - ЧВ >5**	**(Х+У) -ЧВ >4<5**	**(Х+У) -ЧВ >3<4**	**(Х+У) -ЧВ <3>0,1**
O2	**11,90**	**12,53**	**12,54**	**12,62**
O1	**12,11**	**12,91**	**12,82**	**12,93**
P4	**11,25**	**12,21**	**12,21**	**11,99**
P3	**11,55**	**12,55**	**12,66**	**12,21**
C4	**11,63**	**11,81**	**11,68**	**11,66**
C3	**11,96**	**12,13**	**12,14**	**11,76**
F4	**9,80**	**10,98**	**10,66**	**11,18**
F3	**9,90**	**11,16**	**10,78**	**11,25**
ЭКГ	**5,16**	**4,84**	**4,76**	**4,76**
Сумма координат Pole_X+У =	**0,58**	**0,48**	**0,43**	**0,32**
Десятикратное значение Pole_X+Y плюс Число Вольфа/50 10(XY)+ЧВ/50) =	**6,01**	**5,10**	**5,05**	**4,22**
Десятикратное значение Pole_X+Y минус число Вольфа/50 Pole_X+Y 10(XY)-ЧВ/50) =	**5,68**	**4,44**	**3,56**	**2,11**
LOD =	**-0,04**	**0,67**	**0,59**	**1,16**
LOD+ЧВ/50 =	**0,22**	**1,04**	**1,37**	**2,21**
LOD-ЧВ/50 =	**-0,15**	**0,33**	**-0,17**	**0,10**
ЧВ/50 =	**0,19**	**0,35**	**0,77**	**1,05**
Число Вольфа =	**8,40**	**17,47**	**38,33**	**52,62**
Частота ЭЭГ в левом полушарии	**11,38**	**12,19**	**12,10**	**12,04**
Частота ЭЭГ в правом полушарии	**11,14**	**11,88**	**11,78**	**11,86**
Асимметрия частота	**1,03**	**1,03**	**1,04**	**1,02**

ЭЭГ левое/правое полушария				
Средняя частота ЭГГ в затылке (O2+O1) /2	**12,01**	**12,72**	**12,68**	**12,77**
Средняя частота ЭЭГ в лобных отделах (F3+F4) /2	**9,85**	**11,07**	**10,72**	**11,21**
Асимметрия частота ЭЭГ в затылочных/лобных отделах	**1,30**	**1,21**	**1,26**	**1,18**
Соотношение асимметрии лобно-затылочной к право-левополушарной	**1,31**	**1,20**	**1,25**	**1,17**
Соотношение частот в точках O2/F3	**1,20**	**1,12**	**1,16**	**1,12**
Соотношение частот в точках O1/F4	**1,24**	**1,18**	**1,20**	**1,16**

4.4. Частоты ЭЭГ у обследованных (закрытые глаза) в дни с разным значением такого маркера космических энергия как LOD *минус* число Вольфа, деленное на 50, в 2004-2020 годах

	2004 – 2020 гг.			
Условная группа	**LOD-ЧВ/50>1 до 2**	**LOD-ЧВ/50>0<1**	**LOD-ЧВ/50<0> -0,5**	**LOD-ЧВ/50<-0,5**
O2	**12,37**	**12,38**	**12,27**	**12,52**
O1	**12,58**	**12,79**	**12,69**	**12,62**
P4	**11,64**	**12,04**	**11,96**	**11,86**
P3	**11,98**	**12,41**	**12,46**	**12,01**
C4	**11,67**	**11,91**	**11,80**	**11,34**
C3	**11,84**	**12,19**	**12,20**	**11,68**
F4	**10,81**	**10,94**	**10,56**	**10,22**
F3	**10,76**	**11,09**	**10,76**	**10,33**
ЭКГ	**4,82**	**4,85**	**4,99**	**4,88**
Сумма координат Pole_X+У =	**0,36**	**0,43**	**0,49**	**0,51**

Десятикратное значение Pole_X+Y плюс Число Вольфа/50 10(XY)+ЧВ/50) =	**3,78**	**4,57**	**5,37**	**6,33**
Десятикратное значение Pole_X+Y минус число Вольфа/50 Pole_X+Y 10(XY)-ЧВ/50) =	**3,50**	**3,97**	**4,35**	**3,80**
LOD =	**1,43**	**0,80**	**0,34**	**0,17**
LOD+ЧВ/50 =	**1,56**	**1,09**	**0,85**	**1,46**
LOD-ЧВ/50 =	**1,28**	**0,47**	**-0,23**	**-1,14**
ЧВ/50 =	**0,14**	**0,31**	**0,54**	**1,30**
Число Вольфа =	**6,51**	**15,10**	**26,68**	**64,63**
Частота ЭЭГ в левом полушарии	**11,79**	**12,12**	**12,03**	**11,66**
Частота ЭЭГ в правом полушарии	**11,62**	**11,82**	**11,65**	**11,48**
Асимметрия частота ЭЭГ левое/правое полушария	**1,02**	**1,03**	**1,04**	**1,03**
Средняя частота ЭГГ в затылке (O2+O1) /2	**12,48**	**12,59**	**12,48**	**12,57**
Средняя частота ЭЭГ в лобных отделах (F3+F4) /2	**10,79**	**11,02**	**10,66**	**10,27**
Асимметрия частота ЭЭГ в затылочных/лобных отделах	**1,21**	**1,21**	**1,25**	**1,28**
Соотношение асимметрии лобно-затылочной к право-левополушарной	**1,20**	**1,20**	**1,24**	**1,29**
Соотношение частот в точках O2/F3	**1,15**	**1,12**	**1,14**	**1,21**
Соотношение частот	**1,16**	**1,17**	**1,20**	**1,24**

в точках O1/F4				

4.5. Частоты ЭЭГ у обследованных (закрытые глаза) с разным значением такого маркера космических энергия как LOD (величина обратная скорости вращения Земли) *плюс* число Вольфа, деленное на 50, в 2004 – 2020 годах в день обследования

2004-2020				
Условная группа	**LOD+ЧВ/50>2 до 4**	**LOD+ЧВ/50>1<2**	**LOD+ЧВ/50>0<1**	**LOD+ЧВ/50<0**
O2	**12,08**	**12,37**	**12,75**	**12,14**
O1	**12,27**	**12,63**	**13,14**	**12,43**
P4	**11,79**	**12,03**	**12,13**	**11,23**
P3	**11,81**	**12,41**	**12,61**	**11,50**
C4	**11,17**	**11,69**	**12,16**	**11,38**
C3	**11,29**	**11,88**	**12,58**	**11,99**
F4	**10,70**	**10,85**	**10,96**	**9,28**
F3	**10,72**	**11,04**	**11,04**	**9,38**
ЭКГ	**4,72**	**4,71**	**4,97**	**5,37**
Сумма координат Pole_X+У =	**0,44**	**0,41**	**0,46**	**0,56**
Десятикратное значение Pole_X+Y плюс Число Вольфа/50 10(XY)+ЧВ/50) =	**6,22**	**4,64**	**4,76**	**5,61**
Десятикратное значение Pole_X+Y минус число Вольфа/50 Pole_X+Y 10(XY)-ЧВ/50) =	**2,52**	**3,60**	**4,48**	**5,55**
LOD =	**1,13**	**0,94**	**0,40**	**-0,60**
LOD+ЧВ/50 =	**2,98**	**1,47**	**0,57**	**-0,49**
LOD-ЧВ/50 =	**-0,72**	**0,42**	**0,23**	**-0,66**
ЧВ/50 =	**1,85**	**0,53**	**0,17**	**0,09**

Число Вольфа =	**92,28**	**26,28**	**8,02**	**3,17**
Частота ЭЭГ в левом полушарии	**11,52**	**11,99**	**12,34**	**11,33**
Частота ЭЭГ в правом полушарии	**11,44**	**11,73**	**12,00**	**11,01**
Асимметрия частота ЭЭГ левое/правое полушария	**1,01**	**1,03**	**1,04**	**1,03**
Средняя частота ЭГГ в затылке (O2+O1) /2	**12,18**	**12,50**	**12,95**	**12,29**
Средняя частота ЭЭГ в лобных отделах (F3+F4) /2	**10,71**	**10,94**	**11,00**	**9,33**
Асимметрия частота ЭЭГ в затылочных/лобных отделах	**1,20**	**1,20**	**1,25**	**1,39**
Соотношение асимметрии лобно-затылочной к право-левополушарной	**1,21**	**1,18**	**1,24**	**1,40**
Соотношение частот в точках O2/F3	**1,13**	**1,12**	**1,15**	**1,29**
Соотношение частот в точках O1/F4	**1,15**	**1,16**	**1,20**	**1,34**

4.6. Частоты ЭЭГ у обследованных (закрытые глаза) в дни с разным значением такого маркера космических энергия как числа Вольфа в 2004 – 2020 годах

2004-2020				
Условная группа	**Вольфа >100**	**Вольфа >50<100**	**Вольфа>15<50**	**Вольфа <15**
O2	**12,21**	**12,13**	**12,49**	**12,62**
O1	**12,41**	**12,22**	**12,72**	**12,95**

P4	**11,54**	**11,96**	**12,27**	**11,98**
P3	**11,49**	**12,22**	**12,59**	**12,39**
C4	**10,78**	**11,42**	**11,90**	**11,71**
C3	**11,02**	**11,55**	**12,12**	**12,21**
F4	**10,21**	**10,78**	**11,03**	**10,32**
F3	**10,24**	**10,93**	**11,22**	**10,71**
ЭКГ	**4,70**	**4,70**	**4,68**	**4,87**
Сумма координат Pole_X+У =	**0,47**	**0,45**	**0,44**	**0,45**
Десятикратное значение Pole_X+Y плюс Число Вольфа/50 10(XY)+ЧВ/50) =	**7,18**	**5,92**	**4,91**	**4,74**
Десятикратное значение Pole_X+Y минус число Вольфа/50 Pole_X+Y 10(XY)-ЧВ/50) =	**2,21**	**3,15**	**3,85**	**4,34**
LOD =	**0,94**	**0,75**	**0,71**	**0,50**
LOD+ЧВ/50 =	**3,43**	**2,14**	**1,28**	**0,76**
LOD-ЧВ/50 =	**-1,54**	**-0,64**	**0,13**	**0,29**
ЧВ/50 =	**2,49**	**1,39**	**0,58**	**0,23**
Число Вольфа =	**124,44**	**69,33**	**28,80**	**11,00**
Частота ЭЭГ в левом полушарии	**11,29**	**11,73**	**12,16**	**12,06**
Частота ЭЭГ в правом полушарии	**11,18**	**11,57**	**11,92**	**11,66**
Асимметрия частота ЭЭГ левое/правое полушария	**1,02**	**1,02**	**1,03**	**1,05**
Средняя частота ЭГГ в затылке (O2+O1) /2	**12,31**	**12,17**	**12,61**	**12,79**
Средняя частота ЭЭГ в лобных от-	**10,23**	**10,86**	**11,12**	**10,52**

делах (F3+F4) /2				
Асимметрия частота ЭЭГ в затылочных/лобных отделах	**1,26**	**1,19**	**1,19**	**1,28**
Соотношение асимметрии лобно-затылочной к право-левополушарной	**1,27**	**1,19**	**1,19**	**1,25**
Соотношение частот в точках O2/F3	**1,19**	**1,11**	**1,11**	**1,18**
Соотношение частот в точках O1/F4	**1,22**	**1,13**	**1,15**	**1,25**

4.7. Частоты ЭЭГ у обследованных (закрытые глаза) в дни с разным значением такого маркера космических энергия как LOD Земли в 2017 – 2020 годах

2017-2020				
Условная группа	**LOD= 1**	**LOD=2,3,4**	**LOD = 5**	**LOD=6,7,8,9**
O2	**13,66**	**11,50**	**11,14**	**11,90**
O1	**13,42**	**11,78**	**11,46**	**12,27**
P4	**11,69**	**10,91**	**10,47**	**11,24**
P3	**12,06**	**11,30**	**11,13**	**11,50**
C4	**11,86**	**11,27**	**10,91**	**11,72**
C3	**12,52**	**11,68**	**11,35**	**12,02**
F4	**10,59**	**9,36**	**9,22**	**9,76**
F3	**10,49**	**9,50**	**9,18**	**9,80**
ЭКГ	**5,46**	**4,95**	**4,53**	**5,18**
Сумма координат Pole_X+У =	**0,48**	**0,49**	**0,43**	**0,50**
Десятикратное значение Pole_X+Y плюс	**4,84**	**5,09**	**4,57**	**5,12**

Число Вольфа/50 10(XY)+ЧВ/50) =				
Десятикратное значение Pole_X+Y минус число Вольфа/50 Pole_X+Y 10(XY)-ЧВ/50) =	**4,75**	**4,67**	**4,05**	**4,80**
LOD =	**0,03**	**0,36**	**0,85**	**0,36**
LOD+ЧВ/50 =	**0,23**	**0,63**	**1,18**	**0,57**
LOD-ЧВ/50 =	**-0,11**	**0,15**	**0,56**	**0,21**
ЧВ/50 =	**0,17**	**0,24**	**0,31**	**0,18**
Число Вольфа =	**8,02**	**11,04**	**14,82**	**8,61**
Частота ЭЭГ в левом полушарии	**12,12**	**11,07**	**10,78**	**11,40**
Частота ЭЭГ в правом полушарии	**11,95**	**10,76**	**10,44**	**11,15**
Асимметрия частота ЭЭГ левое/правое полушария	**1,02**	**1,03**	**1,04**	**1,03**
Средняя частота ЭГГ в затылке (O2+O1) /2	**13,54**	**11,64**	**11,30**	**12,09**
Средняя частота ЭЭГ в лобных отделах (F3+F4) /2	**10,54**	**9,43**	**9,20**	**9,78**
Асимметрия частота ЭЭГ в затылочных/лобных отделах	**1,37**	**1,32**	**1,35**	**1,30**
Соотношение асимметрии лобно-затылочной к право-левополушарной	**1,41**	**1,32**	**1,32**	**1,30**
Соотношение частот в точках O2/F3	**1,30**	**1,21**	**1,21**	**1,21**
Соотношение частот в точках O1/F4	**1,27**	**1,26**	**1,24**	**1,26**

4.8. Частоты ЭЭГ у обследованных (закрытые глаза) в дни с разным значением такого маркера космических энергия как LOD Земли в 2004-2014 годах

2004-2014				
Условная группа	**LOD= 1**	**LOD=2,3,4**	**LOD = 5**	**LOD = 6,7,8,9**
O2	**12,31**	**13,02**	**12,33**	**13,02**
O1	**12,67**	**13,45**	**12,52**	**13,45**
P4	**12,20**	**12,90**	**12,20**	**12,90**
P3	**12,77**	**13,27**	**11,98**	**13,27**
C4	**11,87**	**11,93**	**11,82**	**11,93**
C3	**12,06**	**12,21**	**11,57**	**12,21**
F4	**11,65**	**11,56**	**11,14**	**11,56**
F3	**11,62**	**11,81**	**10,91**	**11,81**
ЭКГ	**4,82**	**4,79**	**4,86**	**4,79**
Сумма координат Pole_X+У =	**0,44**	**0,43**	**0,42**	**0,43**
Десятикратное значение Pole_X+Y плюс Число Вольфа/50 10(XY)+ЧВ/50) =	**5,20**	**5,22**	**5,22**	**5,22**
Десятикратное значение Pole_X+Y минус число Вольфа/50 Pole_X+Y 10(XY)-ЧВ/50) =	**3,56**	**3,47**	**3,13**	**3,47**
LOD =	**0,54**	**0,67**	**1,27**	**0,67**
LOD+ЧВ/50 =	**1,36**	**1,54**	**2,31**	**1,54**
LOD-ЧВ/50 =	**-0,28**	**-0,20**	**0,22**	**-0,20**
ЧВ/50 =	**0,82**	**0,87**	**1,04**	**0,87**
Число Вольфа =	**40,91**	**43,55**	**52,09**	**43,55**
Частота ЭЭГ в левом полушарии	**12,28**	**12,69**	**11,74**	**12,69**
Частота ЭЭГ в правом	**12,01**	**12,35**	**11,87**	**12,35**

полушарии				
Асимметрия частота ЭЭГ левое/правое полушария	**1,04**	**1,04**	**1,00**	**1,04**
Средняя частота ЭГГ в затылке (O2+O1) /2	**12,49**	**13,23**	**12,42**	**13,23**
Средняя частота ЭЭГ в лобных отделах (F3+F4) /2	**11,63**	**11,69**	**11,02**	**11,69**
Асимметрия частота ЭЭГ в затылочных/лобных отделах	**1,12**	**1,17**	**1,20**	**1,17**
Соотношение асимметрии лобно-затылочной к право-левополушарной	**1,09**	**1,16**	**1,26**	**1,16**
Соотношение частот в точках O2/F3	**1,06**	**1,10**	**1,13**	**1,10**
Соотношение частот в точках O1/F4	**1,09**	**1,16**	**1,12**	**1,16**

4.9. Частоты ЭЭГ у обследованных (закрытые глаза) в дни с разным значением такого маркера космических энергия как LOD в день обследования в 2004 – 2020 годах

2004-2020				
Условная группа	**LOD= 1**	**LOD = 2,3,4**	**LOD = 5**	**LOD = 6,7,8,9**
O2	**12,98**	**12,41**	**11,74**	**12,40**
O1	**13,04**	**12,79**	**11,99**	**12,67**
P4	**11,95**	**12,11**	**11,34**	**11,84**
P3	**12,42**	**12,48**	**11,55**	**12,11**
C4	**11,86**	**11,67**	**11,37**	**11,76**
C3	**12,29**	**12,00**	**11,46**	**12,05**
F4	**11,12**	**10,68**	**10,19**	**10,61**
F3	**11,06**	**10,89**	**10,05**	**10,73**

ЭКГ	**5,14**	**4,85**	**4,70**	**4,88**
Сумма координат Pole_X+У =	**0,46**	**0,46**	**0,42**	**0,45**
Десятикратное значение Pole_X+Y плюс Число Вольфа/50 10(XY)+ЧВ/50) =	**5,02**	**5,17**	**4,90**	**5,06**
Десятикратное значение Pole_X+Y минус число Вольфа/50 Pole_X+Y 10(XY)-ЧВ/50) =	**4,15**	**3,95**	**3,59**	**3,91**
LOD =	**0,31**	**0,56**	**1,08**	**0,66**
LOD+ЧВ/50 =	**0,80**	**1,18**	**1,75**	**1,24**
LOD-ЧВ/50 =	**-0,19**	**-0,06**	**0,39**	**0,06**
ЧВ/50 =	**0,50**	**0,62**	**0,68**	**0,59**
Число Вольфа =	**24,66**	**30,61**	**33,57**	**29,25**
Частота ЭЭГ в левом полушарии	**12,20**	**12,04**	**11,26**	**11,89**
Частота ЭЭГ в правом полушарии	**11,98**	**11,72**	**11,16**	**11,65**
Асимметрия частота ЭЭГ левое/правое полушария	**1,03**	**1,03**	**1,02**	**1,03**
Средняя частота ЭГГ в затылке (O2+O1) /2	**13,01**	**12,60**	**11,87**	**12,54**
Средняя частота ЭЭГ в лобных отделах (F3+F4) /2	**11,09**	**10,79**	**10,12**	**10,67**
Асимметрия частота ЭЭГ в затылочных/лобных отделах	**1,24**	**1,23**	**1,27**	**1,24**
Соотношение асимметрии лобно-затылочной к право-левополушарной	**1,25**	**1,22**	**1,29**	**1,23**
Соотношение частот в	**1,17**	**1,14**	**1,17**	**1,16**

точках O2/F3				
Соотношение частот в точках O1/F4	**1,17**	**1,20**	**1,18**	**1,19**

4.10. Частоты ЭЭГ у обследованных (закрытые глаза) в дни с разным значением такого маркера космических энергия как сумма координат движения полюса Pole_X+Y в 2017-2020 годах

2017-2020				
Условная группа	**Pole_X+Y= 1**	**Pole_X+Y= 2,3,4**	**Pole_X+Y= 5**	**Pole_X+Y= 6,7,8,9**
O2	**11,40**	**12,13**	**12,14**	**11,84**
O1	**11,52**	**12,37**	**12,52**	**12,21**
P4	**10,63**	**11,07**	**11,42**	**11,36**
P3	**10,84**	**11,50**	**11,91**	**11,71**
C4	**11,13**	**11,40**	**11,80**	**11,74**
C3	**11,26**	**11,96**	**12,47**	**12,04**
F4	**8,89**	**9,74**	**10,14**	**10,01**
F3	**8,75**	**10,07**	**9,94**	**10,06**
ЭКГ	**5,19**	**5,09**	**4,68**	**5,11**
Сумма координат Pole_X+У =	**0,60**	**0,48**	**0,35**	**0,46**
Десятикратное значение Pole_X+Y плюс Число Вольфа/50 10(XY)+ЧВ/50) =	**6,08**	**4,91**	**3,65**	**4,93**
Десятикратное значение Pole_X+Y минус число Вольфа/50 Pole_X+Y 10(XY)-ЧВ/50) =	**5,86**	**4,66**	**3,30**	**4,32**
LOD =	**-0,52**	**0,43**	**0,82**	**0,96**
LOD+ЧВ/50 =	**-0,24**	**0,66**	**1,05**	**1,21**
LOD-ЧВ/50 =	**-0,55**	**0,26**	**0,63**	**0,59**
ЧВ/50 =	**0,15**	**0,20**	**0,21**	**0,31**

Число Вольфа =	**6,37**	**9,65**	**10,04**	**14,72**
Частота ЭЭГ в левом полушарии	**10,59**	**11,48**	**11,71**	**11,51**
Частота ЭЭГ в правом полушарии	**10,51**	**11,09**	**11,37**	**11,24**
Асимметрия частота ЭЭГ левое/правое полушария	**1,02**	**1,04**	**1,04**	**1,02**
Средняя частота ЭГГ в затылке (O2+O1) /2	**11,46**	**12,25**	**12,33**	**12,02**
Средняя частота ЭЭГ в лобных отделах (F3+F4) /2	**8,82**	**9,91**	**10,04**	**10,04**
Асимметрия частота ЭЭГ в затылочных/лобных отделах	**1,38**	**1,31**	**1,30**	**1,29**
Соотношение асимметрии лобно-затылочной к право-левополушарной	**1,41**	**1,29**	**1,27**	**1,29**
Соотношение частот в точках O2/F3	**1,30**	**1,20**	**1,22**	**1,18**
Соотношение частот в точках O1/F4	**1,30**	**1,27**	**1,24**	**1,22**

4.11. Частоты ЭЭГ у обследованных (закрытые глаза) в дни с разным значением такого маркера космических энергия как сумма координат движения полюса Pole_X+Y в 2004-2014 годах

	2004-2014			
Условная группа	**Pole_X+Y= 1**	**Pole_X+Y= 2,3,4**	**Pole_X+Y= 5**	**Pole_X+Y= 6,7,8,9**
O2	**12,78**	**12,95**	**12,58**	**12,84**
O1	**12,88**	**13,19**	**12,85**	**13,35**
P4	**12,27**	**12,87**	**12,19**	**12,60**
P3	**12,35**	**13,14**	**12,70**	**12,93**

C4	**11,71**	**12,03**	**11,77**	**11,82**
C3	**11,85**	**12,22**	**11,73**	**12,24**
F4	**11,10**	**11,84**	**11,01**	**11,43**
F3	**11,26**	**12,04**	**11,13**	**11,61**
ЭКГ	**4,68**	**4,80**	**5,05**	**4,54**
Сумма координат Pole_X+У =	**0,57**	**0,43**	**0,29**	**0,42**
Десятикратное значение Pole_X+Y плюс Число Вольфа/50 10(XY)+ЧВ/50) =	**6,97**	**5,17**	**3,76**	**4,99**
Десятикратное значение Pole_X+Y минус число Вольфа/50 Pole_X+Y 10(XY)-ЧВ/50) =	**4,42**	**3,40**	**2,12**	**3,34**
LOD =	**0,49**	**0,81**	**1,07**	**0,77**
LOD+ЧВ/50 =	**1,76**	**1,69**	**1,89**	**1,60**
LOD-ЧВ/50 =	**-0,79**	**-0,08**	**0,25**	**-0,05**
ЧВ/50 =	**1,27**	**0,88**	**0,82**	**0,83**
Число Вольфа =	**63,57**	**44,04**	**40,86**	**41,20**
Частота ЭЭГ в левом полушарии	**12,09**	**12,64**	**12,10**	**12,53**
Частота ЭЭГ в правом полушарии	**11,96**	**12,42**	**11,89**	**12,17**
Асимметрия частота ЭЭГ левое/правое полушария	**1,02**	**1,02**	**1,02**	**1,04**
Средняя частота ЭГГ в затылке (O2+O1) /2	**12,83**	**13,07**	**12,72**	**13,10**
Средняя частота ЭЭГ в лобных отделах (F3+F4) /2	**11,18**	**11,94**	**11,07**	**11,52**
Асимметрия частота ЭЭГ в затылочных/лобных отделах	**1,20**	**1,14**	**1,18**	**1,19**
Соотношение асим-	**1,19**	**1,13**	**1,18**	**1,17**

метрии лобно-затылочной к право-левополушарной				
Соотношение частот в точках O2/F3	**1,13**	**1,08**	**1,13**	**1,11**
Соотношение частот в точках O1/F4	**1,16**	**1,11**	**1,17**	**1,17**

Приложение 5. Корреляции между частотами ЭЭГ, которые были в момент выполнения каждого вида деятельности, экспертной оценкой результатов этой деятельности каждого испытуемого и значениями шкал выполненных тестов (методика MMPI, интеллектуальные тесты) за несколько дней до этого в 2017-2020 годах

Пояснения:
Есть средняя частота ЭЭГ каждого обследованного в момент их отдыха и выполнения заданий (решение логической задачи, работа с рисунками, фотографиями, описание личностно значимого события прошлого). Результаты решения логических задач, работы с рисунками, фотографиями и работы с конфликтами прошлого оценивались в 10-балльной шкале. Одновременно имеем и среднюю частоту ЭЭГ в это время. Есть и ежедневные значения LOD, координаты полюса Земли (Pole_X+Y) на момент проведения обследования, то есть на протяжении 2017-2020 годов. Каждый пункт скоррелирован с каждым.
И – это частота ЭЭГ в момент получения инструкции

	Оценка Логический ряд	Оценка Рисунки	оценка Фотографии
Логический ряд	1,00	-0,07	0,39
Рисунки	-0,07	1,00	0,73
Фотографии	0,39	0,73	1,00
Событие	-0,29	0,79	0,61
И-1	-0,45	-0,17	-0,70
Откр.Глаза_1	-0,46	0,05	-0,53
И-2	-0,35	-0,21	-0,62
Закрыт.Глаза_1	-0,51	-0,17	-0,74
И-3	-0,43	-0,06	-0,63
Логический ряд	-0,41	0,43	-0,22

И-4	-0,56	0,26	-0,40
Рисунки	-0,52	-0,23	-0,77
И-5	-0,42	-0,29	-0,76
Фотографии	-0,53	-0,29	-0,80
И-6	-0,57	-0,14	-0,62
Событие	-0,59	-0,17	-0,67
И-7	-0,42	-0,16	-0,70
Моцарт_Закр.Глаза_2	-0,51	0,31	-0,37
Сила личности	-0,42	0,05	-0,01
IN1 Количественные отноше-ния	0,74	0,24	0,68
IN2 Сложные аналогии	0,66	0,11	0,35
Контрольная шкала L	-0,45	-0,22	-0,40
Контрольная шкала F	0,01	0,23	0,34
Контрольная шкала K	0,03	0,75	0,55
1-Ипохондрия	-0,43	0,54	0,30
2-Депрессия	-0,62	-0,09	-0,56
3-Истероидность	0,01	0,92	0,76
4-Психопатичность	0,19	0,94	0,79
5-Феминизированность	-0,12	-0,36	-0,67
6-Паранойяльность	0,13	0,50	0,26
7-Психастеничность	-0,16	0,88	0,47
8-Шизоидность	-0,09	0,75	0,52
9-Маниакальность	-0,17	-0,07	-0,12
0-Интровертированность	-0,24	-0,77	-0,72
LOD	0,13	-0,83	-0,71
Pole_X+Y2017-20	-0,28	0,29	-0,18

Оценка	частота	частота
Событие	И-1	Откр.Глаза_1

Логический ряд	-0,29	-0,45	-0,46
Рисунки	0,79	-0,17	0,05
Фотографии	0,61	-0,70	-0,53
Событие	1,00	-0,41	-0,26
И-1	-0,41	1,00	0,94
Откр.Глаза_1	-0,26	0,94	1,00
И-2	-0,37	0,72	0,81
Закрыт.Глаза_1	-0,34	0,90	0,91
И-3	-0,33	0,98	0,96
Логический ряд	0,08	0,73	0,80
И-4	-0,01	0,86	0,95
Рисунки	-0,36	0,98	0,90
И-5	-0,46	0,98	0,90
Фотографии	-0,41	0,98	0,88
И-6	-0,26	0,92	0,83
Событие	-0,25	0,93	0,84
И-7	-0,37	0,97	0,96
Моцарт_Закр.Глаза_2	0,04	0,84	0,94
Сила личности	-0,09	0,22	0,39
IN1 Количественные отноше-ния	-0,06	-0,54	-0,36
IN2 Сложные аналогии	-0,20	-0,24	-0,04
Контрольная шкала L	-0,37	0,61	0,61
Контрольная шкала F	0,57	-0,64	-0,67
Контрольная шкала K	0,24	0,12	0,35
1-Ипохондрия	0,51	0,21	0,22
2-Депрессия	-0,01	0,51	0,61
3-Истероидность	0,61	-0,12	0,11
4-Психопатичность	0,65	-0,27	-0,09
5-Феминизированность	-0,54	0,69	0,74
6-Паранойяльность	0,06	0,28	0,33
7-Психастеничность	0,48	0,23	0,47

8-Шизоидность	0,44	0,14	0,20
9-Маниакальность	0,08	-0,03	-0,24
0-Интровертированность	-0,36	0,07	-0,09
LOD	-0,90	0,41	0,31
Pole_X+Y2017-20	0,15	0,31	0,48

	Частота И-2	частота За-крыт.Глаза_1	частота И-3
Логический ряд	-0,35	-0,51	-0,43
Рисунки	-0,21	-0,17	-0,06
Фотографии	-0,62	-0,74	-0,63
Событие	-0,37	-0,34	-0,33
И-1	0,72	0,90	0,98
Откр.Глаза_1	0,81	0,91	0,96
И-2	1,00	0,88	0,71
Закрыт.Глаза_1	0,88	1,00	0,91
И-3	0,71	0,91	1,00
Логический ряд	0,41	0,71	0,82
И-4	0,74	0,89	0,91
Рисунки	0,69	0,89	0,96
И-5	0,72	0,87	0,96
Фотографии	0,70	0,88	0,94
И-6	0,57	0,73	0,86
Событие	0,62	0,76	0,87
И-7	0,84	0,92	0,96
Моцарт_Закр.Глаза_2	0,71	0,86	0,89
Сила личности	0,48	0,27	0,22
IN1 Количественные отно-шения	-0,23	-0,52	-0,47
IN2 Сложные аналогии	0,20	-0,11	-0,15
Контрольная шкала L	0,57	0,45	0,51

Контрольная шкала F	-0,59	-0,49	-0,65
Контрольная шкала K	0,06	0,05	0,21
1-Ипохондрия	-0,20	-0,08	0,20
2-Депрессия	0,82	0,81	0,55
3-Истероидность	-0,18	-0,21	-0,02
4-Психопатичность	-0,39	-0,30	-0,16
5-Феминизированность	0,89	0,83	0,73
6-Паранойяльность	-0,10	0,18	0,39
7-Психастеничность	0,19	0,22	0,33
8-Шизоидность	-0,31	-0,12	0,18
9-Маниакальность	-0,41	-0,15	-0,15
0-Интровертированность	0,27	0,29	-0,01
LOD	0,58	0,48	0,35
Pole_X+Y2017-20	0,55	0,63	0,43

	И-2	За-крыт.Глаза_1	И-3
	Частота Логический ряд	частота И-4	частота Рисунки
Логический ряд	-0,41	-0,56	-0,52
Рисунки	0,43	0,26	-0,23
Фотографии	-0,22	-0,40	-0,77
Событие	0,08	-0,01	-0,36
И-1	0,73	0,86	0,98
Откр.Глаза_1	0,80	0,95	0,90
И-2	0,41	0,74	0,69
Закрыт.Глаза_1	0,71	0,89	0,89
И-3	0,82	0,91	0,96
Логический ряд	1,00	0,89	0,68

И-4	0,89	1,00	0,82
Рисунки	0,68	0,82	1,00
И-5	0,63	0,79	0,99
Фотографии	0,64	0,79	0,99
И-6	0,59	0,74	0,93
Событие	0,57	0,75	0,95
И-7	0,66	0,87	0,96
Моцарт_Закр.Глаза_2	0,89	0,98	0,81
Сила личности	0,10	0,35	0,17
IN1 Количественные отноше-ния	-0,34	-0,40	-0,65
IN2 Сложные аналогии	-0,15	-0,09	-0,34
Контрольная шкала L	0,17	0,44	0,58
Контрольная шкала F	-0,31	-0,49	-0,58
Контрольная шкала K	0,53	0,41	-0,02
1-Ипохондрия	0,32	0,28	0,21
2-Депрессия	0,42	0,69	0,55
3-Истероидность	0,37	0,24	-0,21
4-Психопатичность	0,38	0,10	-0,35
5-Феминизированность	0,40	0,64	0,68
6-Паранойяльность	0,72	0,43	0,17
7-Психастеничность	0,67	0,60	0,12
8-Шизоидность	0,52	0,29	0,06
9-Маниакальность	-0,04	-0,23	0,01
0-Интровертированность	-0,30	-0,13	0,17
LOD	-0,11	0,10	0,39
Pole_X+Y2017-20	0,61	0,64	0,28

Логический ряд	И-4	Рисунки

	Частота И-5	частота Фотографии	частота И-6
Логический ряд	-0,42	-0,53	-0,57
Рисунки	-0,29	-0,29	-0,14
Фотографии	-0,76	-0,80	-0,62
Событие	-0,46	-0,41	-0,26
И-1	0,98	0,98	0,92
Откр.Глаза_1	0,90	0,88	0,83
И-2	0,72	0,70	0,57
Закрыт.Глаза_1	0,87	0,88	0,73
И-3	0,96	0,94	0,86
Логический ряд	0,63	0,64	0,59
И-4	0,79	0,79	0,74
Рисунки	0,99	0,99	0,93
И-5	1,00	0,98	0,91
Фотографии	0,98	1,00	0,94
И-6	0,91	0,94	1,00
Событие	0,94	0,95	0,99
И-7	0,97	0,95	0,88
Моцарт_Закр.Глаза_2	0,77	0,78	0,74
Сила личности	0,21	0,17	0,24
IN1 Количественные отноше-ния	-0,55	-0,67	-0,65
IN2 Сложные аналогии	-0,23	-0,37	-0,47
Контрольная шкала L	0,62	0,61	0,74
Контрольная шкала F	-0,68	-0,56	-0,56
Контрольная шкала K	0,00	-0,06	0,07
1-Ипохондрия	0,17	0,20	0,48
2-Депрессия	0,51	0,54	0,37
3-Истероидность	-0,22	-0,27	-0,08

4-Психопатичность	-0,40	-0,40	-0,28
5-Феминизированность	0,73	0,66	0,44
6-Паранойяльность	0,18	0,12	0,09
7-Психастеничность	0,10	0,08	0,20
8-Шизоидность	0,03	0,03	0,25
9-Маниакальность	-0,09	0,06	0,16
0-Интровертированность	0,15	0,22	0,00
LOD	0,49	0,43	0,22
Pole_X+Y2017-20	0,24	0,24	0,04

	И-5	Фотографии	И-6
	Частота	частота	частота Мо-царт_Закр. Глаза_2
	Событие	И-7	
Логический ряд	-0,59	-0,42	-0,51
Рисунки	-0,17	-0,16	0,31
Фотографии	-0,67	-0,70	-0,37
Событие	-0,25	-0,37	0,04
И-1	0,93	0,97	0,84
Откр.Глаза_1	0,84	0,96	0,94
И-2	0,62	0,84	0,71
Закрыт.Глаза_1	0,76	0,92	0,86
И-3	0,87	0,96	0,89
Логический ряд	0,57	0,66	0,89
И-4	0,75	0,87	0,98
Рисунки	0,95	0,96	0,81
И-5	0,94	0,97	0,77
Фотографии	0,95	0,95	0,78
И-6	0,99	0,88	0,74

Событие	1,00	0,90	0,76
И-7	0,90	1,00	0,87
Моцарт_Закр.Глаза_2	0,76	0,87	1,00
Сила личности	0,25	0,27	0,24
IN1 Количественные отношения	-0,67	-0,47	-0,42
IN2 Сложные аналогии	-0,44	-0,11	-0,12
Контрольная шкала L	0,72	0,61	0,40
Контрольная шкала F	-0,57	-0,66	-0,42
Контрольная шкала K	0,01	0,10	0,40
1-Ипохондрия	0,44	0,14	0,32
2-Депрессия	0,45	0,62	0,64
3-Истероидность	-0,12	-0,12	0,26
4-Психопатичность	-0,34	-0,31	0,15
5-Феминизированность	0,52	0,80	0,60
6-Паранойяльность	0,04	0,16	0,41
7-Психастеничность	0,16	0,24	0,63
8-Шизоидность	0,17	0,02	0,34
9-Маниакальность	0,08	-0,17	-0,14
0-Интровертированность	0,07	0,10	-0,16
LOD	0,26	0,45	0,04
Pole_X+Y 2017-20	0,09	0,38	0,61

	Событие	И-7	Моцарт_Закр. Глаза_2
	Сила личности	IN1 Количественные отношения	IN2 Сложные аналогии
Логический ряд	-0,42	0,74	0,66
Рисунки	0,05	0,24	0,11

Фотографии	-0,01	0,68	0,35
Событие	-0,09	-0,06	-0,20
И-1	0,22	-0,54	-0,24
Откр.Глаза_1	0,39	-0,36	-0,04
И-2	0,48	-0,23	0,20
Закрыт.Глаза_1	0,27	-0,52	-0,11
И-3	0,22	-0,47	-0,15
Логический ряд	0,10	-0,34	-0,15
И-4	0,35	-0,40	-0,09
Рисунки	0,17	-0,65	-0,34
И-5	0,21	-0,55	-0,23
Фотографии	0,17	-0,67	-0,37
И-6	0,24	-0,65	-0,47
Событие	0,25	-0,67	-0,44
И-7	0,27	-0,47	-0,11
Моцарт_Закр.Глаза_2	0,24	-0,42	-0,12
Сила личности	1,00	0,19	0,25
IN1 Количественные отноше-ния	0,19	1,00	0,86
IN2 Сложные аналогии	0,25	0,86	1,00
Контрольная шкала L	0,71	-0,22	-0,12
Контрольная шкала F	-0,59	-0,14	-0,37
Контрольная шкала K	0,46	0,48	0,39
1-Ипохондрия	0,15	-0,27	-0,47
2-Депрессия	0,37	-0,44	-0,03
3-Истероидность	0,30	0,44	0,27
4-Психопатичность	-0,15	0,38	0,19
5-Феминизированность	0,34	-0,12	0,34
6-Паранойяльность	-0,12	0,18	0,15
7-Психастеничность	0,27	0,20	0,21
8-Шизоидность	-0,05	0,04	-0,20
9-Маниакальность	-0,57	-0,54	-0,78

0-Интровертированность	-0,18	-0,51	-0,29
LOD	0,16	-0,02	0,25
Pole_X+Y 2017-20	0,14	-0,11	0,23

	Сила личности	IN1 Количественные отношения	IN2 Сложные аналогии
	Контрольная шкала L	Контрольная шкала F	Контрольная шкала K
Логический ряд	-0,45	0,01	0,03
Рисунки	-0,22	0,23	0,75
Фотографии	-0,40	0,34	0,55
Событие	-0,37	0,57	0,24
И-1	0,61	-0,64	0,12
Откр.Глаза_1	0,61	-0,67	0,35
И-2	0,57	-0,59	0,06
Закрыт.Глаза_1	0,45	-0,49	0,05
И-3	0,51	-0,65	0,21
Логический ряд	0,17	-0,31	0,53
И-4	0,44	-0,49	0,41
Рисунки	0,58	-0,58	-0,02
И-5	0,62	-0,68	0,00
Фотографии	0,61	-0,56	-0,06
И-6	0,74	-0,56	0,07
Событие	0,72	-0,57	0,01
И-7	0,61	-0,66	0,10
Моцарт_Закр.Глаза_2	0,40	-0,42	0,40
Сила личности	0,71	-0,59	0,46
IN1 Количественные отношения	-0,22	-0,14	0,48
IN2 Сложные аналогии	-0,12	-0,37	0,39

Контрольная шкала L	1,00	-0,72	0,20
Контрольная шкала F	-0,72	1,00	-0,34
Контрольная шкала K	0,20	-0,34	1,00
1-Ипохондрия	0,36	-0,08	0,41
2-Депрессия	0,26	-0,19	-0,10
3-Истероидность	-0,01	-0,08	0,88
4-Психопатичность	-0,40	0,29	0,73
5-Феминизированность	0,38	-0,67	-0,02
6-Паранойяльность	-0,24	-0,18	0,66
7-Психастеничность	0,11	-0,16	0,88
8-Шизоидность	0,04	-0,01	0,71
9-Маниакальность	-0,14	0,59	-0,36
0-Интровертированность	-0,08	0,22	-0,87
LOD	0,30	-0,52	-0,38
Pole_X+Y 2017-20	-0,16	-0,02	0,25

	Контрольная шкала L	Контрольная шкала F	Контрольная шкала K
	1-Ипохондрия	2-Депрессия	3-Истероидность
Логический ряд	-0,43	-0,62	0,01
Рисунки	0,54	-0,09	0,92
Фотографии	0,30	-0,56	0,76
Событие	0,51	-0,01	0,61
И-1	0,21	0,51	-0,12
Откр.Глаза_1	0,22	0,61	0,11
И-2	-0,20	0,82	-0,18
Закрыт.Глаза_1	-0,08	0,81	-0,21
И-3	0,20	0,55	-0,02

Логический ряд	0,32	0,42	0,37
И-4	0,28	0,69	0,24
Рисунки	0,21	0,55	-0,21
И-5	0,17	0,51	-0,22
Фотографии	0,20	0,54	-0,27
И-6	0,48	0,37	-0,08
Событие	0,44	0,45	-0,12
И-7	0,14	0,62	-0,12
Моцарт_Закр.Глаза_2	0,32	0,64	0,26
Сила личности	0,15	0,37	0,30
IN1 Количественные отноше-ния	-0,27	-0,44	0,44
IN2 Сложные аналогии	-0,47	-0,03	0,27
Контрольная шкала L	0,36	0,26	-0,01
Контрольная шкала F	-0,08	-0,19	-0,08
Контрольная шкала K	0,41	-0,10	0,88
1-Ипохондрия	1,00	-0,21	0,60
2-Депрессия	-0,21	1,00	-0,21
3-Истероидность	0,60	-0,21	1,00
4-Психопатичность	0,40	-0,31	0,86
5-Феминизированность	-0,41	0,70	-0,28
6-Паранойяльность	0,21	-0,11	0,52
7-Психастеничность	0,53	0,14	0,87
8-Шизоидность	0,80	-0,36	0,77
9-Маниакальность	0,23	-0,31	-0,30
0-Интровертированность	-0,61	0,48	-0,92
LOD	-0,65	0,35	-0,70
Pole_X+Y 2017-20	-0,29	0,74	0,12
	1-Ипохондрия	2-Депрессия	3-Истероидность

	4-Психопа-тичность	5-Феминизиро-ванность	6-Паранойяльность
Логический ряд	0,19	-0,12	0,13
Рисунки	0,94	-0,36	0,50
Фотографии	0,79	-0,67	0,26
Событие	0,65	-0,54	0,06
И-1	-0,27	0,69	0,28
Откр.Глаза_1	-0,09	0,74	0,33
И-2	-0,39	0,89	-0,10
Закрыт.Глаза_1	-0,30	0,83	0,18
И-3	-0,16	0,73	0,39
Логический ряд	0,38	0,40	0,72
И-4	0,10	0,64	0,43
Рисунки	-0,35	0,68	0,17
И-5	-0,40	0,73	0,18
Фотографии	-0,40	0,66	0,12
И-6	-0,28	0,44	0,09
Событие	-0,34	0,52	0,04
И-7	-0,31	0,80	0,16
Моцарт_Закр.Глаза_2	0,15	0,60	0,41
Сила личности	-0,15	0,34	-0,12
IN1 Количественные отноше-ния	0,38	-0,12	0,18
IN2 Сложные аналогии	0,19	0,34	0,15
Контрольная шкала L	-0,40	0,38	-0,24
Контрольная шкала F	0,29	-0,67	-0,18
Контрольная шкала K	0,73	-0,02	0,66
1-Ипохондрия	0,40	-0,41	0,21
2-Депрессия	-0,31	0,70	-0,11
3-Истероидность	0,86	-0,28	0,52

4-Психопатичность	1,00	-0,45	0,64
5-Феминизированность	-0,45	1,00	0,04
6-Паранойяльность	0,64	0,04	1,00
7-Психастеничность	0,79	0,01	0,63
8-Шизоидность	0,77	-0,44	0,67
9-Маниакальность	0,01	-0,56	-0,11
0-Интровертированность	-0,80	0,32	-0,56
LOD	-0,78	0,73	-0,20
Pole_X+Y 2017-20	0,21	0,54	0,35

	4-Психопатичность	5-Феминизированность	6-Параноя льность

	7-Психастеничность	8-Шизоидность	9-Маниакальность	0-Интровертированность
Логический ряд	-0,16	-0,09	-0,17	-0,24
Рисунки	0,88	0,75	-0,07	-0,77
Фотографии	0,47	0,52	-0,12	-0,72
Событие	0,48	0,44	0,08	-0,36
И-1	0,23	0,14	-0,03	0,07
Откр.Глаза_1	0,47	0,20	-0,24	-0,09
И-2	0,19	-0,31	-0,41	0,27
Закрыт.Глаза_1	0,22	-0,12	-0,15	0,29
И-3	0,33	0,18	-0,15	-0,01
Логический ряд	0,67	0,52	-0,04	-0,30
И-4	0,60	0,29	-0,23	-0,13
Рисунки	0,12	0,06	0,01	0,17
И-5	0,10	0,03	-0,09	0,15
Фотографии	0,08	0,03	0,06	0,22

И-6	0,20	0,25	0,16	0,00
Событие	0,16	0,17	0,08	0,07
И-7	0,24	0,02	-0,17	0,10
Моцарт_Закр.Глаза_2	0,63	0,34	-0,14	-0,16
Сила личности	0,27	-0,05	-0,57	-0,18
IN1 Количественные отношения	0,20	0,04	-0,54	-0,51
IN2 Сложные аналогии	0,21	-0,20	-0,78	-0,29
Контрольная шкала L	0,11	0,04	-0,14	-0,08
Контрольная шкала F	-0,16	-0,01	0,59	0,22
Контрольная шкала K	0,88	0,71	-0,36	-0,87
1-Ипохондрия	0,53	0,80	0,23	-0,61
2-Депрессия	0,14	-0,36	-0,31	0,48
3-Истероидность	0,87	0,77	-0,30	-0,92
4-Психопатичность	0,79	0,77	0,01	-0,80
5-Феминизированность	0,01	-0,44	-0,56	0,32
6-Паранойяльность	0,63	0,67	-0,11	-0,56
7-Психастеничность	1,00	0,76	-0,23	-0,77
8-Шизоидность	0,76	1,00	0,23	-0,83
9-Маниакальность	-0,23	0,23	1,00	0,19
0-Интровертированность	-0,77	-0,83	0,19	1,00
LOD	-0,51	-0,67	-0,28	0,59
Pole_X+Y 2017-20	0,43	-0,08	-0,34	0,13

	7-Психастеничность	8-Шизоидность	9-Маниакальность	0-Интровертированность

Приложение 6. Корреляции между частотами ЭЭГ в точках съема (перед началом обследования, при решении сложных логических задач и при работе с рисунками) и данными семантического дифференциала, ответы на который получены за несколько дней до обследования

6.1 Корреляции между частотами ЭЭГ в точках съема перед началом обследования (закрытые глаза) и данными семантического дифференциала, ответы на который получены за несколько дней до обследования

Закрытые глаза в начале обследования/ частота ЭЭГ

Смыслы жизне-деятельности	O2	O1	P4	P3	C4	C3	F4	F3	ЭЭГ
Власть	0,07	0,01	0,06	0,03	0,05	0,02	0,05	-0,01	-0,08
Деньги	0,10	0,08	0,06	0,06	0,02	0,02	0,02	0,00	-0,08
Жизнь	0,09	0,06	0,06	0,05	0,04	0,07	0,03	0,00	-0,05
Закон	0,09	0,04	0,06	0,02	0,06	0,02	0,06	0,03	-0,05
Зеленый человечек	0,01	0,01	-0,01	0,00	-0,02	0,00	0,00	-0,01	0,02
Картин-ка_Коррупция	-0,06	-0,01	0,01	0,02	0,06	0,06	-0,01	0,01	0,06
Конфликт	0,02	0,03	0,04	0,01	0,07	0,06	-0,02	-0,01	0,04
Коррупция	-0,06	-0,01	0,01	0,02	0,06	0,06	-0,01	0,01	0,06
Красный челове-чек	-0,08	-0,04	-0,05	-0,02	0,00	-0,01	-0,01	0,01	0,03
Любовь	0,05	0,01	0,07	-0,01	0,06	0,02	0,01	-0,03	-0,08
Ненависть	-0,10	-0,08	-0,06	-0,05	-0,02	-0,02	-0,07	-0,03	0,00
Не подмажешь, не поедешь	0,09	0,05	0,06	0,03	0,05	0,05	0,07	0,02	-0,08
Лучше бедность, да честность	0,00	0,00	-0,02	0,02	-0,03	0,01	-0,04	0,01	0,02
Профессионализм	0,11	0,06	0,05	0,04	0,04	0,02	0,07	0,02	-0,07
Работа	0,09	0,05	0,04	0,03	0,03	0,01	0,06	0,00	-0,06

Семья	**0,06**	**0,02**	**0,02**	**0,00**	**0,01**	**0,01**	**0,03**	**-0,02**	**-0,07**
Служение обще-ству	**0,10**	**0,04**	**0,08**	**0,03**	**0,06**	**0,03**	**0,06**	**0,02**	**-0,08**
Смерть	**-0,01**	**0,02**	**0,01**	**0,02**	**0,02**	**0,04**	**0,04**	**0,05**	**0,08**
Флаг_ЛГБТ	**0,19**	**0,18**	**0,19**	**0,18**	**0,17**	**0,20**	**0,14**	**0,11**	**0,05**
Честность	**0,10**	**0,03**	**0,04**	**0,02**	**0,03**	**0,05**	**0,02**	**-0,01**	**-0,06**
Я в идеале	**0,09**	**0,04**	**0,05**	**0,03**	**0,02**	**0,02**	**0,03**	**-0,01**	**-0,05**
Я реальный	**0,12**	**0,08**	**0,07**	**0,05**	**0,03**	**0,04**	**0,05**	**0,04**	**-0,05**
Власть	-0,01	0,03	-0,02	0,04	-0,02	0,05	-0,03	0,02	0,02

6.2 Корреляции между частотами ЭЭГ в точках съема при решении сложных логических задач и данными семантического дифференциала, ответы на который получены за несколько дней до обследования

	ЛОГИКА								
	O2	O1	P4	P3	C4	C3	F4	F3	ЭКГ
Власть	**-0,01**	**-0,03**	**-0,02**	**-0,03**	**0,01**	**0,00**	**0,07**	**0,03**	**-0,05**
Деньги	**0,06**	**0,02**	**0,04**	**0,03**	**0,01**	**0,01**	**0,07**	**0,04**	**-0,02**
Жизнь	**0,05**	**0,01**	**0,00**	**0,01**	**-0,02**	**-0,01**	**0,05**	**0,03**	**0,03**
Закон	**0,06**	**0,03**	**0,00**	**0,02**	**-0,02**	**0,02**	**0,03**	**0,03**	**0,01**
Зеленый человечек	**0,05**	**0,01**	**0,01**	**-0,02**	**-0,01**	**-0,01**	**-0,01**	**0,00**	**0,02**
Картин-ка_Коррупция	**-0,05**	**-0,01**	**0,01**	**0,01**	**0,07**	**0,04**	**0,00**	**0,02**	**0,00**
Конфликт	**-0,02**	**0,00**	**0,07**	**0,03**	**0,06**	**0,01**	**-0,04**	**-0,05**	**-0,02**
Коррупция	**-0,05**	**-0,01**	**0,01**	**0,01**	**0,07**	**0,04**	**0,00**	**0,02**	**0,00**
Красный челове-чек	**-0,09**	**-0,01**	**-0,09**	**-0,05**	**-0,01**	**-0,02**	**0,01**	**0,01**	**0,00**
Любовь	**0,01**	**0,00**	**0,03**	**-0,01**	**0,04**	**0,01**	**0,03**	**0,00**	**-0,07**
Ненависть	**-0,08**	**-0,06**	**-0,02**	**-0,04**	**0,04**	**-0,01**	**-0,05**	**-0,04**	**-0,04**
Не подмажешь, не поедешь	**0,06**	**0,05**	**0,03**	**0,03**	**0,01**	**0,04**	**0,08**	**0,09**	**-0,02**
Лучше бедность,	**-0,08**	**-0,07**	**-0,05**	**-0,04**	**-0,02**	**-0,03**	**-0,07**	**-0,02**	**0,00**

да честность									
Профессионализм	**0,09**	**0,06**	**0,03**	**0,05**	**0,02**	**0,04**	**0,08**	**0,07**	**0,00**
Работа	**0,08**	**0,05**	**0,02**	**0,04**	**0,01**	**0,03**	**0,06**	**0,05**	**0,02**
Семья	**0,05**	**0,01**	**-0,01**	**-0,04**	**-0,02**	**-0,04**	**0,04**	**0,01**	**-0,01**
Служение обществу	**0,06**	**0,05**	**0,00**	**-0,01**	**0,00**	**-0,01**	**0,07**	**0,06**	**-0,01**
Смерть	**-0,04**	**-0,01**	**0,00**	**0,01**	**0,03**	**0,02**	**0,00**	**0,02**	**0,02**
Флаг_ЛГБТ	**0,05**	**0,06**	**0,05**	**0,07**	**0,05**	**0,09**	**0,07**	**0,07**	**0,07**
Честность	**0,06**	**0,03**	**-0,01**	**0,00**	**-0,03**	**-0,01**	**0,03**	**0,04**	**0,02**
Я в идеале	**0,07**	**0,02**	**0,02**	**-0,01**	**-0,03**	**-0,05**	**0,02**	**0,01**	**0,04**
Я реальный	**0,10**	**0,07**	**0,05**	**0,03**	**0,01**	**0,00**	**0,09**	**0,05**	**0,05**
Власть	**0,05**	**0,05**	**0,01**	**0,02**	**-0,05**	**-0,02**	**-0,06**	**-0,01**	**0,04**

6.3 Корреляции между частотами ЭЭГ в точках съема в период работы с рисунками и данными семантического дифференциала, ответы на который получены за несколько дней до обследования

	РИСУНОК								
	O2	O1	P4	P3	C4	C3	F4	F3	ЭКГ
Власть	**-0,02**	**-0,03**	**-0,03**	**-0,02**	**-0,03**	**0,01**	**0,02**	**0,02**	**-0,02**
Деньги	**0,04**	**0,00**	**0,00**	**0,01**	**-0,04**	**0,02**	**-0,01**	**0,02**	**-0,02**
Жизнь	**0,02**	**-0,01**	**-0,02**	**-0,01**	**-0,04**	**0,00**	**0,01**	**0,04**	**0,00**
Закон	**0,01**	**0,00**	**-0,04**	**-0,02**	**-0,06**	**-0,01**	**-0,04**	**0,00**	**-0,01**
Зеленый человечек	**0,02**	**0,00**	**-0,03**	**-0,04**	**-0,03**	**-0,01**	**-0,02**	**0,01**	**0,02**
Картинка_Коррупция	**-0,01**	**0,02**	**0,02**	**0,02**	**0,07**	**0,03**	**0,05**	**0,04**	**0,01**
Конфликт	**0,03**	**0,06**	**0,10**	**0,06**	**0,07**	**0,02**	**0,00**	**0,00**	**-0,01**
Коррупция	**-0,01**	**0,02**	**0,02**	**0,02**	**0,07**	**0,03**	**0,05**	**0,04**	**0,01**
Красный человечек	**-0,05**	**0,00**	**-0,05**	**-0,03**	**0,03**	**-0,01**	**0,00**	**-0,01**	**0,01**
Любовь	**-0,01**	**-0,03**	**-0,01**	**-0,02**	**0,00**	**0,03**	**0,02**	**0,04**	**-0,08**
Ненависть	**-0,07**	**0,00**	**-0,01**	**0,03**	**0,04**	**0,04**	**-0,03**	**-0,01**	**-0,01**

Не подмажешь, не поедешь	**0,05**	**0,02**	**0,03**	**0,00**	**0,02**	**0,03**	**0,05**	**0,04**	**-0,02**
Лучше бедность, да честность	**-0,10**	**-0,07**	**-0,05**	**-0,03**	**-0,04**	**-0,05**	**-0,07**	**-0,03**	**0,02**
Профессионализм	**0,09**	**0,03**	**0,01**	**0,12**	**-0,02**	**0,03**	**0,02**	**0,03**	**0,01**
Работа	**0,07**	**0,02**	**-0,01**	**0,01**	**-0,04**	**0,02**	**0,00**	**0,02**	**0,01**
Семья	**0,04**	**-0,01**	**-0,02**	**-0,05**	**-0,05**	**-0,03**	**0,01**	**0,00**	**-0,03**
Служение обществу	**0,05**	**0,02**	**-0,01**	**-0,01**	**-0,03**	**0,01**	**0,01**	**0,01**	**-0,01**
Смерть	**0,02**	**0,06**	**0,03**	**0,05**	**0,05**	**0,04**	**0,03**	**0,03**	**0,03**
Флаг_ЛГБТ	**-0,01**	**-0,02**	**-0,01**	**-0,03**	**-0,02**	**-0,04**	**-0,02**	**-0,02**	**0,03**
Честность	**0,04**	**0,01**	**-0,01**	**-0,01**	**-0,05**	**-0,02**	**0,00**	**0,02**	**0,01**
Я в идеале	**0,04**	**-0,02**	**-0,01**	**-0,04**	**-0,06**	**-0,04**	**-0,02**	**0,01**	**0,02**
Я реальный	**0,07**	**0,01**	**0,00**	**-0,02**	**-0,06**	**-0,04**	**0,02**	**0,00**	**0,04**
Власть	**0,02**	**0,02**	**-0,01**	**0,00**	**-0,04**	**-0,03**	**-0,08**	**-0,05**	**-0,01**

Приложение 7. Коэффициенты корреляции между частотой ЭЭГ в разных точках съема и маркерами космических энергий в этот день при отдыхе с закрытыми глазами, выполнении сложных логических заданий, работы с рисунками, фотографиями, при воссоздании важных эмоциональных событий на жизненном пути, при отдыхе под музыку Моцарта

Маркерами космических энергий являются:

X+Y - сумма значений координат расположения географического северного полюса

10 (XY) + ЧВ/50 – сумма десятикратно увеличенного значение координат расположения географического северного полюса (X+Y) и числа Вольфа, деленого на 50. Это эмпирически подобранный маркер соотношения грависпиновых и электромагнитных космических энергий. Он прогностичен для развитие стран, людей для которых благоприятно сочетание высоких электромагнитных и грависпиновых космических энергий, косвенно оцениваемых по движению координат Северного полюса.

10 (XY) - ЧВ/50 - сумма десятикратно увеличенного значения координат расположения географического северного полюса (X+Y) и числа Вольфа, деленого на 50. Это эмпирически подобранный маркер соотношения грависпиновых и электромагнитных космических энергий. Он прогностичен на развитие стран, людей для которых благоприятно сочетание низких электромагнитных и высоких грависпиновых космических энергий, косвенно оцениваемых по движению координат Северного полюса.

LOD – отклонение длительности земных суток от средних значений за десятилетия с момента начала их точного измерения (1962 г.).

LOD+ЧВ/50 – сумма длительности земных суток и числа Вольфа, деленого на 50. Это эмпирически подобранный маркер соотношения грависпиновых и электромагнитных космических энергий. Он прогностичен для развитие стран, людей для которых благоприятно сочетание высоких электромагнитных и грависпиновых космических энергий, косвенно оцениваемых по скорости вращения Земли.

LOD-ЧВ/50 – разница между длительностью земных суток и числа Вольфа, деленого на 50. Это эмпирически подобранный маркер соотношения грависпиновых и электромагнитных космических энергий. Он

прогностичен для развития стран, людей для которых благоприятно сочетание низких электромагнитных и высоких грависпиновых космических энергий, косвенно оцениваемых по скорости вращения Земли.

	X+У	10(XY)+ЧВ /50)	10(XY)-ЧВ/50)	LOD	LOD+ЧВ/50	LOD-ЧВ/50	Число Воль-фа
	Исходная частота ЭЭГ, закрытые глаза						
O2	-0,09	-0,14	-0,04	-0,09	-0,10	-0,07	-0,07
O1	-0,11	-0,15	-0,06	-0,07	-0,08	-0,04	-0,08
P4	-0,12	-0,16	-0,07	-0,05	-0,07	-0,03	-0,06
P3	-0,13	-0,17	-0,08	-0,03	-0,06	0,00	-0,09
C4	-0,07	-0,11	-0,02	-0,06	-0,07	-0,02	-0,08
C3	-0,07	-0,11	-0,02	-0,05	-0,07	-0,02	-0,08
F4	-0,15	-0,17	-0,12	0,04	0,02	0,06	-0,03
F3	-0,13	-0,15	-0,10	0,05	0,02	0,07	-0,04
ЭКГ	0,10	0,06	0,13	-0,15	-0,18	-0,10	-0,14
	Выполнение задания «Сложные аналогии», частота ЭЭГ						
O2	-0,10	-0,14	-0,05	-0,05	-0,07	-0,01	-0,07
O1	-0,04	-0,08	0,00	-0,09	-0,10	-0,06	-0,09
P4	-0,04	-0,09	0,01	-0,10	-0,12	-0,06	-0,09
P3	-0,01	-0,07	0,04	-0,14	-0,16	-0,10	-0,12
C4	0,00	-0,04	0,04	-0,08	-0,10	-0,05	-0,09
C3	0,03	-0,03	0,07	-0,13	-0,15	-0,09	-0,12
F4	-0,10	-0,12	-0,08	0,00	-0,01	0,01	-0,02
F3	-0,05	-0,08	-0,03	-0,02	-0,04	0,00	-0,05
ЭКГ	0,04	0,01	0,07	-0,09	-0,11	-0,05	-0,11
	Работа с рисунками, частота ЭЭГ						
O2	-0,04	-0,11	0,02	-0,12	-0,16	-0,06	-0,17
O1	-0,01	-0,06	0,03	-0,14	-0,16	-0,10	-0,13
P4	0,00	-0,07	0,06	-0,17	-0,20	-0,11	-0,17
P3	0,02	-0,04	0,07	-0,20	-0,21	-0,16	-0,13
C4	0,00	-0,05	0,05	-0,13	-0,16	-0,07	-0,17
C3	0,05	0,01	0,09	-0,17	-0,18	-0,14	-0,12
F4	-0,06	-0,08	-0,03	-0,05	-0,06	-0,04	-0,07

F3	-0,05	-0,07	-0,03	-0,04	-0,05	-0,03	-0,04
ЭКГ	0,05	0,02	0,07	-0,11	-0,12	-0,09	-0,07
	Работа с фотографиями, частота ЭЭГ						
O2	0,00	-0,07	0,08	-0,19	-0,23	-0,12	-0,21
O1	0,02	-0,04	0,07	-0,18	-0,20	-0,14	-0,14
P4	0,03	-0,04	0,10	-0,23	-0,26	-0,17	-0,19
P3	0,03	-0,03	0,09	-0,22	-0,22	-0,19	-0,11
C4	0,03	-0,03	0,08	-0,19	-0,21	-0,14	-0,16
C3	0,02	-0,03	0,07	-0,19	-0,19	-0,16	-0,11
F4	-0,05	-0,08	-0,02	-0,08	-0,09	-0,07	-0,06
F3	-0,04	-0,06	-0,02	-0,06	-0,05	-0,06	0,00
ЭКГ	0,02	0,01	0,03	-0,04	-0,05	-0,02	-0,04
	Эмоциональное событие (конфликт) в прошлом, частота ЭЭГ						
O2	-0,02	-0,07	0,03	-0,09	-0,13	-0,04	-0,14
O1	-0,02	-0,07	0,01	-0,09	-0,11	-0,05	-0,11
P4	0,00	-0,06	0,06	-0,16	-0,19	-0,10	-0,16
P3	0,00	-0,05	0,05	-0,14	-0,15	-0,10	-0,10
C4	-0,01	-0,05	0,03	-0,10	-0,12	-0,06	-0,12
C3	0,02	-0,02	0,06	-0,12	-0,13	-0,09	-0,09
F4	-0,03	-0,05	0,00	-0,04	-0,05	-0,03	-0,06
F3	0,00	-0,02	0,01	-0,05	-0,05	-0,04	-0,02
ЭКГ	-0,01	-0,02	0,01	-0,03	-0,04	-0,01	-0,03
	Отдых, музыка Моцарта, частота ЭЭГ						
O2	-0,02	-0,08	0,03	-0,14	-0,16	-0,09	-0,13
O1	-0,04	-0,09	0,01	-0,13	-0,15	-0,09	-0,13
P4	-0,02	-0,07	0,03	-0,14	-0,16	-0,10	-0,12
P3	-0,06	-0,11	-0,01	-0,12	-0,15	-0,08	-0,13
C4	-0,02	-0,07	0,02	-0,11	-0,13	-0,07	-0,12
C3	-0,05	-0,10	0,01	-0,15	-0,16	-0,11	-0,12
F4	-0,10	-0,12	-0,07	0,01	-0,01	0,04	-0,07
F3	-0,06	-0,09	-0,03	-0,03	-0,05	0,01	-0,08
ЭКГ	0,07	0,04	0,09	-0,10	-0,11	-0,06	-0,10

АМПЛИТУДА

	X+У	10(XY)+ЧВ/50)	10(XY)-ЧВ/50)	LOD	LOD+ЧВ/50	LOD-ЧВ/50	Число Вольфа
	Исходная частота ЭЭГ, закрытые глаза, амплитуда ЭЭГ						
O2	0,10	0,13	0,06	0,01	0,03	-0,02	0,06
O1	0,12	0,14	0,09	-0,04	-0,01	-0,06	0,04
P4	0,09	0,14	0,05	0,05	0,08	0,01	0,10
P3	0,13	0,16	0,09	-0,02	0,00	-0,05	0,06
C4	0,05	0,08	0,01	0,06	0,08	0,02	0,09
C3	0,06	0,10	0,02	0,07	0,10	0,04	0,10
F4	0,09	0,11	0,06	-0,01	0,01	-0,03	0,05
F3	0,04	0,05	0,02	0,00	0,01	-0,01	0,04
ЭКГ	-0,10	-0,05	-0,14	0,20	0,22	0,14	0,17
	ЛОГИКА Сложные аналогии, логическое задание. Амплитуда ЭЭГ						
O2	0,05	0,06	0,03	0,03	0,04	0,01	0,03
O1	0,05	0,06	0,03	0,01	0,02	0,00	0,02
P4	0,03	0,06	0,00	0,08	0,09	0,06	0,06
P3	0,00	0,04	-0,03	0,10	0,11	0,08	0,07
C4	0,00	0,02	-0,03	0,08	0,09	0,06	0,07
C3	-0,04	-0,01	-0,06	0,11	0,12	0,08	0,08
F4	0,08	0,08	0,06	0,00	0,00	0,00	-0,01
F3	0,06	0,07	0,05	0,01	0,01	0,01	0,00
ЭЭГ	-0,08	-0,01	-0,13	0,21	0,24	0,14	0,20
	РИСУНОК. Амплитуда ЭЭГ						
O2	0,02	0,08	-0,04	0,11	0,15	0,05	0,17
O1	0,01	0,07	-0,03	0,12	0,15	0,07	0,14
P4	0,00	0,06	-0,06	0,16	0,19	0,10	0,18
P3	-0,02	0,03	-0,07	0,17	0,19	0,12	0,14
C4	-0,01	0,05	-0,06	0,13	0,17	0,07	0,17
C3	-0,05	-0,01	-0,09	0,16	0,17	0,12	0,11
F4	0,05	0,08	0,03	0,06	0,07	0,04	0,07
F3	0,07	0,08	0,05	0,04	0,04	0,03	0,02
ЭЭГ	-0,08	-0,03	-0,13	0,20	0,22	0,15	0,16
	Работа с фотографиями, амплитуда ЭЭГ						

O2	-0,02	0,06	-0,08	0,17	0,22	0,10	0,21
O1	-0,01	0,05	-0,07	0,15	0,19	0,09	0,17
P4	-0,04	0,03	-0,11	0,23	0,26	0,15	0,22
P3	-0,04	0,02	-0,10	0,22	0,24	0,16	0,16
C4	-0,03	0,03	-0,09	0,21	0,23	0,15	0,19
C3	-0,04	0,02	-0,09	0,20	0,21	0,15	0,15
F4	0,06	0,09	0,02	0,09	0,10	0,06	0,07
F3	0,07	0,09	0,05	0,05	0,04	0,04	0,01
ЭЭГ	-0,05	-0,02	-0,09	0,14	0,16	0,10	0,13
	СОБЫТИЕ (конфликт в прошлом), значение амплитуды ЭЭГ						
O2	0,01	0,07	-0,04	0,12	0,15	0,06	0,16
O1	0,00	0,05	-0,04	0,10	0,13	0,06	0,12
P4	-0,03	0,04	-0,09	0,18	0,22	0,12	0,19
P3	-0,04	0,02	-0,08	0,17	0,19	0,13	0,13
C4	-0,02	0,03	-0,06	0,14	0,16	0,09	0,14
C3	-0,04	0,00	-0,08	0,14	0,15	0,11	0,11
F4	0,04	0,07	0,01	0,06	0,08	0,04	0,07
F3	0,03	0,04	0,02	0,03	0,03	0,02	0,02
ЭЭГ	-0,04	0,00	-0,08	0,15	0,17	0,11	0,13
	ОТДЫХ, музыка Моцарта, амплитуда ЭЭГ						
O2	0,08	0,12	0,04	0,02	0,05	-0,03	0,12
O1	0,10	0,13	0,06	0,01	0,03	-0,03	0,09
P4	0,04	0,09	-0,01	0,10	0,13	0,05	0,14
P3	0,08	0,12	0,04	0,05	0,07	0,01	0,11
C4	0,02	0,06	-0,03	0,13	0,16	0,07	0,16
C3	0,05	0,10	0,00	0,11	0,13	0,07	0,13
F4	0,11	0,13	0,08	-0,02	0,00	-0,05	0,07
F3	0,09	0,11	0,06	0,00	0,02	-0,03	0,07
ЭЭГ	-0,08	-0,03	-0,12	0,18	0,20	0,13	0,15

Приложение 8. Сравнительные значения коэффициентов корреляции между частотами ЭЭГ в точках съема в 2017-2020 и 2004-2014 годах

Корреляции между частотами ЭЭГ при отдыхе с закрытыми глазами в начале обследования. Сравнение данных, полученных в 2017-20 и 2004-14 годах										
		O2	O1	P4	P3	C4	C3	F4	F3	ЭКГ
2017/20	O2	1	0,78	0,84	0,7	0,6	0,51	0,54	0,52	0,25
2004-14	**O2**	1,00	0,82	0,63	0,60	0,69	0,56	0,54	0,50	0,18
2017-20	O1	0,78	1	0,74	0,86	0,57	0,6	0,56	0,57	0,23
2004-14	**O1**	0,82	1,00	0,56	0,72	0,61	0,70	0,47	0,55	0,18
2017-20	P4	0,84	0,74	1	0,8	0,77	0,63	0,58	0,54	0,21
2004-14	**P4**	0,63	0,56	1,00	0,70	0,75	0,58	0,62	0,51	0,13
2017-20	P3	0,7	0,86	0,8	1	0,7	0,78	0,56	0,58	0,2
2004-14	**P3**	0,60	0,72	0,70	1,00	0,68	0,81	0,59	0,70	0,14
2017-20	C4	0,6	0,57	0,77	0,7	1	0,74	0,6	0,51	0,18
2004-14	**C4**	0,69	0,61	0,75	0,68	1,00	0,78	0,81	0,70	0,18
2017-20	C3	0,51	0,6	0,63	0,78	0,74	1	0,53	0,54	0,2
2004-14	**C3**	0,56	0,70	0,58	0,81	0,78	1,00	0,68	0,82	0,20
2017-20	F4	0,54	0,56	0,58	0,56	0,6	0,53	1	0,83	0,15
2004-14	**F4**	0,54	0,47	0,62	0,59	0,81	0,68	1,00	0,83	0,11
2017-20	F3	0,52	0,57	0,54	0,58	0,51	0,54	0,83	1	0,17
2004-14	**F3**	0,50	0,55	0,51	0,70	0,70	0,82	0,83	1,00	0,11
2017-20	ЭКГ	0,25	0,23	0,21	0,2	0,18	0,2	0,15	0,17	1
2004-14	**ЭКГ**	0,18	0,18	0,13	0,14	0,18	0,20	0,11	0,11	1,00

Наш мозг устроен мудро. Когда есть нужные для нашего процветания космические энергии – выше активность тех его отделов, которые лучше резонируют с космическими энергиями (точки Р, С). Когда космические энергии не способствуют нашей активности – больше полагаемся на инстинкты, на способности

прогнозировать обстановку самим человеком - на работу передних отделов головного мозга (точки F).

Частота в точках F лучше коррелирует с тестами, которые берут социальную составляющую личности (биографический тест Бэмкон). Зоны головного мозга, которые лучше коррелируют с космическими энергиями, отделены функционально от зон, которые анализируют окружающую реальность. И т.д.

Приложение 9. Корреляционные матрицы связи маркеров космических энергий с частотой ЭЭГ в каждой точке головного мозга в день обследования (сравнение данных 2004-2014 и 2017-2020 годов)

9.1 Корреляционная матрица связи маркеров космических энергий с частотой ЭЭГ в каждой точке головного мозга в 2004-2014 годах

2004-2014 1002 человека	Х+У	10(XY)+ЧВ/50)	10(XY)-ЧВ/50)	LOD	LOD+ЧВ/50	LOD-ЧВ/50	Число Вольфа
O2	-0,02	-0,07	0,06	-0,03	-0,11	0,07	-0,11
O1	-0,04	-0,09	0,05	-0,05	-0,13	0,08	-0,13
P4	0,02	-0,06	0,11	-0,07	-0,16	0,08	-0,14
P3	0,01	-0,08	0,13	-0,08	-0,19	0,10	-0,17
C4	-0,02	-0,12	0,11	0,01	-0,16	0,18	-0,20
C3	0,01	-0,09	0,13	-0,03	-0,17	0,14	-0,18
F4	0,00	-0,10	0,13	0,04	-0,14	0,19	-0,20
F3	0,01	-0,08	0,13	0,01	-0,15	0,16	-0,18
ЭКГ	-0,05	-0,05	-0,04	0,02	-0,01	0,02	-0,02

9.2. Корреляционная матрица связи маркеров космических энергий с частотой ЭЭГ в каждой точке головного мозга в 2017-2020 годах

2017-2020 гг.	Х+У	10(XY)+ЧВ/50)	10(XY)-ЧВ/50)	LOD	LOD+ЧВ/50	LOD-ЧВ/50	Число Вольфа
O2	-0,09	-0,14	-0,04	-0,09	-0,1	-0,07	-0,07
O1	-0,11	-0,15	-0,06	-0,07	-0,08	-0,04	-0,08
P4	-0,12	-0,16	-0,07	-0,05	-0,07	-0,03	-0,06
P3	-0,13	-0,17	-0,08	-0,03	-0,06	0	-0,09

C4	**-0,07**	**-0,11**	**-0,02**	**-0,06**	**-0,07**	**-0,02**	**-0,08**
C3	**-0,07**	**-0,11**	**-0,02**	**-0,05**	**-0,07**	**-0,02**	**-0,08**
F4	**-0,15**	**-0,17**	**-0,12**	**0,04**	**0,02**	**0,06**	**-0,03**
F3	**-0,13**	**-0,15**	**-0,1**	**0,05**	**0,02**	**0,07**	**-0,04**
ЭКГ	**0,1**	**0,06**	**0,13**	**-0,15**	**-0,18**	**-0,1**	**-0,14**

9.3. Корреляции между корреляционными матрицами связи маркеров космических энергий с частотой ЭЭГ в каждой точке головного мозга (сравнение данных 2004-2014 и 2017-2020 годов)

R 2004-14/2017-20 гг.	R =
O2	0,55
O1	0,57
P4	0,11
P3	0,20
C4	0,84
C3	0,79
F4	0,17
F3	0,14

9.4 Степень устойчивости корреляций между частотой ЭЭГ в каждой точке головного мозга в день обследования при разных космических энергиях в 2004-14 и 2017-2020 годах

Маркер	Коэффициенты корреляции между данными 2004-14 и 2016-20 годах
Pole_X+У	-0,74
10(XY)+ЧВ/50)	0,44
10(XY)-ЧВ/50)	-0,82
LOD	0,21
LOD+ЧВ/50	-0,66
LOD-ЧВ/50	0,83
Число Вольфа	-0,73

Устойчивость корреляций с числами Вольфа имеет отрицательный знак. И чего удивляться? Ведь солнечная активность резко упала в 2017-20 годах.

Приложение 10. Среднегодовое значение использованных маркеров космических энергий с 1973 года, ВВП России с 1990 года и коэффициенты корреляции между ними

10.1. Коэффициенты корреляции между темпами роста ВВП в России и среднегодовыми значениями использованных маркеров космических энергий

	R с ВВП России
LOD	-0,71
Pole_X+Y	0,22
Число Вольфа	0,00
Число Вольф/50	0,00
10*Pole_X+Y	-0,20
10(XY)+ЧВ/50)	0,10
10(XY)-ЧВ/50)	0,08
LOD+ЧВ/50	-0,58
LOD-ЧВ/50	-0,35
Rx+y/LOD за месяц	0,33

10.2 Использованные среднегодовые значения маркеров космических энергий с 1973 года, ВВП России

	LOD	Pole_X+Y	Числа Вольфа	Числа Вольфа/50	10*Pole _X+Y	10(XY)+ ЧВ/50)
1973	3,05	0,20	38,15	0,76	2,03	2,79
1974	2,72	0,24	34,42	0,69	2,39	3,08
1975	2,69	0,14	15,46	0,31	1,37	1,68
1976	2,91	0,32	12,53	0,25	3,16	3,41
1977	2,77	0,30	27,55	0,55	2,99	3,54
1978	2,88	0,29	92,49	1,85	2,88	4,73
1979	2,61	0,25	155,22	3,10	2,53	5,64
1980	2,30	0,28	155,48	3,11	2,83	5,93

1981	2,15	0,29	140,48	2,81	2,85	5,66
1982	2,16	0,31	116,29	2,33	3,13	5,46
1983	2,28	0,37	64,97	1,30	3,71	5,00
1984	1,51	0,37	46,22	0,92	3,67	4,59
1985	1,45	0,32	17,94	0,36	3,23	3,58
1986	1,24	0,34	13,40	0,27	3,36	3,63
1987	1,36	0,29	29,22	0,58	2,86	3,45
1988	1,31	0,34	99,03	1,98	3,40	5,38
1989	1,52	0,37	218,51	4,37	3,71	8,08
1990	1,95	0,41	195,68	3,91	4,13	8,04
1991	2,04	0,38	217,28	4,35	3,78	8,13
1992	2,22	0,28	137,08	2,74	2,81	5,55
1993	2,36	0,30	79,25	1,59	3,03	4,62
1994	2,19	0,36	46,48	0,93	3,57	4,50
1995	2,31	0,41	28,85	0,58	4,12	4,69
1996	1,82	0,41	13,53	0,27	4,10	4,37
1997	1,84	0,34	30,55	0,61	3,36	3,97
1998	1,37	0,36	88,21	1,76	3,61	5,38
1999	0,99	0,34	136,07	2,72	3,36	6,08
2000	0,72	0,34	173,08	3,46	3,40	6,86
2001	0,57	0,39	170,19	3,40	3,94	7,35
2002	0,48	0,43	176,75	3,54	4,29	7,83
2003	0,27	0,42	109,02	2,18	4,23	6,41
2004	0,31	0,42	68,79	1,38	4,24	5,61
2005	0,43	0,36	48,60	0,97	3,61	4,59
2006	0,81	0,39	26,08	0,52	3,85	4,37
2007	0,84	0,43	12,70	0,25	4,25	4,50
2008	0,87	0,45	4,62	0,09	4,46	4,56
2009	0,80	0,43	4,88	0,10	4,28	4,37
2010	0,70	0,42	25,41	0,51	4,25	4,76

2011	0,76	0,37	80,32	1,61	3,67	5,28
2012	0,83	0,41	82,10	1,64	4,06	5,71
2013	1,02	0,40	96,93	1,94	3,98	5,92
2014	0,99	0,46	121,84	2,44	4,65	7,09
2015	1,25	0,46	70,45	1,41	4,62	6,03
2016	1,34	0,48	36,88	0,74	4,84	5,58
2017	1,03	0,46	19,48	0,39	4,60	4,99
2018	0,69	0,47	6,52	0,13	4,75	4,88
2019	0,39	0,47	3,62	0,07	4,70	4,78
2020	0,00	0,49	2,98	0,06	4,90	4,96

Го-ды	10(XY)+ЧВ/50)	10(XY)-ЧВ/50)	LOD+ЧВ/50	LOD-ЧВ/50	Rx+y/LOD за ме-сяц	ВВП Рос-сии
1973	2,79	1,26	3,81	2,28	0,21	
1974	3,08	1,71	3,41	2,03	-0,01	
1975	1,68	1,06	3,00	2,38	0,21	
1976	3,41	2,90	3,16	2,66	-0,19	
1977	3,54	2,44	3,33	2,22	-0,29	
1978	4,73	1,03	4,73	1,03	0,04	
1979	5,64	-0,57	5,72	-0,49	-0,23	
1980	5,93	-0,28	5,41	-0,81	-0,04	
1981	5,66	0,04	4,96	-0,66	-0,05	
1982	5,46	0,81	4,49	-0,16	0,04	
1983	5,00	2,41	3,58	0,98	0,16	
1984	4,59	2,74	2,44	0,59	-0,18	
1985	3,58	2,87	1,81	1,09	-0,10	
1986	3,63	3,09	1,50	0,97	-0,02	
1987	3,45	2,28	1,95	0,78	0,13	
1988	5,38	1,42	3,29	-0,67	-0,10	
1989	8,08	-0,66	5,89	-2,85	-0,11	ВВП

						Рос-сии
1990	8,04	0,21	5,86	-1,97	0,06	-3,16
1991	8,13	-0,56	6,38	-2,31	-0,01	-5,32
1992	5,55	0,07	4,96	-0,52	0,11	-14,61
1993	4,62	1,45	3,95	0,78	0,24	-8,62
1994	4,50	2,64	3,12	1,26	0,09	-12,54
1995	4,69	3,54	2,89	1,73	0,04	-4,12
1996	4,37	3,83	2,09	1,55	-0,39	-3,61
1997	3,97	2,75	2,45	1,23	0,10	1,57
1998	5,38	1,85	3,14	-0,39	0,03	-5,14
1999	6,08	0,64	3,71	-1,73	-0,04	6,73
2000	6,86	-0,06	4,18	-2,74	0,10	10,46
2001	7,35	0,54	3,98	-2,83	-0,04	5,55
2002	7,83	0,76	4,01	-3,06	0,06	5,18
2003	6,41	2,05	2,45	-1,91	-0,17	7,79
2004	5,61	2,86	1,69	-1,06	-0,18	7,63
2005	4,59	2,64	1,40	-0,54	0,01	6,81
2006	4,37	3,33	1,33	0,29	0,07	8,55
2007	4,50	4,00	1,10	0,59	-0,05	8,69
2008	4,56	4,37	0,96	0,77	-0,12	5,25
2009	4,37	4,18	0,90	0,71	0,06	-7,83
2010	4,76	3,74	1,21	0,19	0,13	4,45
2011	5,28	2,06	2,37	-0,84	-0,24	4,22
2012	5,71	2,42	2,47	-0,81	-0,17	3,85
2013	5,92	2,04	2,96	-0,91	-0,10	1,54
2014	7,09	2,21	3,43	-1,44	0,15	-1,05
2015	6,03	3,21	2,66	-0,15	-0,29	-2,18
2016	5,58	4,10	2,08	0,60	-0,17	0,01
2017	4,99	4,21	1,42	0,64	0,13	1,71
2018	4,88	4,61	0,82	0,56	-0,02	2,54
2019	4,78	4,63	0,46	0,31	-0,16	1,41
2020	4,96	4,84	0,06	-0,06	-0,26	-3,1

Приложение 11. Коэффициенты корреляции между частотами ЭЭГ и результатами тестирования данных людей по методике MMPI за несколько дней до обследования при высокой и низкой скорости вращения Земли в 2017-20 годах

11.1 Коэффициенты корреляции между частотами ЭЭГ и результатами тестирования данных людей по методике MMPI за несколько дней до обследования в точках максимального замедления скорости вращения Земли (5/5) дневных циклов космических энергий в 2017 – 20 годах

Тип 5/5 2016-20	O2	O1	P4	P3	C4	C3
Сила личности	0,11	0,05	0,00	0,06	-0,26	-0,03
IN1 Количественные отношения	-0,02	-0,01	0,11	0,00	0,14	0,11
IN2 Сложные аналогии	-0,16	-0,19	-0,07	-0,19	-0,06	-0,10
Контрольная шкала L	0,43	0,30	0,39	0,30	0,20	0,21
Контрольная шкала F	-0,12	0,07	-0,07	0,11	-0,01	-0,06
Контрольная шкала K	0,11	-0,13	0,12	-0,10	-0,05	-0,10
1-Ипохондрия	-0,03	-0,10	0,01	-0,13	-0,08	-0,03
2-Депрессия	0,02	0,06	-0,05	0,07	-0,12	-0,02
3-Истероидность	0,10	-0,06	0,18	-0,10	0,06	-0,03
4-Психопатичность	-0,11	-0,10	-0,07	-0,07	0,04	0,01
5-Феминизированность	-0,08	-0,10	-0,11	-0,13	-0,10	-0,27
6-Паранойяльность	-0,12	-0,02	-0,08	-0,02	-0,07	-0,06
7-Психастеничность	-0,27	-0,26	-0,33	-0,31	-0,35	-0,35
8-Шизоидность	-0,17	-0,14	-0,19	-0,09	-0,20	-0,20
9-Маниакальность	0,29	0,34	0,20	0,34	0,20	0,26

Тип 5/5 2016-20	F4	F3	ЭКГ
Сила личности	0,01	0,18	0,01
IN1 Количественные отношения	-0,08	-0,17	0,19
IN2 Сложные аналогии	-0,23	-0,28	0,03
Контрольная шкала L	0,25	0,27	0,16
Контрольная шкала F	-0,03	-0,04	-0,13
Контрольная шкала K	-0,02	0,02	0,10
1-Ипохондрия	0,19	0,12	0,10
2-Депрессия	-0,02	-0,15	-0,11

3-Истероидность	0,24	0,17	0,19
4-Психопатичность	-0,05	-0,01	0,09
5-Феминизированность	-0,09	-0,21	-0,27
6-Паранойяльность	0,01	0,01	-0,22
7-Психастеничность	-0,04	-0,07	-0,15
8-Шизоидность	-0,15	-0,07	-0,06
9-Маниакальность	0,01	0,12	0,29

11.2 Коэффициенты корреляции между частотами ЭЭГ при отдыхе с закрытыми глазами и результатами тестирования данных людей по методике MMPI за несколько дней до обследования в точках максимальной скорости вращения Земли (1/1) дневных циклов космических энергий в 2017 – 20 годах

Тип 1/1 2016-20	O2	O1	P4	P3	C4	C3
Сила личности	0,17	0,07	0,08	0,07	0,19	0,18
IN1 Количественные отношения	-0,04	0,03	0,05	0,05	-0,14	-0,11
IN2 Сложные анало-гии	0,07	-0,01	0,10	0,00	0,00	-0,02
Контрольная шкала L	-0,12	-0,08	-0,11	-0,08	-0,05	0,00
Контрольная шкала F	-0,02	-0,10	-0,12	-0,09	0,01	-0,09
Контрольная шкала K	-0,12	-0,14	-0,13	-0,15	-0,19	-0,25
1-Ипохондрия	-0,07	-0,16	-0,06	-0,17	0,06	-0,15
2-Депрессия	-0,08	-0,12	-0,09	-0,11	-0,13	-0,16
3-Истероидность	-0,10	-0,15	-0,05	-0,13	-0,06	-0,12
4-Психопатичность	-0,07	-0,16	-0,11	-0,14	-0,11	-0,17
5-Феминизированность	-0,03	-0,07	-0,01	-0,08	-0,06	-0,17
6-Паранойяльность	-0,05	-0,08	-0,08	-0,07	-0,15	-0,20
7-Психастеничность	0,08	0,01	0,03	0,03	0,03	0,00
8-Шизоидность	-0,06	-0,17	-0,14	-0,17	-0,07	-0,22
9-Маниакальность	0,02	-0,11	-0,04	-0,12	0,10	-0,05

Тип 1/1 2016-20	F4	F3	ЭКГ
Сила личности	0,12	0,10	-0,13
IN1 Количественные отношения	-0,13	-0,02	-0,01
IN2 Сложные анало-гии	-0,05	0,04	-0,14
Контрольная шкала L	0,05	0,04	-0,04

Контрольная шкала F	-0,04	-0,16	0,03
Контрольная шкала K	-0,11	0,05	0,04
1-Ипохондрия	-0,05	-0,03	-0,01
2-Депрессия	-0,09	-0,06	-0,08
3-Истероидность	-0,09	-0,01	-0,08
4-Психопатичность	-0,15	-0,06	0,03
5-Феминизированность	-0,07	-0,11	-0,06
6-Паранойяльность	-0,11	-0,19	0,01
7-Психастеничность	-0,02	0,11	-0,03
8-Шизоидность	-0,12	-0,04	0,05
9-Маниакальность	0,01	-0,14	-0,13

11.3 Коэффициенты корреляции между средними (по всем точкам съема) частотами ЭЭГ при отдыхе с закрытыми глазами и результатами тестирования данных людей по методике MMPI за несколько дней до обследования при высокой и низкой скорости вращения Земли в 2017-20 годах

	Дни типа 1/1	**Дни типа 5/5**
IN1 Количественные отношения	**-0,04**	**0,03**
IN2 Сложные аналогии	**0,00**	**-0,14**
Контрольная шкала L	**-0,04**	**0,28**
Контрольная шкала F	**-0,06**	**-0,03**
Контрольная шкала K	**-0,11**	**-0,01**
1-Ипохондрия	**-0,07**	**0,01**
2-Депрессия	**-0,10**	**-0,03**
3-Истероидность	**-0,09**	**0,08**
4-Психопатичность	**-0,10**	**-0,03**
5-Феминизированность	**-0,07**	**-0,15**
6-Паранойяльность	**-0,10**	**-0,06**
7-Психастеничность	**0,03**	**-0,23**
8-Шизоидность	**-0,10**	**-0,14**

9-Маниакальность	**-0,05**	**0,23**

Коэффициент корреляции между значениями шкал тестов MMPI в дни относительно высокой и низкой скорости вращения Земли, то есть между столбиками данной таблицы отрицательный (R = -0,15)

Видно, что усреднение данных по всем точкам съема ЭЭГ снижает значения коэффициентов корреляции. С маркером каждой космической энергией более высокие значения по абсолютной величине частота ЭЭГ в конкретных точках головного мозга.

Но если мы сравним разные выборки - получим разные коэффициенты корреляции. Чем они выше – тем оправданнее применение методик, с которыми хорошо коррелирует частота нашего головного мозга.

То есть, эффективность тех или иных тестовых методик будет разной в зависимости от космических энергий и выборки обследуемых. И оценить это можно быстро и эффективно с помощью ЭЭГ.

Приложение 12. Частоты ЭЭГ и результаты тестирования при различных сочетаниях космических энергиях в 2017-2020 годах

1/1 – тип дня по Pole_X+Y=1
5/5 - тип дня по Pole_X+Y=5

Тип задания	Точки съема	Среднее 1/1	Рост энергий, типы 2-4 LOD и Pole	Среднее 5/5	Падение энергий, 6-9 тип LOD и Pole
ИСХ отк/закр Глаза	O2	10,59	12,08	12,70	12,83
ЧАСТОТА	O1	10,19	12,36	13,30	12,90
	P4	9,90	11,11	11,73	11,94
	P3	9,82	11,64	13,55	11,87
	C4	10,36	11,35	12,31	12,14
	C3	10,26	12,22	14,73	12,27
	F4	7,39	9,35	9,43	10,02
	F3	6,87	9,87	9,81	10,07
	ЭКГ	5,08	5,16	4,29	5,21
ЛОГИКА	O2	18,05	22,84	23,06	22,47
	O1	16,37	20,72	21,00	21,28
	P4	14,87	18,37	18,49	18,39
	P3	14,53	17,19	19,19	17,42
	C4	12,56	14,92	15,18	15,22
	C3	12,13	13,50	14,45	13,50
	F4	7,32	11,27	10,69	11,04
	F3	8,35	10,53	10,29	10,79
	ЭКГ	9,51	9,89	9,11	11,00

РИСУНОК	O2	15,99	18,13	18,07	19,46
	O1	13,43	16,33	16,59	18,35
	P4	13,56	15,29	15,34	16,45
	P3	11,57	14,13	15,03	15,32
	C4	11,97	12,71	12,55	13,74
	C3	9,92	11,42	11,24	12,26
	F4	7,99	9,63	8,08	9,69
	F3	7,66	8,33	6,85	8,39
	ЭКГ	7,95	8,57	9,02	9,31

ФОТО	O2	15,06	17,45	17,23	17,88
	O1	13,91	15,78	15,35	16,79
	P4	12,36	14,21	14,08	14,35
	P3	11,54	13,15	13,72	13,44
	C4	11,02	12,33	11,96	12,45
	C3	10,37	11,48	11,48	11,60
	F4	7,20	8,61	7,57	8,88
	F3	6,88	7,43	6,34	7,56
	ЭКГ	7,89	7,79	7,67	8,63
СОБЫТИЕ	O2	14,25	16,06	15,94	17,76
	O1	13,99	14,99	15,72	16,91
	P4	12,32	13,69	13,99	14,89
	P3	11,65	13,06	14,20	14,16
	C4	10,10	10,95	10,66	12,18
	C3	9,89	10,20	10,17	11,44

	F4	7,90	8,24	7,29	8,99
	F3	7,57	7,43	6,35	7,97
	ЭКГ	8,62	8,15	8,09	8,87
ОТДЫХ	O2	12,36	14,15	15,04	14,93
	O1	12,20	14,69	15,84	14,69
	P4	11,10	12,50	12,64	12,97
	P3	11,13	13,17	14,75	12,93
	C4	12,46	12,46	12,79	12,99
	C3	11,74	13,46	15,63	13,33
	F4	10,19	11,20	11,42	11,72
	F3	9,62	11,16	12,27	11,92
	ЭКГ	4,74	4,92	4,52	4,98

ЗГ1	O2	17,37	11,69	11,73	11,03
АМПЛИТУДА	O1	17,91	11,79	12,06	11,32
	P4	14,48	11,72	11,35	10,77
	P3	14,84	11,39	10,34	11,47
	C4	13,94	11,54	11,45	10,68
	C3	15,05	11,15	9,81	10,94
	F4	21,64	15,31	15,28	15,54
	F3	23,38	15,08	15,78	15,46
	ЭКГ	25,20	26,77	29,84	25,88
ЛОГИКА	O2	9,69	6,61	7,86	6,55
	O1	9,72	7,28	7,54	7,04
	P4	10,64	7,70	7,31	7,51
	P3	10,16	8,35	7,13	8,37

	C4	11,10	9,37	8,84	8,99
	C3	13,39	10,38	9,51	10,79
	F4	22,20	13,83	15,21	15,21
	F3	19,16	14,67	15,19	15,59
	ЭЭГ	14,42	14,11	14,82	12,69
РИСУНОК	O2	9,03	7,69	7,72	6,80
	O1	10,75	8,43	8,91	7,34
	P4	10,15	8,91	8,57	8,00
	P3	11,69	9,68	9,19	8,89
	C4	11,07	10,56	10,51	9,81
	C3	14,46	11,81	12,39	11,44
	F4	17,76	14,99	17,44	14,79
	F3	19,68	17,39	20,48	17,47
	ЭЭГ	16,79	15,75	14,93	14,86
ФОТО	O2	9,26	7,65	7,79	7,37
	O1	9,91	8,52	9,12	7,91
	P4	10,84	9,36	9,28	9,15
	P3	11,54	10,11	9,86	9,87
	C4	12,13	10,85	11,04	10,72
	C3	13,56	11,87	11,99	11,63
	F4	18,54	16,49	17,46	16,05
	F3	21,62	19,23	21,22	18,51
	ЭЭГ	18,22	17,11	17,22	16,12
СОБЫТИЕ	O2	9,75	8,87	9,35	7,78
	O1	10,13	9,37	9,53	8,20
	P4	11,35	10,19	9,41	9,02
	P3	11,99	10,77	9,73	9,83

	С4	13,29	12,33	12,18	11,35
	С3	14,68	13,24	13,39	12,23
	F4	18,65	16,96	18,30	16,28
	F3	21,98	19,47	21,96	18,20
	ЭЭГ	16,59	16,72	16,18	16,10
ОТДЫХ	О2	13,06	9,66	9,83	8,89
	О1	14,09	9,25	8,59	9,05
	Р4	13,75	10,47	10,56	9,97
	Р3	13,13	9,95	8,93	10,06
	С4	11,20	10,52	10,76	10,15
	С3	12,38	10,09	9,24	9,98
	F4	16,52	13,18	12,45	12,71
	F3	17,83	13,24	12,10	12,11
	ЭЭГ	26,79	27,62	28,87	27,12

Средний балл за выполненные задания				
10-балльная шкала	Логический ряд	3,29	3,24	3,69
	Рисунки	9,58	9,10	9,13
	Фотографии	5,04	4,65	5,08
	Событие	5,41	6,28	6,62
Средняя частота ЭЭГ	И-1	9,79	9,25	9,59
	Откр.Глаза_1	11,21	10,53	11,31
	И-2	8,23	9,06	9,41

	Закрыт.Глаза_1	10,51	10,12	11,60
	И-3	13,00	13,01	13,55
	Логический ряд	15,28	15,02	16,80
	И-4	11,38	10,54	12,02
	Рисунки	12,97	12,82	13,24
	И-5	11,50	11,77	12,41
	Фотографии	12,03	12,04	12,73
	И-6	10,40	11,24	11,10
	Событие	10,85	11,77	11,20
	И-7	9,85	9,22	10,42
	Моцарт_Закр.Глаза_2	11,65	11,76	13,07

Данные тестов, выполненных за несколько дней до ЭЭГ-обследования				
Сила личности	8,68	10,00	8,93	9,05
IN1 Количественные отно-шения	7,26	7,50	6,37	6,36
IN2 Сложные аналогии	6,22	7,08	5,82	5,98
Контрольная шкала L	57,28	60,38	60,46	61,15

Контрольная шкала F	54,97	51,20	52,41	52,38
Контрольная шкала К	60,34	65,31	63,03	64,71
1-Ипохондрия	49,90	50,39	48,43	49,80
2-Депрессия	47,26	46,66	47,04	45,48
3-Истероидность	54,67	56,14	57,10	56,56
4-Психопатичность	50,61	50,42	48,71	49,22
5-Феминизированность	63,11	58,55	55,94	61,40
6-Паранойяльность	52,06	49,53	46,08	49,75
7-Психастеничность	40,91	43,09	43,02	43,44
8-Шизоидность	45,86	46,44	45,00	45,13
9-Маниакальность	57,18	52,49	53,04	55,49
0-Интровертированность	40,80	44,17	39,00	38,65

СДФ в сырых показателях Базовые шкалы любовь - ненависть					
Власть	27,65	19,64	17,71	19,76	27,65
Деньги	20,88	18,53	12,55	17,48	20,88
Жизнь	32,91	27,50	23,76	28,13	32,91
Закон	28,71	25,29	21,53	24,02	28,71
Зеленый человечек	17,92	15,12	13,01	13,44	17,92
Картинка_Коррупция	-17,63	-14,87	-10,64	-16,58	-17,63
Конфликт	-10,39	-9,43	-6,99	-9,61	-10,39
Коррупция	-19,91	-17,87	-15,84	-19,26	-19,91
Красный человечек	-20,50	-12,06	-10,47	-16,75	-20,50
Любовь	41,75	36,58	29,64	33,00	41,75
Ненависть	-27,09	-27,68	-18,46	-28,82	-27,09
Не подмажешь, не поедешь	25,08	21,19	18,65	20,41	25,08
Лучше бедность, да честность	-20,10	-15,08	-6,29	-14,61	-20,10
Профессионализм	33,78	26,84	21,74	24,90	33,78
Работа	30,63	24,26	24,14	22,76	30,63
Семья	34,07	29,44	24,45	28,25	34,07
Служение обществу	31,51	25,29	17,25	24,78	31,51

Смерть	-22,02	-17,14	-8,44	-15,53	-22,02
Флаг_ЛГБТ	4,57	4,89	10,46	5,71	4,57
Честность	32,88	27,15	24,11	26,18	32,88
Я в идеале	35,66	29,37	24,27	28,31	35,66
Я реальный	22,25	23,11	18,48	21,70	22,25
СДФ в 100-балльной шкале Базовые шкалы Любовь - ненависть					
Власть	8,44	11,17	10,48	10,07	8,44
Деньги	11,75	11,34	12,57	10,66	11,75
Жизнь	5,56	6,20	6,52	5,68	5,56
Закон	8,31	8,55	7,48	8,00	8,31
Зеленый человечек	12,00	12,14	10,43	11,93	12,00
Картинка_Коррупция	18,69	17,00	18,05	17,83	18,69
Конфликт	17,00	16,52	18,05	16,90	17,00
Коррупция	18,94	17,98	19,43	19,08	18,94
Красный человечек	18,06	16,85	16,43	18,24	18,06
Любовь	2,81	4,29	4,52	4,10	2,81
Ненависть	20,19	19,49	19,29	20,44	20,19
Не подмажешь, не поедешь	9,63	9,82	9,52	9,04	9,63
Лучше бедность, да честность	18,50	17,60	16,48	17,68	18,50

Профессионализм	5,50	7,78	8,19	7,34	5,50
Работа	7,94	8,97	6,19	8,24	7,94
Семья	6,25	5,90	6,57	5,58	6,25
Служение обществу	7,50	8,02	9,62	7,27	7,50
Смерть	18,44	17,77	17,91	17,93	18,44
Флаг_ЛГБТ	14,25	13,71	10,52	13,20	14,25
Честность	5,38	7,30	7,14	7,39	5,38
Я в идеале	8,38	6,92	6,33	5,62	8,38
Я реальный	11,25	9,61	9,76	9,63	11,25

СДФ в сырых показателях Базовые шкалы жизнь-смерть					
Власть	26,50	18,86	15,66	19,00	26,50
Деньги	20,39	17,06	9,33	16,92	20,39
Жизнь	46,63	39,33	36,24	39,94	46,63
Закон	26,28	22,02	18,25	21,55	26,28
Зеленый человечек	16,06	12,99	10,79	11,90	16,06
Картинка_Коррупция	-18,63	-11,96	-9,84	-14,44	-18,63
Конфликт	-6,42	-8,51	-6,00	-7,32	-6,42
Коррупция	-16,87	-15,65	-12,98	-16,85	-16,87
Красный человечек	-15,73	-9,46	-7,79	-14,89	-15,73
Любовь	28,62	23,58	16,44	19,86	28,62

Ненависть	-25,53	-20,32	-13,27	-20,69	-25,53
Не подмажешь, не поедешь	22,35	18,29	14,13	17,42	22,35
Лучше бедность, да честность	-19,51	-12,01	-5,34	-12,47	-19,51
Профессионализм	33,85	24,45	17,99	23,36	33,85
Работа	29,15	22,61	19,55	21,78	29,15
Семья	32,65	25,39	21,12	24,08	32,65
Служение обществу	29,89	22,36	13,77	22,64	29,89
Смерть	-28,22	-20,68	-9,38	-18,42	-28,22
Флаг_ЛГБТ	6,72	5,00	9,13	4,98	6,72
Честность	30,92	24,25	20,09	23,28	30,92
Я в идеале	33,78	26,27	19,74	26,07	33,78
Я реальный	20,83	20,25	16,10	20,66	20,83
СДФ в 100-балльной шкале Базовые шкалы жизнь - смерть					
Власть	8,13	10,17	9,76	9,55	8,13
Деньги	11,88	11,09	12,91	10,08	11,88
Жизнь	1,06	2,66	2,67	2,41	1,06
Закон	8,56	8,93	7,48	8,15	8,56
Зеленый человечек	12,44	12,18	10,71	12,45	12,44
Картинка_Коррупция	18,31	16,65	18,19	17,68	18,31

Конфликт	16,44	16,84	18,14	16,80	16,44
Коррупция	18,19	17,78	19,19	18,99	18,19
Красный человечек	17,44	16,59	16,48	18,11	17,44
Любовь	7,44	7,68	8,14	8,55	7,44
Ненависть	20,00	19,33	18,57	19,97	20,00
Не подмажешь, не поедешь	10,44	9,83	9,76	9,63	10,44
Лучше бедность, да честность	18,69	16,57	16,67	17,54	18,69
Профессионализм	4,69	6,78	8,48	7,13	4,69
Работа	8,13	8,51	6,95	7,42	8,13
Семья	6,38	6,38	6,52	6,30	6,38
Служение обществу	6,50	8,06	9,48	7,13	6,50
Смерть	20,06	18,74	17,10	18,39	20,06
Флаг_ЛГБТ	14,13	12,14	10,91	13,11	14,13
Честность	6,25	7,39	7,05	7,68	6,25
Я в идеале	7,25	6,85	6,71	5,45	7,25
Я реальный	11,19	9,34	9,52	9,03	11,19

Приложение 13. Сизигии Земли с Солнцем, с одной из планет или с Луной в период, когда были показаны самые низкие и самые высокие значения частот ЭЭГ, обследуемыми в 2016-2020 годах в точке F3

13.1 Самые высокие значения частот ЭЭГ в точке F3

Л… Екатерина Владимировна	**16.08.18**	**12:05:29**	**ЭЭГ = 26,308**

Сизигии 16 августа 2018 12:20

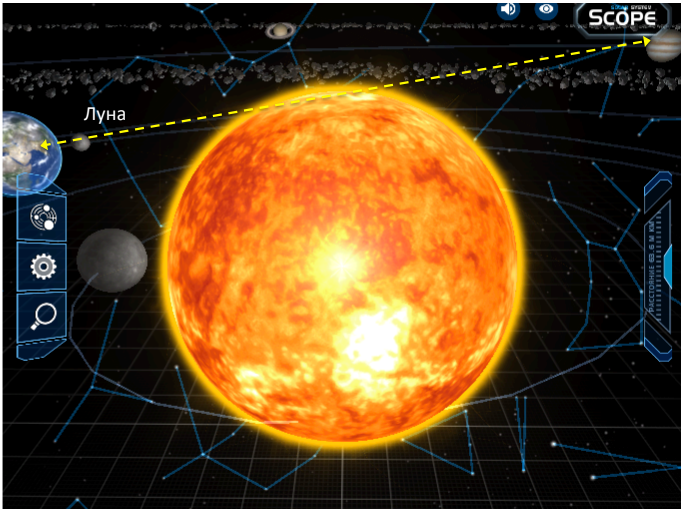

К… Елена Анатольевна	**15.11.18**	**9:31:00**	**25,279**

Сизигии 15 ноября 2017 9:30

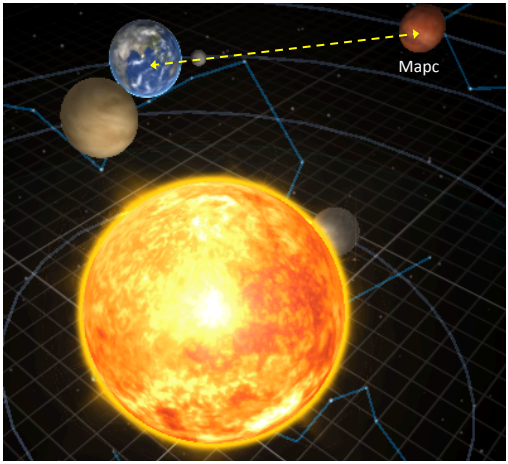

Т... Светлана Викторовна	**15.01.20**	**10:48:41**	**24,330**

Сизигии 15 января 2020 11:00

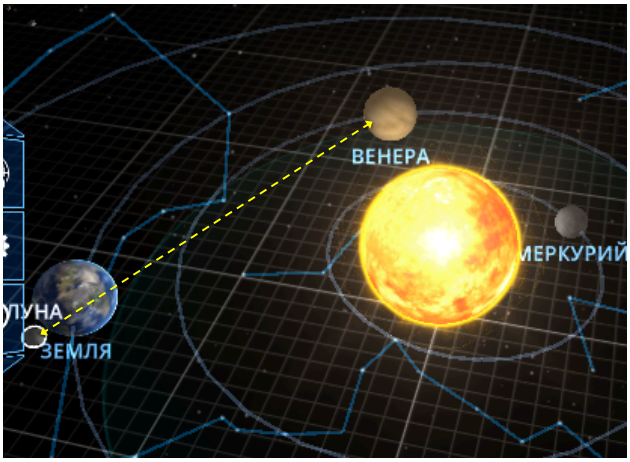

Г… Николай Иванович	**31.10.18**	**14:10:44**	**22,883**

Сизигии 31 октября 2018 14:20

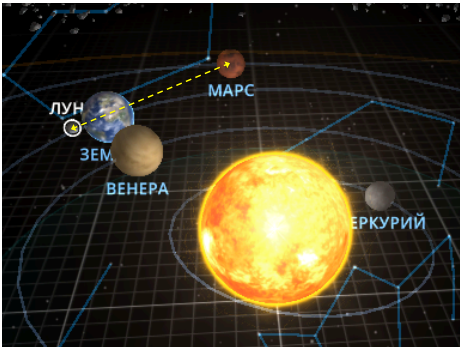

Ч… Татьяна Владимировна	**25.07.19**	**9:30:09**	**22,571**

Сизигии 25 июля 2019 9:30

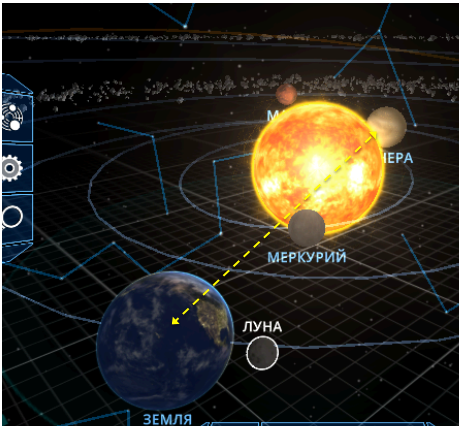

Б... Татьяна Федоровна	**22.08.19**	**14:10:53**	**21,592**

Сизигии 22 августа 2019 14:10

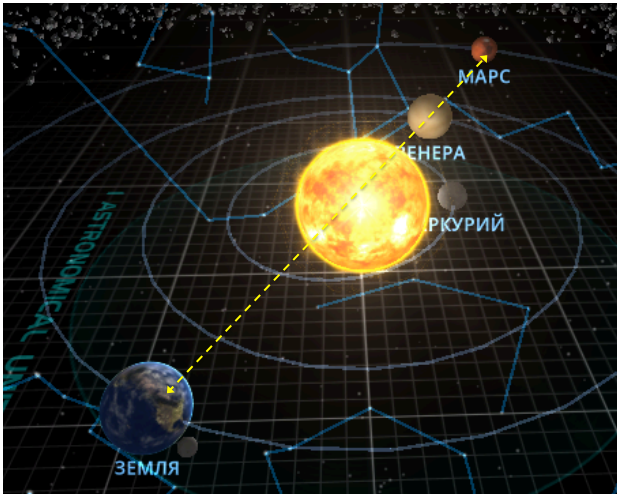

В... Татьяна Николаевна	**27.03.19**	**14:18:46**	**21,447**

Сизигии 27 марта 2019 14:20

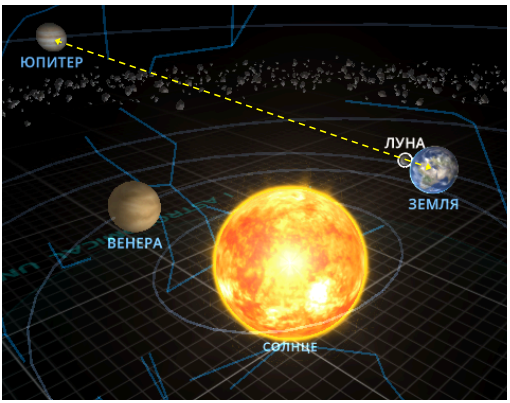

М… Людмила Викторовна	**24.01.18**	**14:20:34**	**21,018**

Сизигии 24 января 2017 14:20

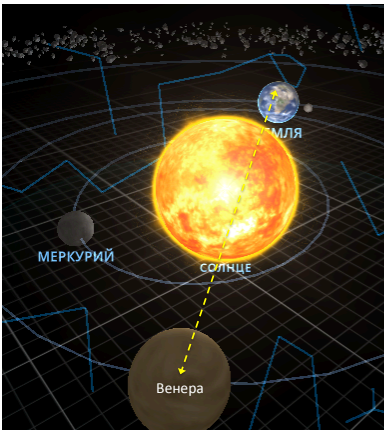

Сизигии 24 января 2017 14:20

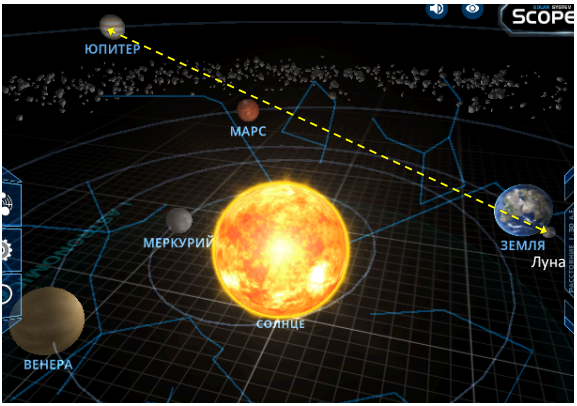

З… Татьяна Александровна	**17.12.20**	**14:00:44**	**21,003**

Сизигии 17 декабря 2020 14:00

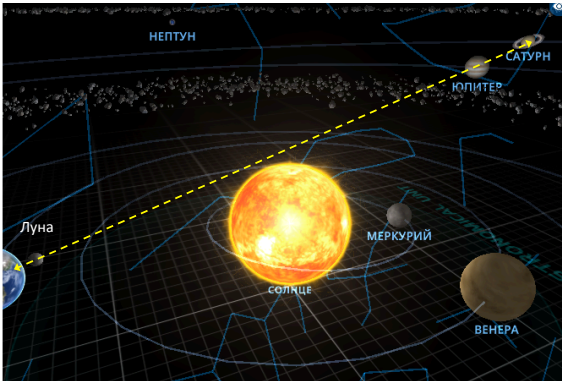

Сизигии 17 декабря 2020 14:00

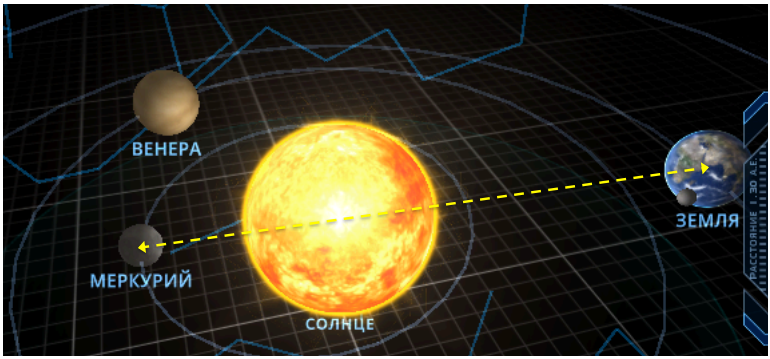

Е... Валентина Ивановна	**02.10.19**	**13:28:32**	**20,723**

Сизигии 2 октября 2019 13 : 30

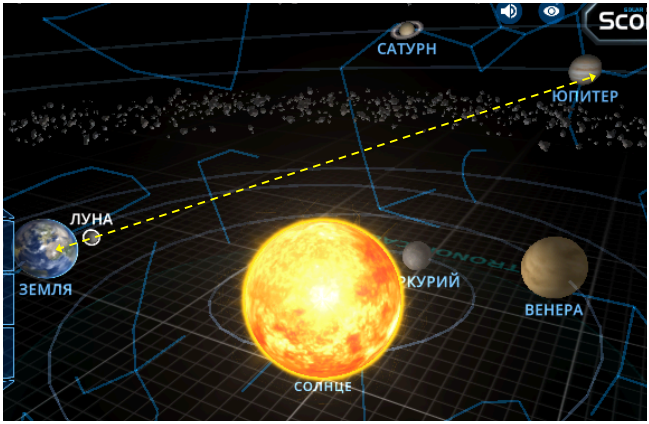

Т… Федор Васильевич	**31.10.18**	**16:42:33**	**20,709**

Сизигии 31 октября 2018 16:45

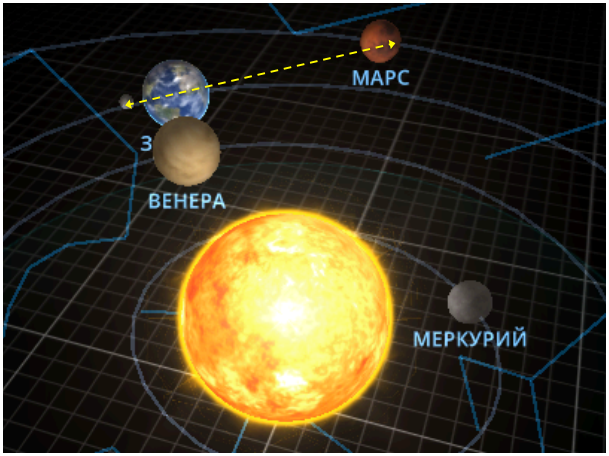

Сизигии 31 октября 2018 16:45

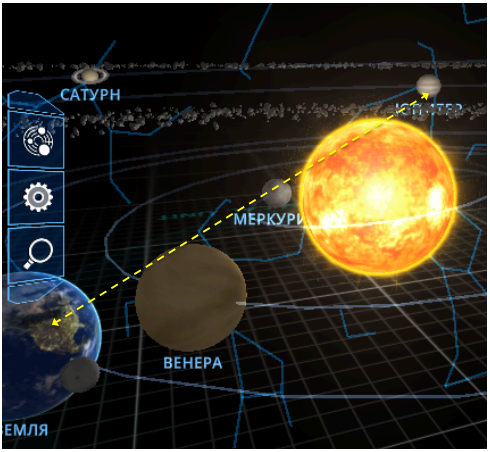

Сизигии 31 октября 2018 16:45

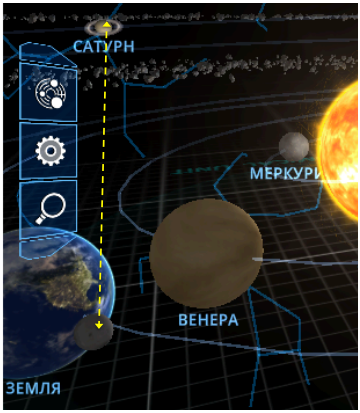

Г... Елена Валерьевна	**22.05.19**	**9:24:25**		**20,700**

Сизигии 22 мая 2019 9:30

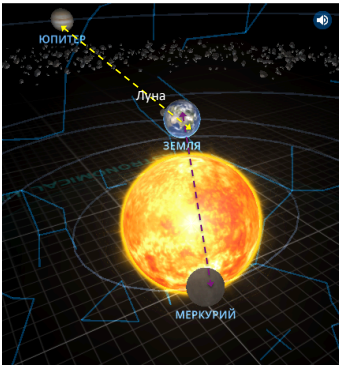

Л… Елена Владимировна	**04.03.20**	**15:29:40**	**20,445**

Сизигии 4 марта 2020 15:30

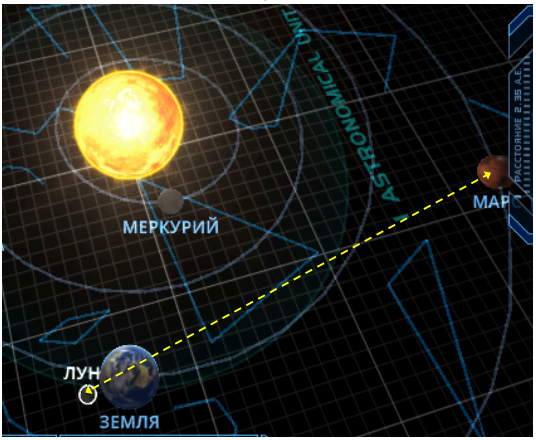

Н… Светлана Викторовна	**25.04.19**	**12:07:00**	**20,096**

Сизигии 25 марта 2019 12:00

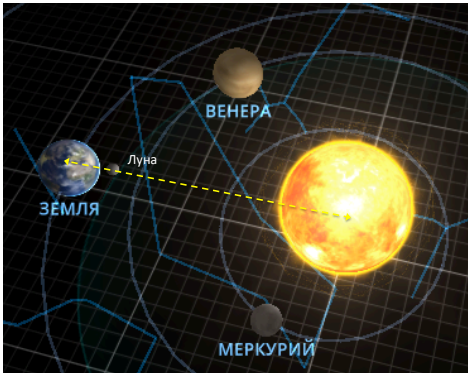

К... Олеся Леонидовна	**03.12.20**	**9:43:16**	**20,046**

Сизигии 3 декабря 2020 9:45

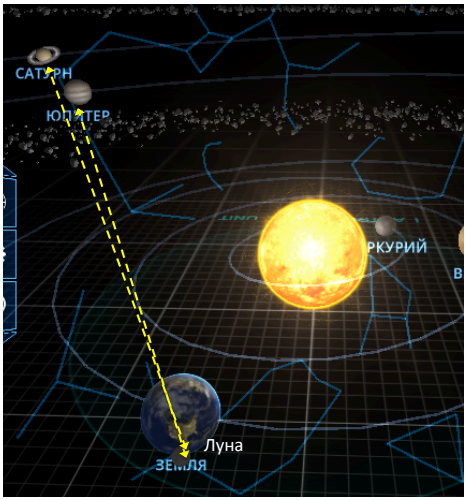

13.2 Самые низкие значения частот ЭЭГ у обследованных в точке F3

В… Руслан Викторович	**19.06.19**	**9:48:15**	**2,554**

Сизигии 19 июня 2019 15:10

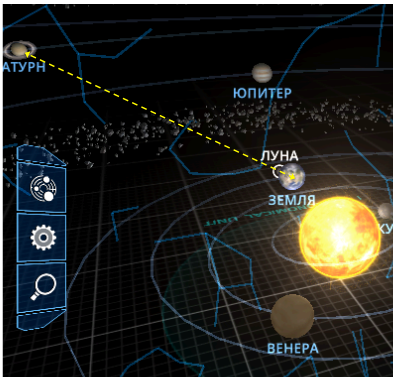

Р… Александр Сергеевич	**19.06.19**	**15:07:48**	**2,504**

Сизигии 19 июня 2019 16:10

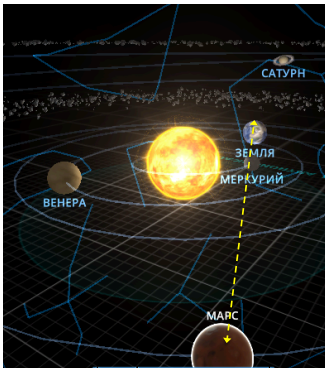

Сизигии 19 июня 2019 16:10

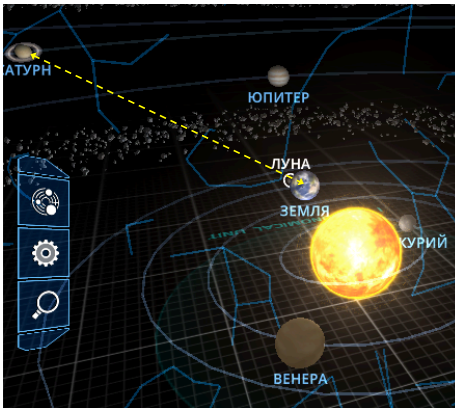

К... Екатерина Николаевна	**26.06.20**	**9:46:08**	**2,437**

Сизигии 26 июня 2020 10:00

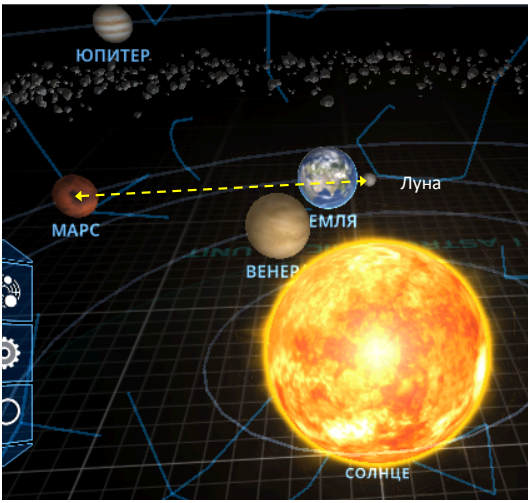

Б… Станислав Владимирович	**03.09.20**	**17:08:39**	**2,411**

Сизигии 3 сентября 2020 17:10

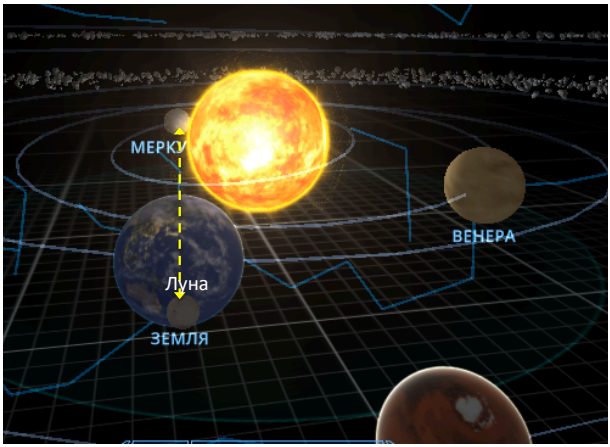

Сизигии 3 сентября 2020 17:10

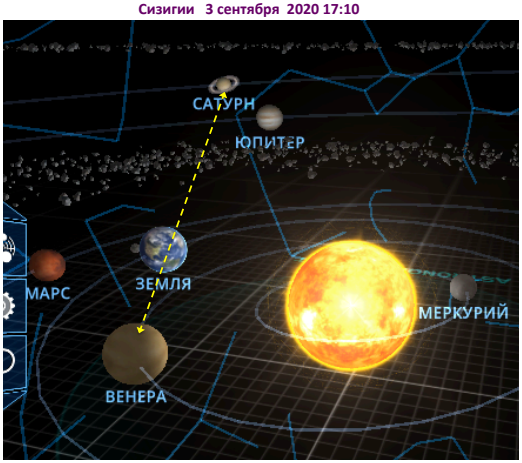

М… Снежана Алексеевна	**12.11.20**	**15:08:36**	**2,404**

Сизигии 12 ноября 2020 17:10

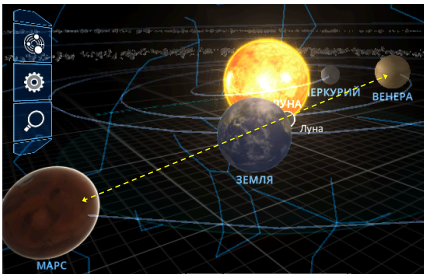

Т... Василий Иванович	**02.07.20**	**11:54:50**	**2,238**

Сизигии 2 июля 2020 12:00

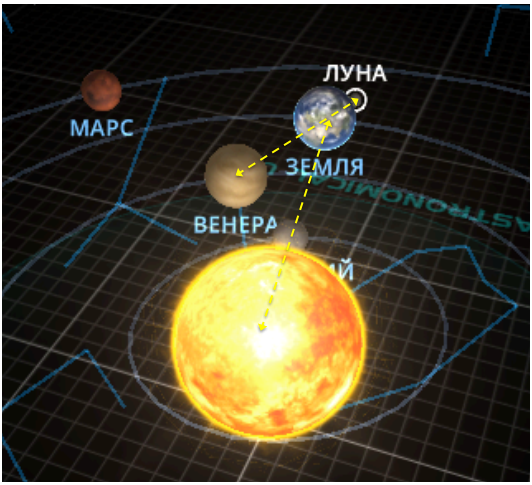

Д... Игорь Владимирович	**31.05.17**	**9:21:38**	**2,000**

Сизигии 31 мая 2017 9:30

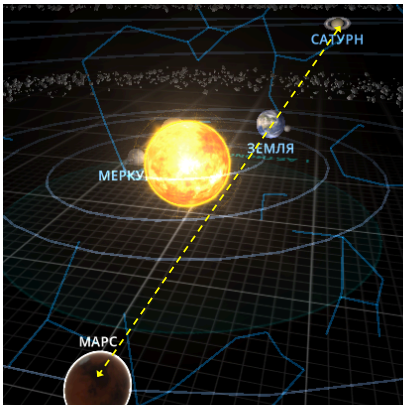

Р... Алексей Петрович	**05.07.18**	**15:05:43**	**1,983**

Сизигии 5 июля 2018 15:10

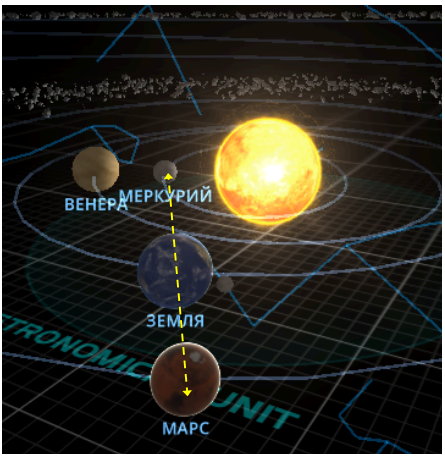

П... Валерий Геннадиевич	**17.04.19**	**14:03:02**	**1,955**

Сизигии 17 апреля 2019 14:10

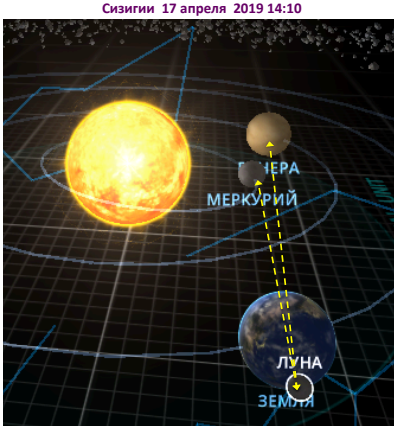

Е... Александр Николаевич	**15.07.20**	**10:44:32**	**1,869**

Сизигии 15 июля 2020 10:50

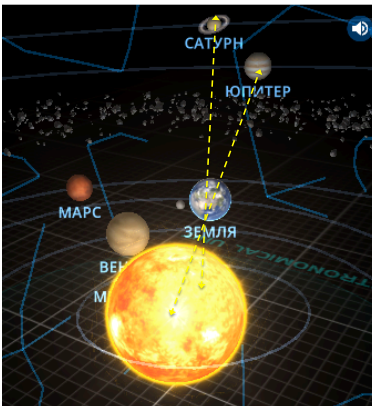

Ж... Алексей Владимирович	**18.07.18**	**14:02:46**	**1,778**

Сизигии 18 июля 2018 14:10

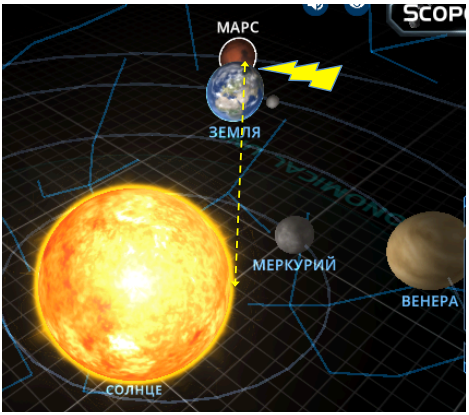

Д... Галина Владимировна	**14.10.16**	**9:57:28**	**1,708**

Сизигии 14 октября 2016 10:00

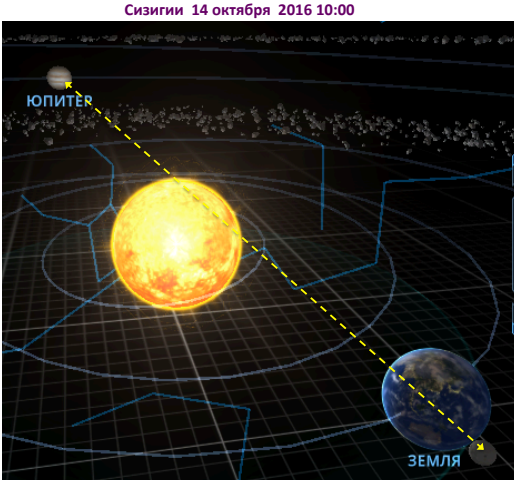

Ч… Юрий Николаевич	**06.12.18**	**12:16:34**	**1,683**

Сизигии 6 декабря 2018 12:20

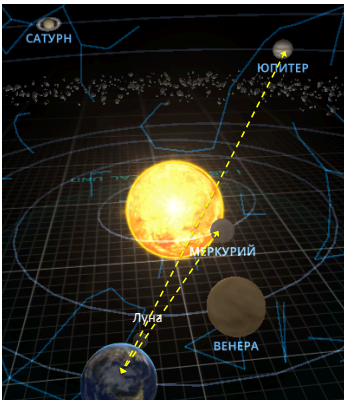

П… Алексей Юрьевич	**10.09.20**	**11:55:24**	**1,461**

Сизигии 10 сентября 2020 НЕТ, Марс рядом 12:00

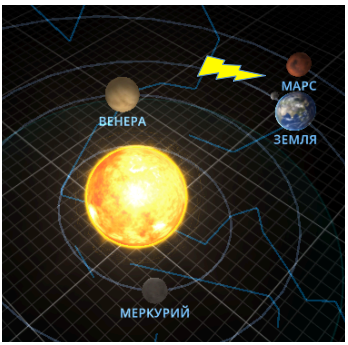

С… Антонина Владимировна	**19.06.19**	**10:51:33**	**1,425**

Сизигии 19 июня 2019 11:00

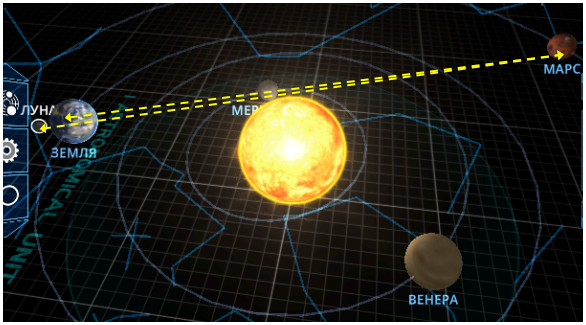

Б… Сергей Иванович	26.03.20	14:05:17	1,068

Сизигии 19 июня 2019 11:00

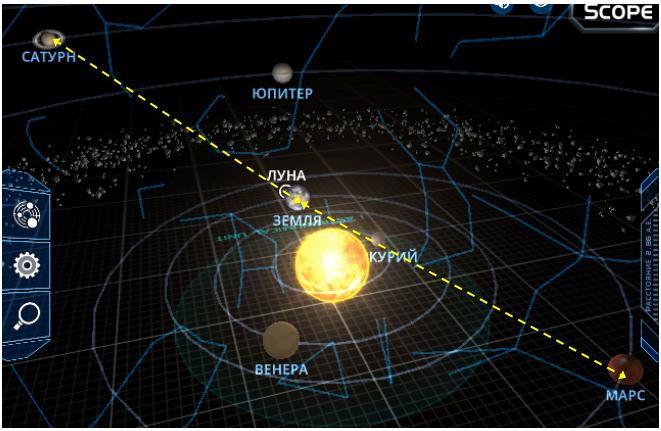

П… Ирина Викторовна	20.12.16	9:49:35	0,257

Сизигии 20 декабря 2016 10:00

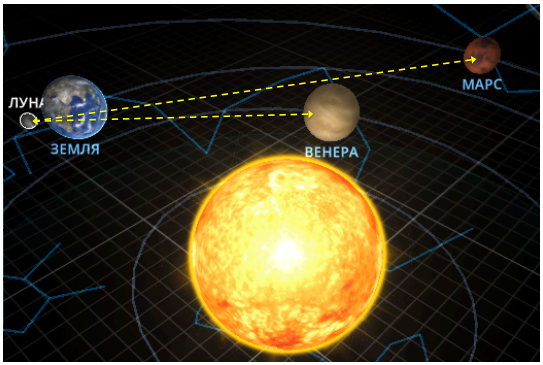

Сизигии 20 декабря 2016 10:00

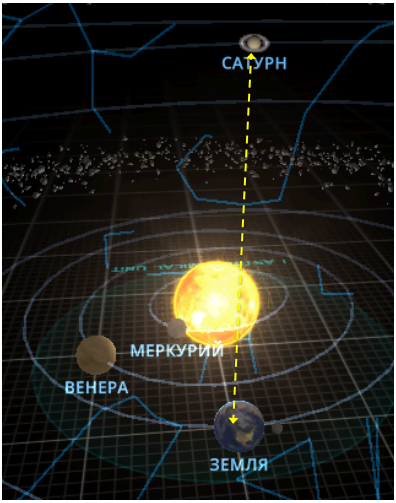

Приложение 14. Сизигии Земли с Солнцем, с одной из планет или с Луной в период, когда были показаны самые низкие и самые высокие значения частот ЭЭГ, обследуемыми в 2016-2020 годах в точке F4

14.1 Самые низкие значения частот ЭЭГ в точке F4

П… Ирина Викторовна	20.12.16	9:49:35	0,571

Сизигии 16 декабря 2016, 10:00

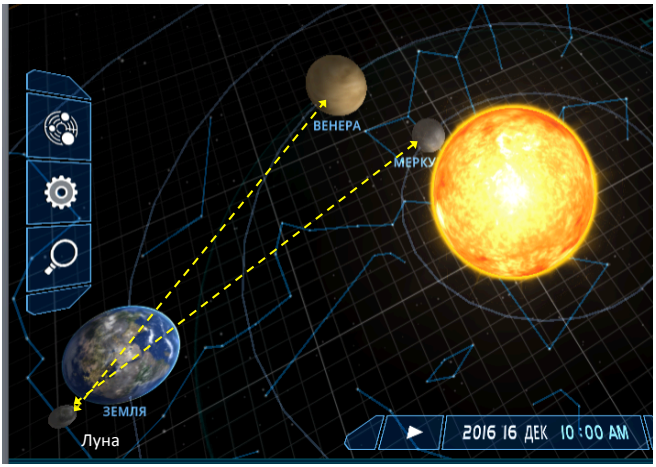

Сизигии 16 декабря 2016, 10:00

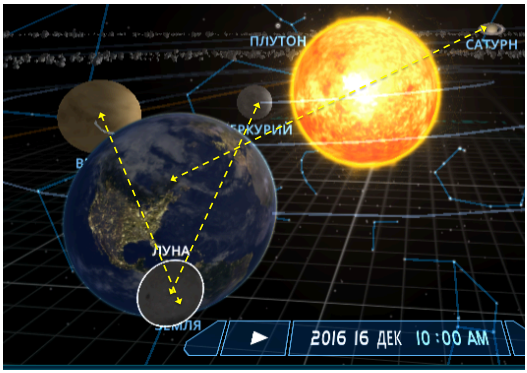

Сизигии 16 декабря 2016, 10:00

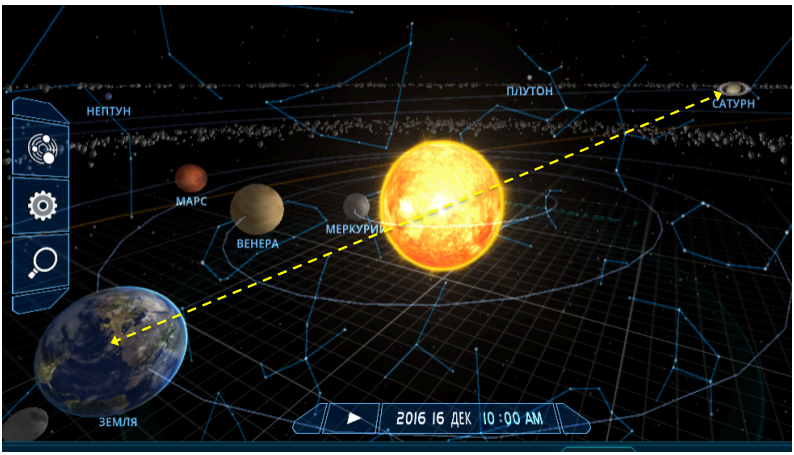

Б… Сергей Иванович	26.03.20	14:05:17	1,138

Сизигии 26 марта 2020, 14:30

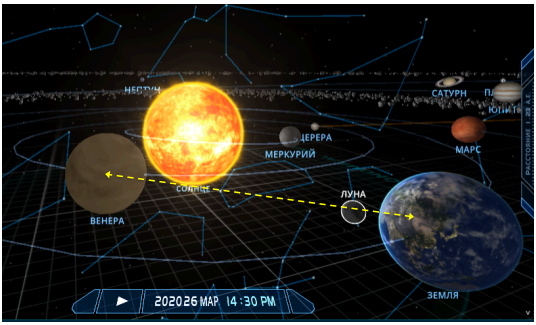

Ж… Алексей Владимирвич	18.07.18	14:02:46	1,189

Сизигии 18 июля 2018, 14:30

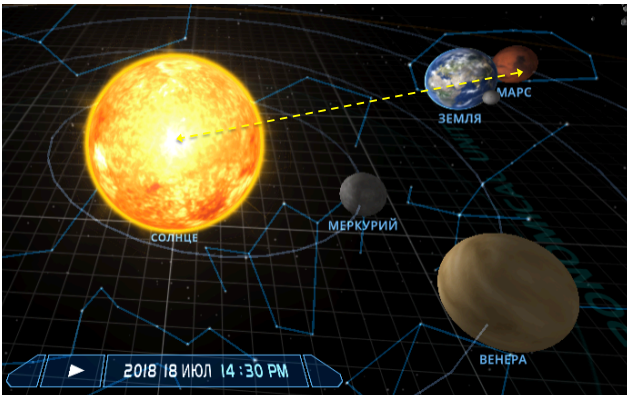

Р... Александр Сергеевич	19.06.19	15:07:48	1,423

Сизигия 19 июня 2019, 15:30

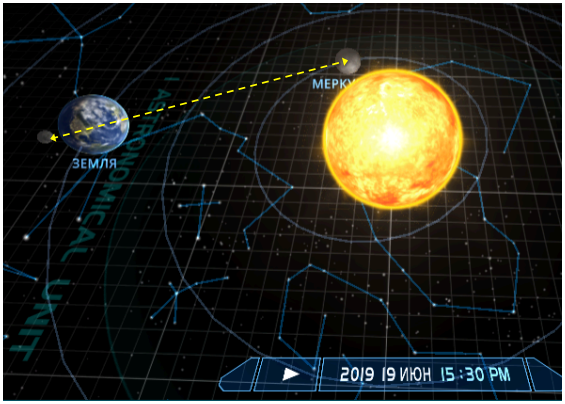

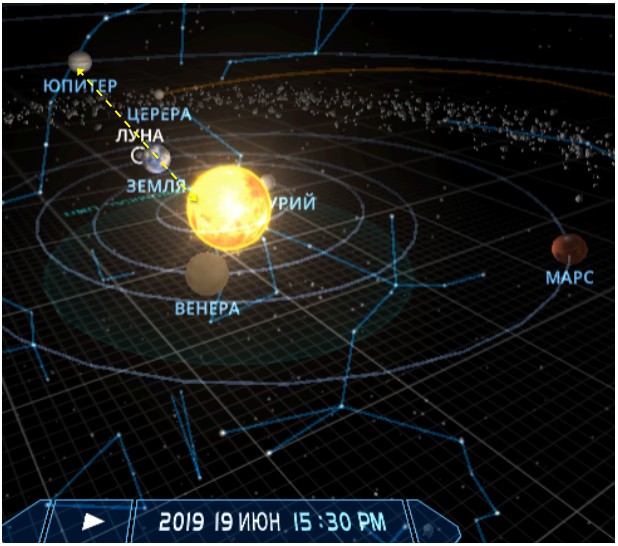

Сизигии 19 июня 2019, 15:30

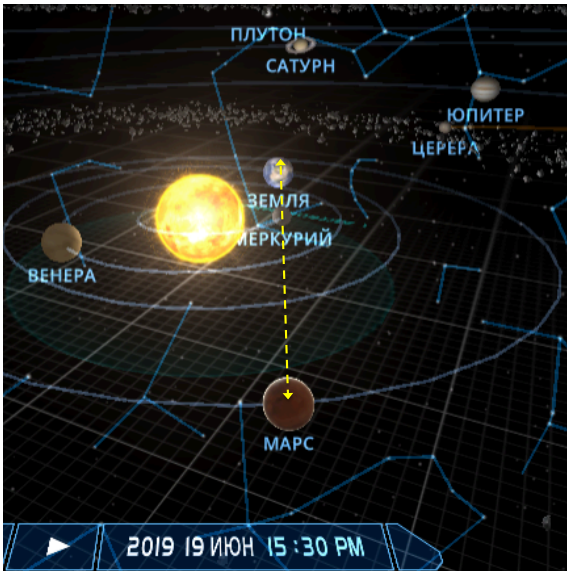

Сизигии 19 июня 2019, 15:30

О... Сергей Викторович	**17.11.16**	**11:59:22**	1,468

Сизигии 16 ноября 2017, 12:30

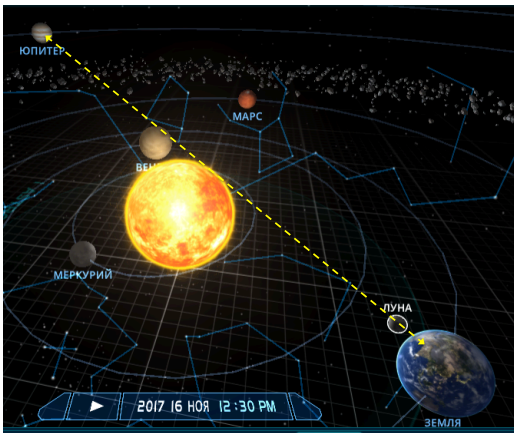

Сизигии 16 ноября 2017, 12:30

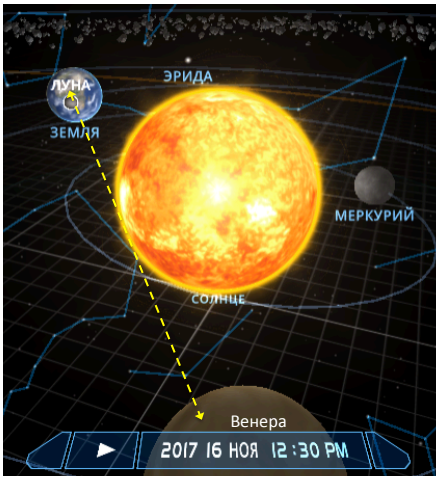

П... Валерий Геннадиевич	17.04.19	14:03:02	1,671

Сизигии 17 апреля 2019, 12:30

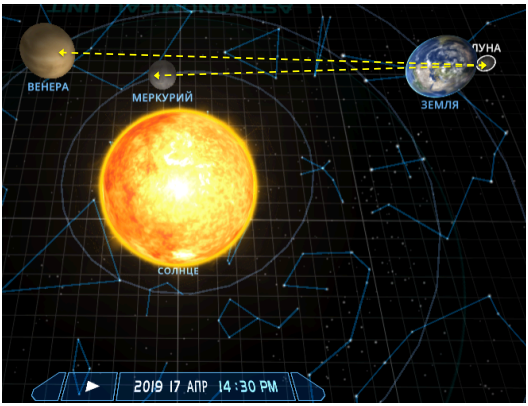

Сизигии 17 апреля 2019, 12:30

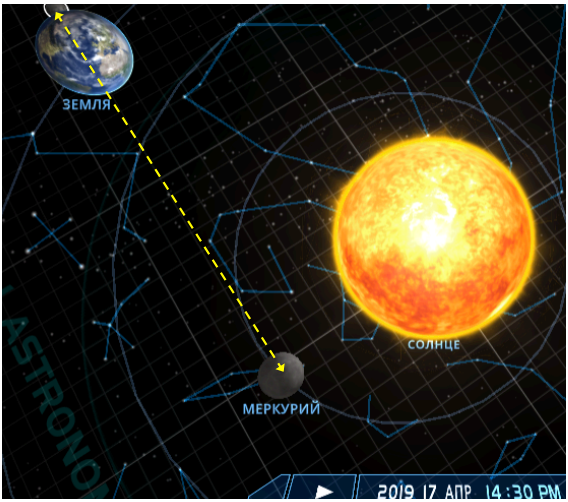

П… Алексей Юрьевич	10.09.20	11:55:24	1,798

Сизигии 10 сентября 2020, 12:12

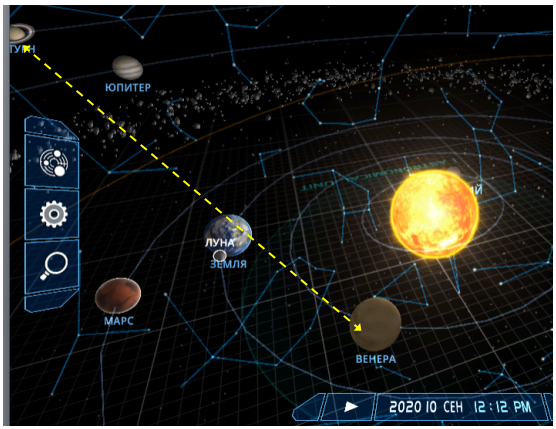

Сизигии 10 сентября 2020, 12:12

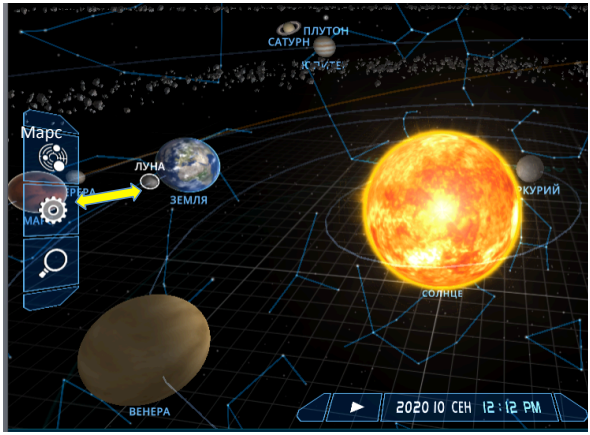

Б... Владимир Иванович	09.08.17	9:44:43	1,859

Сизигии 9 августа 2017, 10:12

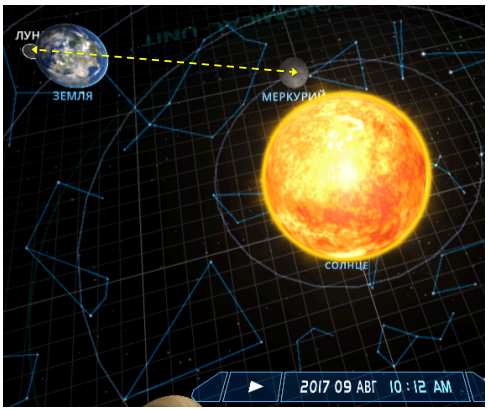

Сизигии 9 августа 2017, 10:12

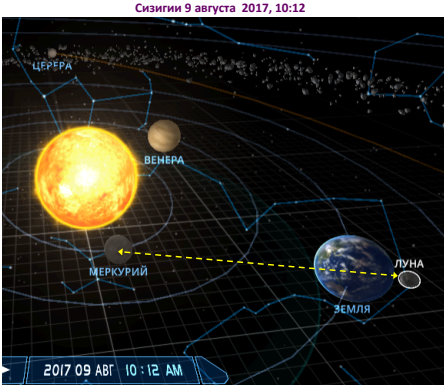

14.2 Самые высокие значения частот ЭЭГ в точке F4

Ш…Елена Эдуардовна	15.01.20	9:40:06	19,709

Сизигии 15 января 2020, 10:20

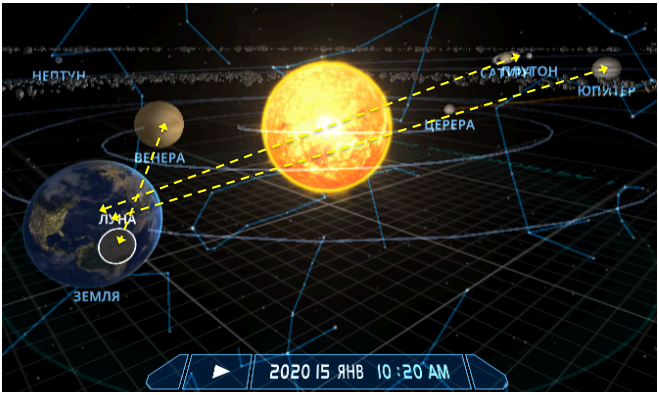

Сизигии 15 января 2020, 10:20

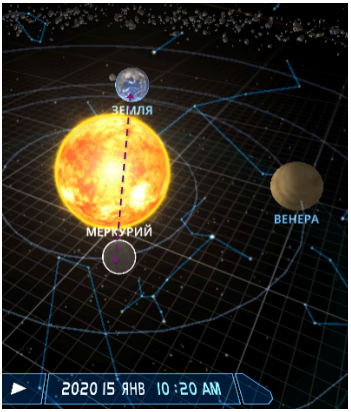

Сизигии 15 января 2020, 10:20

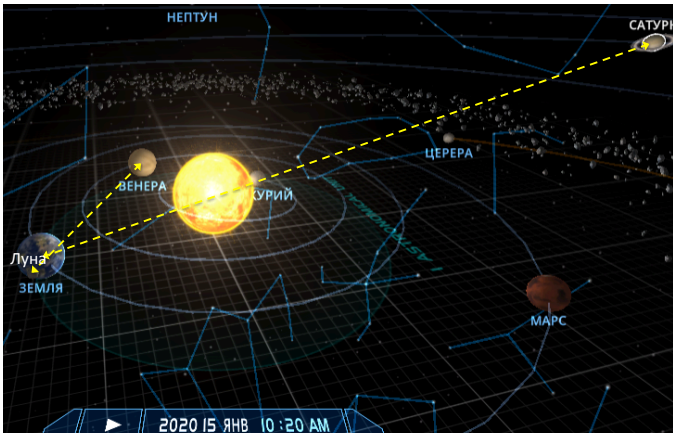

С... Виктор Николаевич	05.07.18	12:04:22	20,457

Сизигии 5 июля 2018, 12:25

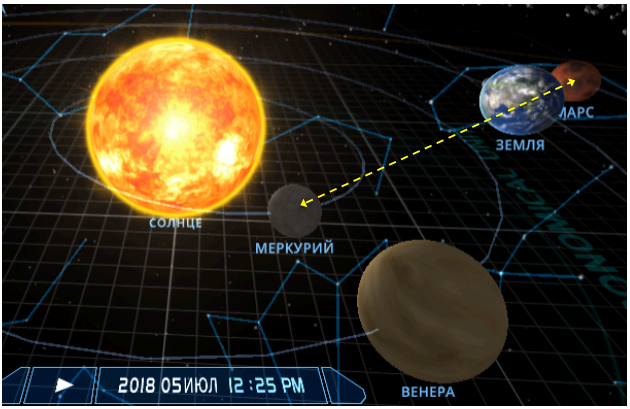

Е… Валентина Ивановна	02.10.19	13:28:32	20,890

Сизигии 2 октября 2019, 14:27

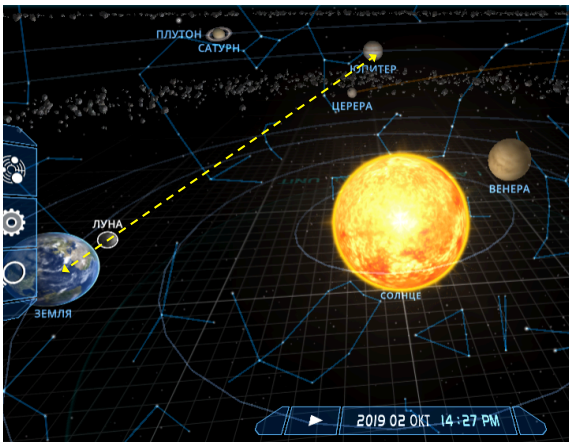

Б…Татьяна Ивановна 03.12.20 12:21:51 28,237

Сизигии 3 декабря 2020, 12:30

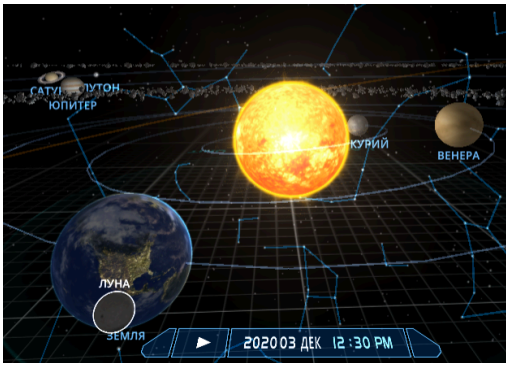

Ч… Александр Григорьевич 08.08.19 9:40:09 28,117

Сизигии 8 августа 2019, 10:31

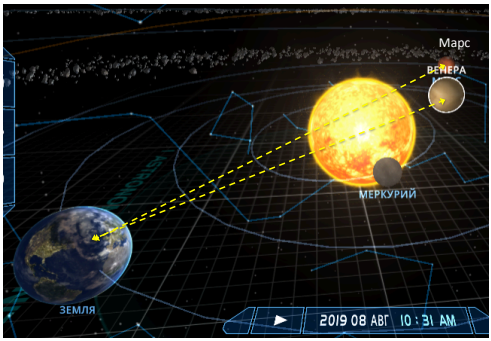

Б… Валентина Ивановна 31.05.18 9:35:52 25,029

Сизигии 31 мая 2018, 9:29

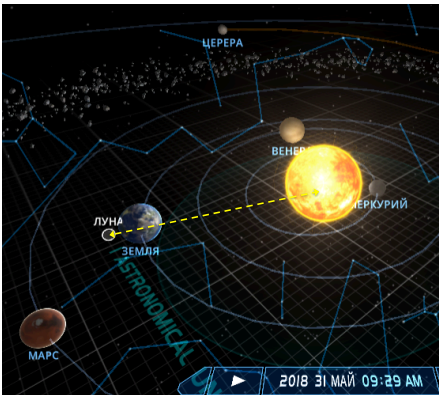

Приложение 15. Сизигии Земли с Солнцем, с одной из планет или с Луной в период, когда были показаны самые низкие и самые высокие значения частот ЭЭГ, обследуемыми в 2016-2020 годах в точке Р4

15.1 Самые низкие значения частот ЭЭГ в точке Р4 при работе с фотографиями

Б... Ирина Викторовна	**27.10.16**	**16:10:59**	**1,973**

Сизигии 27 октября 2016, 16:10

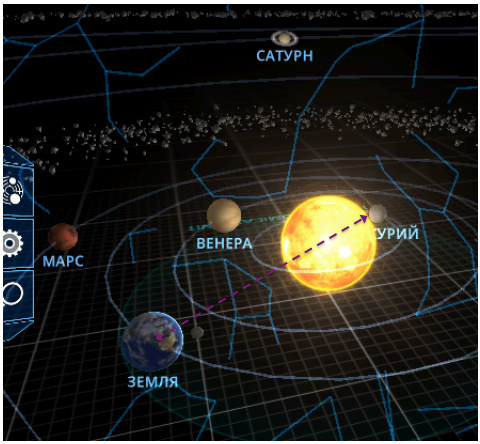

Сизигии 27 октября 2016, 16:10

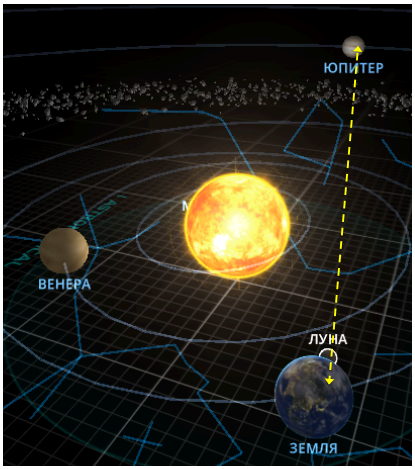

П... Наталья Анатольевна	**27.10.16**	**14:21:16**	**2,387**

Сизигии 27 октября 2016, 14:10

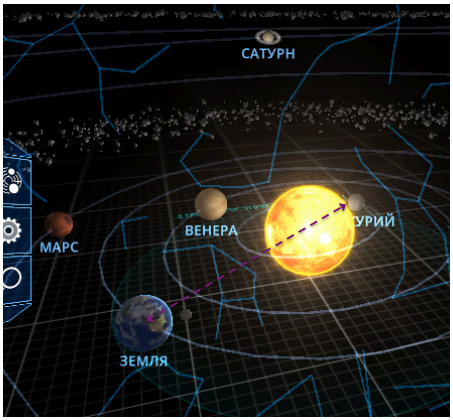

Сизигии 27 октября 2016, 14:10

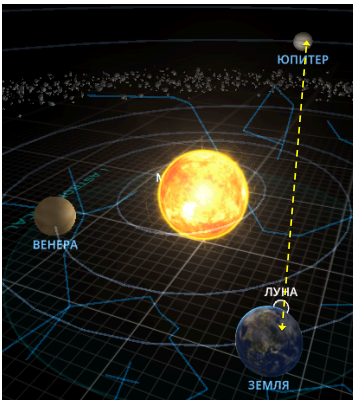

Л... Михаил Павлович	**06.12.16**	**16:56:59**	**3,142**

Сизигии 6 декабря 2016, 17:00

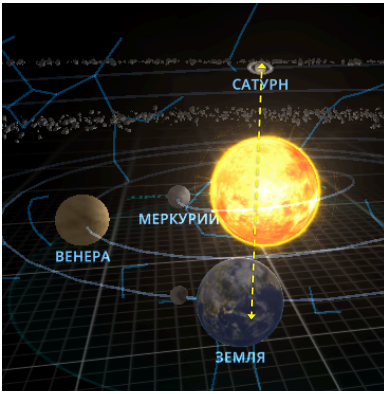

К... Екатерина Ивановна	**20.10.16**	**16:38:08**	**3,222**

Сизигии 20 октября 2016, 17:00

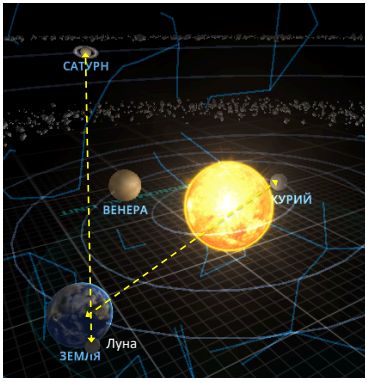

П… Ирина Викторовна	**20.12.16**	**9:49:35**	**3,498**

См.: приложение 13

Ш… Александр Алексеевич	**20.12.16**	**18:10:58**	**3,646**

Сизигии 20 декабря 2016 18:20

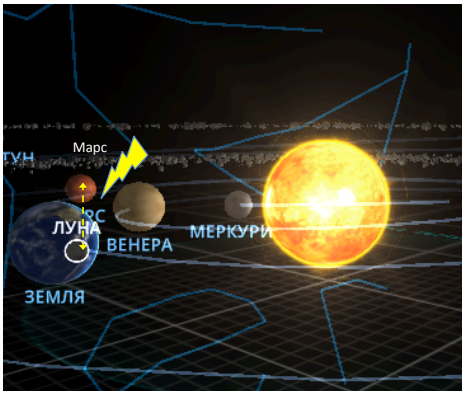

К... Оксана Петровна	**20.10.16**	**14:52:39**	**3,956**

Сизигии 20 октября 2016, 14:00 – 19:00

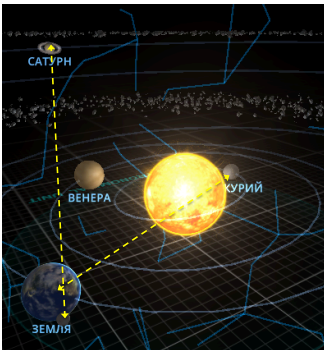

Д... Галина Владимировна	**14.10.16**	**9:57:28**	**4,059**

См.: приложение 13

П... Владимир Юрьевич	**30.11.16**	**14:12:42**	**4,273**

Сизигии 30 ноября 2016 14:20

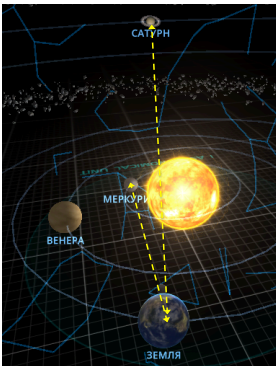

Л… Борис Евгеньевич	**27.10.16**	**11:13:26**	**4,303**

Сизигии 27 октября 2016 11:20

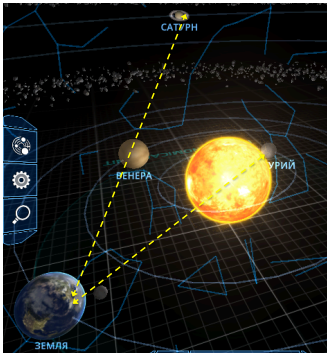

Б… Ольга Викторовна	**28.03.17**	**12:02:20**	**4,406**

См.: приложение 13

15.2 Самые высокие значения частот ЭЭГ в точке P4 при работе с фотографиями

Ш… Галина Александровна	**04.10.17**	**15:32:42**	**21,829**

Сизигии 4 октября 2017 15:30

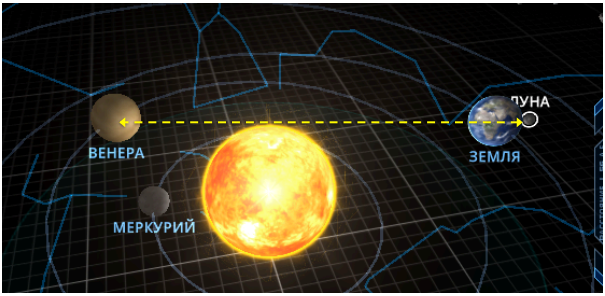

С... Светлана Александровна	**07.08.19**	**14:16:00**	**21,913**

Сизигии 7 августа 2019 14:20

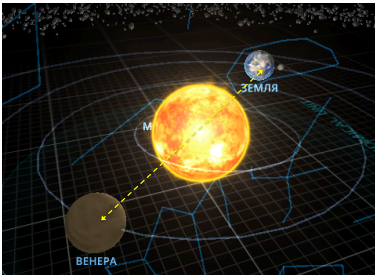

К... Владимир Михайлович	**31.01.19**	**15:44:31**	**22,062**

Сизигии 31 января 2019 15:40

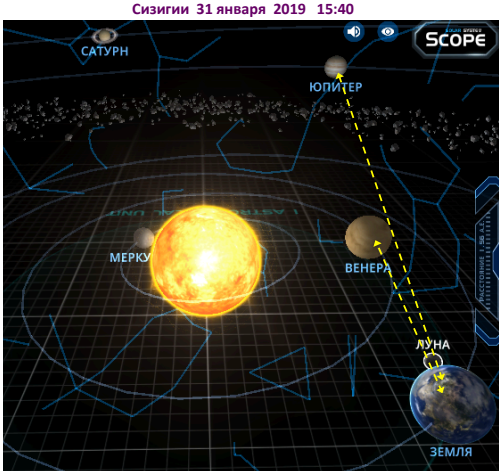

Ф… Екатерина Владимировна	**16.09.20**	**12:00**	**22,074**

Сизигии 16 сентября 2020 12:00

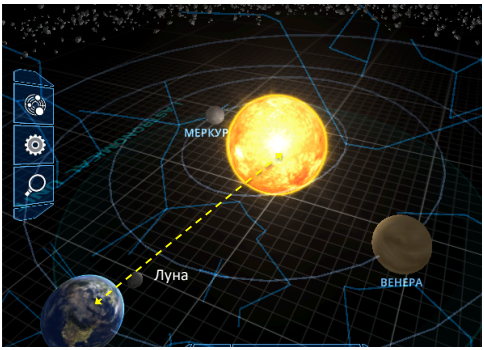

Т… Светлана Васильевна	**30.08.20**	**12:00**	**22,499**

Сизигии 30 августа 2020 12:00

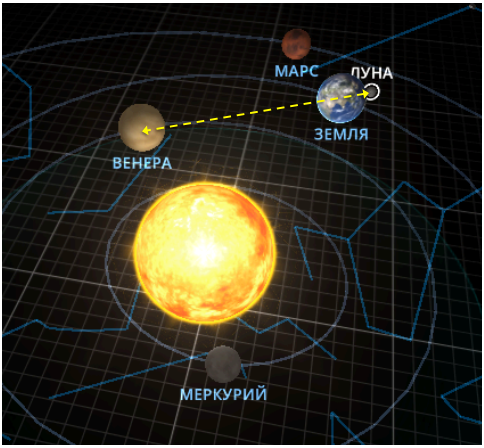

И... Юлия Сергеевна	**07.02.17**	**17:02:19**	**22,609**

Сизигии 17 февраля 2017 17:00

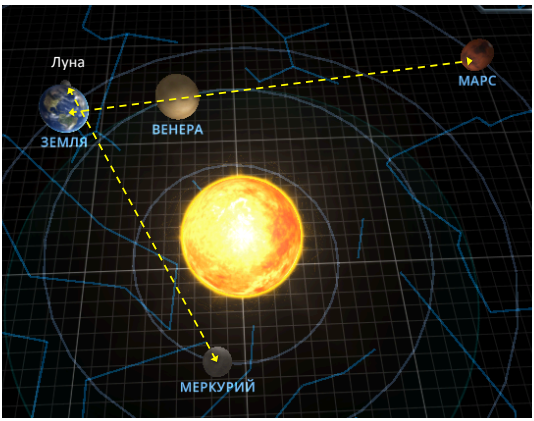

А... Юлия Сергеевна	**01.10.20**	**11:57:07**	**22,709**

Сизигии 1 октября 2020 12:00

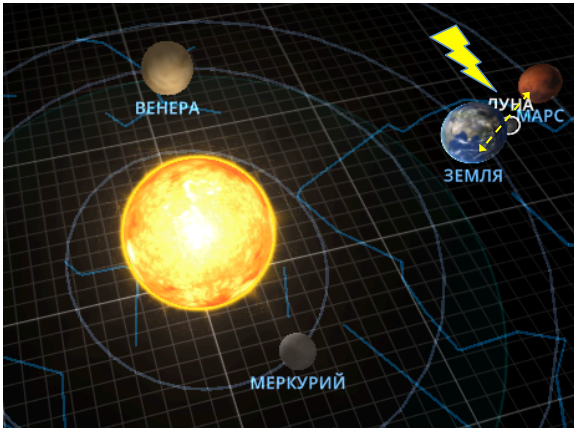

К... Оксана Владимировна	**03.06.20**	**12:02:13**	**22,765**

Сизигии 3 июня 2020 12:00

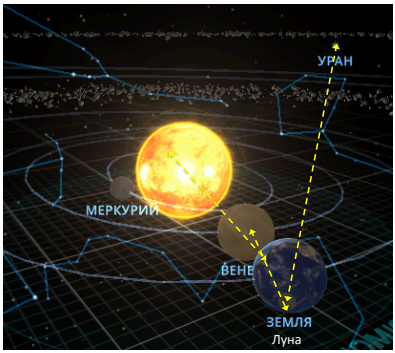

Р... Анастасия Сергеевна	**02.08.18**	**12:13:49**	**22,972**

Сизигии 2 августа 2018 12:20

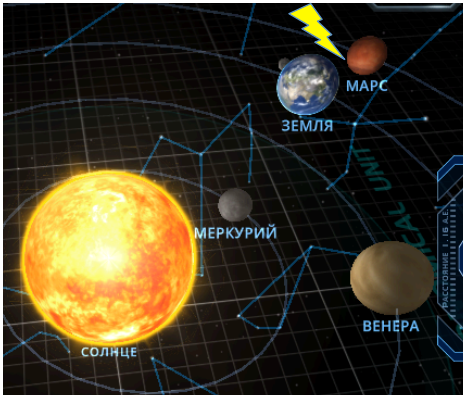

С... Евгений Борисович	**15.07.20**	**16:04:36**	**23,284**

Сизигии 15 июля 2020 16:00

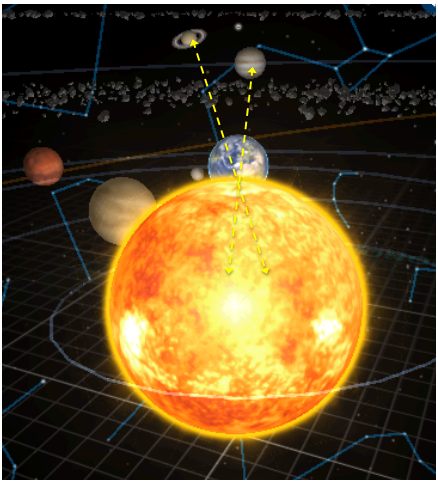

Ш… Вадим Владимирович	**03.12.20**	**14:21:44**	**23,314**

Сизигии 3 декабря 2020 14:20

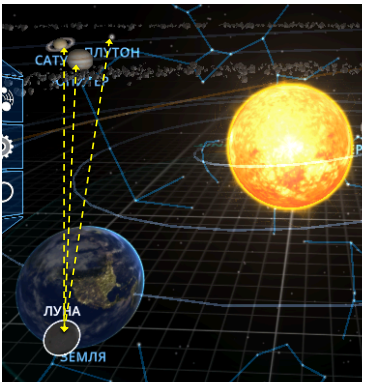

З… Иван Леонидович	**26.12.19**	**15:48:51**	**23,385**

Сизигии 26 декабря 2019 16:00

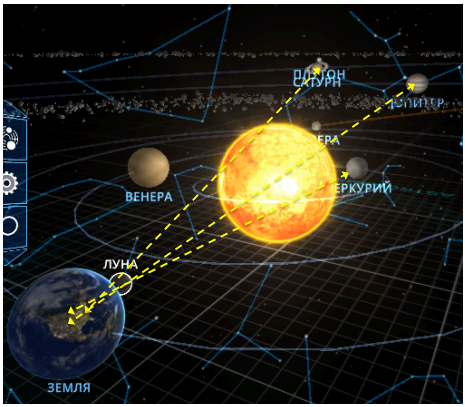

П… Евгений Анатольевич	**31.07.19**	**10:53:08**	**23,593**

Сизигии 31 июля 2019 11:00

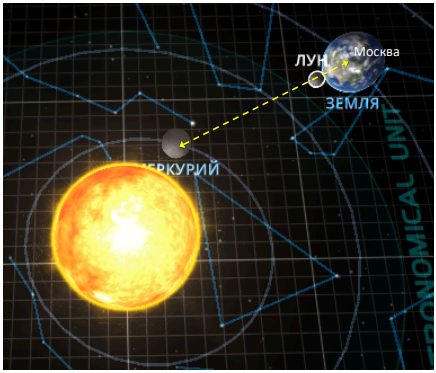

Сизигии 31 июля 2019 11:00

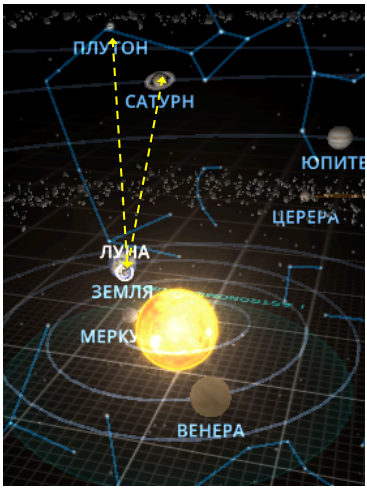

К... Александр Анатольевич	**23.11.17**	**12:07:45**	**23,660**

Сизигии 23 ноября 2017 12:10

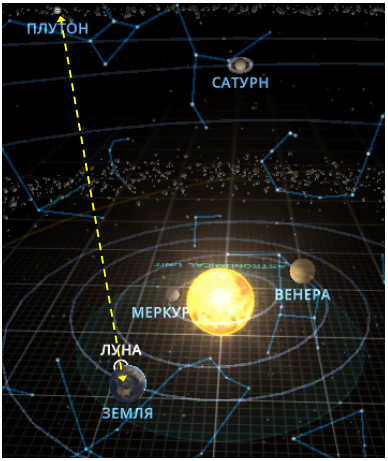

Б... Татьяна Ивановна	**03.12.20**	**12:21:51**	**23,818**

См.: приложение 13

М... Ирина Николаевна	**19.03.20**	**10:39:28**	**23,857**

Сизигии 18 марта 2020 10:40

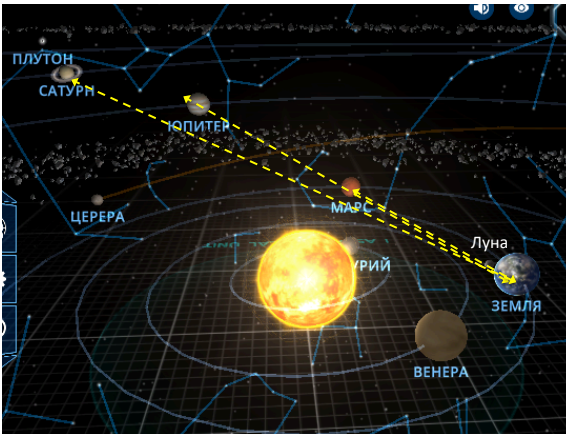

Ч... Александр Григорьевич	**08.08.19**	**9:40:09**	**24,785**

Сизигии 8 августа 2019 9:40

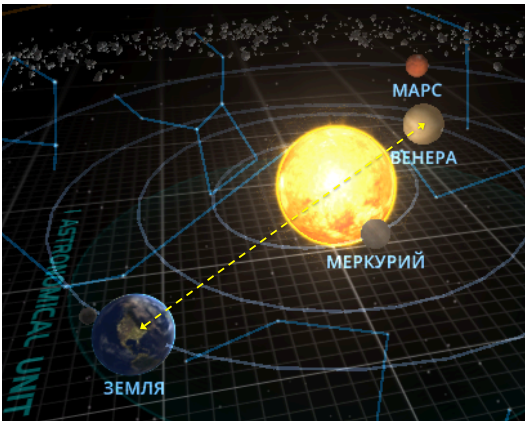

К... Анатолий Николаевич **23.01.19** **9:59:27** **25,272**

Сизигии 23 января 2019 10:00

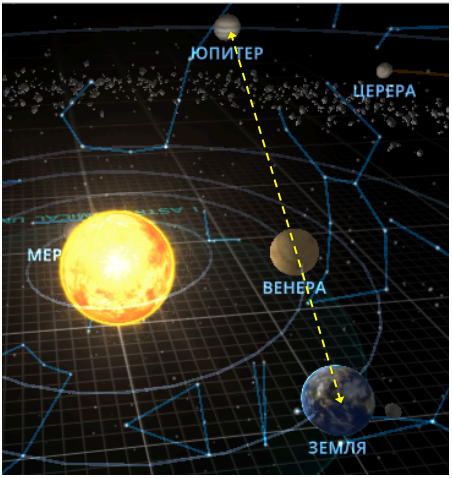

Ж... Олег Михайлович **24.12.20** **18:07:40** **25,779**

Сизигии 24 декабря 2020 18:00

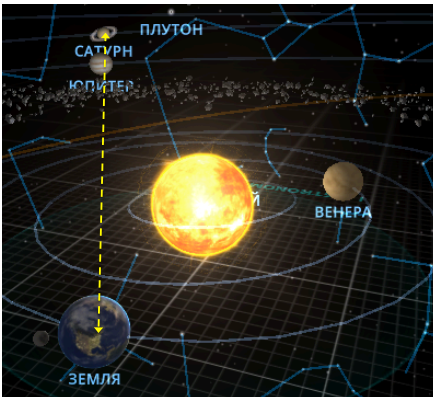

Б… Алексей Алексеевич	**31.01.19**	**18:14:09**	**27,354**

Сизигии 31 января 2019 18:00

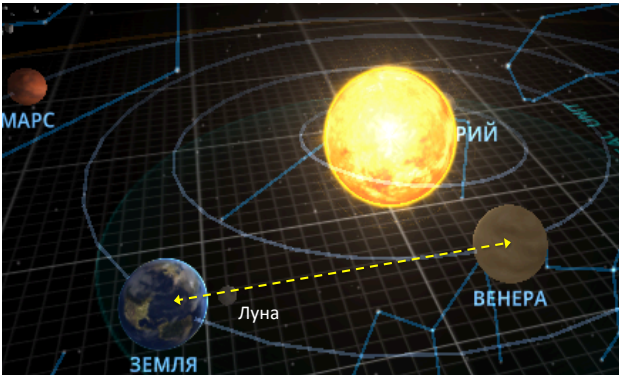

Ш… Лариса Алексеевна	**12.11.19**	**16:53:42**	**31,342**

Сизигии 12 ноября 2019 17:00

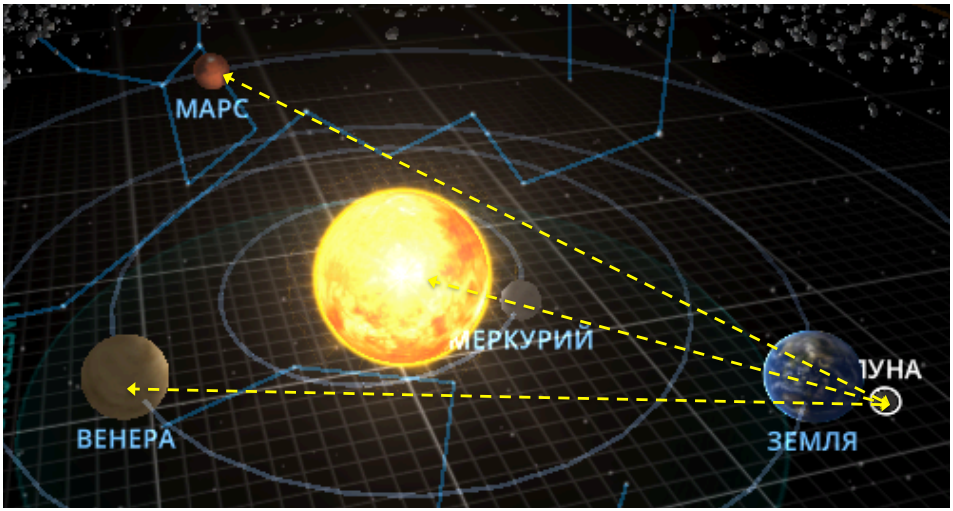

Приложение 16. Процентное распределение участников сизигий (Солнце, Луна, планеты) в период, когда обследовались лица, показавшие самые высокие и самые низкие частоты ЭЭГ

16.1 Процент числа сизигий Земли с Солнцем, с одной из планет или с Луной в период, когда были показаны самые низкие и самые высокие значения частот ЭЭГ обследуемыми в 2016-2020 годах

Участник сизигий	Низкая частота ЭЭГ	Высокая частота ЭЭГ	Разница
Солнце =	10,17	14,97	4,80
Юпитер =	7,63	10,78	3,15
Сатурн=	9,32	7,78	-1,54
Луна=	30,51	31,74	1,23
Марс =	14,41	8,38	-6,02
Меркурий=	16,95	8,38	-8,57
Венера=	11,02	13,17	2,16
Плутон=	0,00	4,19	4,19
Нептун=	0,00	0,60	0,60

16.2 Процент числа сизигий Земли с Солнцем, с одной из планет или с Луной в период, когда были показаны самые низкие и самые высокие значения частот ЭЭГ обследуемыми в 2016-2020 годах в точках F4 и P4 головного мозга

	Вся выборка	F4	p4	Разница P4-F3
Солнце =	12,98	19,28	10,91	-8,37
Юпитер =	9,47	6,02	8,18	2,16
Сатурн=	8,42	4,82	11,82	7,00
Луна=	30,88	27,71	34,55	6,83

Марс =	**11,23**	**9,64**	**7,27**	**-2,37**
Меркурий=	**11,93**	**14,46**	**10,00**	**-4,46**
Венера=	**12,28**	**15,66**	**11,82**	**-3,84**
Плутон=	**2,46**	**1,20**	**5,45**	**4,25**
Нептун=	**0,35**	**1,20**		**-1,20**

Приложение 16.3. Обобщенные табличные данные о сизигии Земли с Солнцем, с одной из планет или с Луной в период, когда были показаны самые низкие и самые высокие значения частот ЭЭГ, обследуемыми в 2016-2020 годах в точках F3, F4, P4 головного мозга

В точке F4 ФИО	**Дата обсле-дования**	**Время**	**Частота ЭЭГ**	**Сизигии**	**Сизигии дополн.**
П… Ирина Вик-торовна	**20.12.16**	**9:49:35**	**0,571**	**Земля Луна Юпитер**	
Б… Сергей Ива-нович	**26.03.20**	**14:05:17**	**1,138**	**Земля Луна Венера**	
Ж… Алексей Владимирович	**18.07.18**	**14:02:46**	**1,189**	**Марс Земля Солнце**	
Р… Александр Сергеевич	**19.06.19**	**15:07:48**	**1,423**	**Луна Земля Меркур ий**	**Юпитер Луна Солнце**
О… Сергей Вик-торович	**17.11.16**	**11:59:22**	**1,468**	**Земля Луна Венера**	
П… Валерий Геннадиенвич	**17.04.19**	**14:03:02**	**1,671**	**Луна Земля Венера**	**Луна Земля Меркурий**
П… Алексей Юрьевич	**10.09.20**	**11:55:24**	**1,798**	**Сатурн Земля Венера**	**Земля Луна Марс**

Б… Владимир Иванович	09.08.17	9:44:43	1,859	Луна Земля Мерку-рий	
Р… Геннадий Георгиевич	30.07.20	9:23:49	2,041	Луна Земля Венера	
Р… Алексей Пет-рович	05.07.18	15:05:43	2,139	Марс Земля Мерку-рий	
Г… Татьяна Ген-надьевна	19.08.20	10:38:00	2,209	Земля Луна Солнце Мерку-рий	
Д… Игорь Вла-димирович	31.05.17	9:21:38	2,214	Марс Земля Сатурн	
З… Татьяна Александровна	17.12.20	14:00:44	20,277	Земля Луна Сатурн	Земля Луна Юпитер
П… Григорий Николаевич	04.04.19	10:58:24	20,289	Земля Луна Мерку-рий	
К… Анна Михай-ловна	06.03.19	10:42:24	20,423	Земля Луна Солнце	
Б… Ольга Лео-нидовна	19.07.17	12:01:46	20,448	Земля Солнце Марс	Земля Луна Венера
В… Галина Алек-сеевна	16.07.20	10:46:39	20,746		
Б… Ольга Викто-ровна	28.03.17	12:02:20	21,056	Земля Луна Венера	
М… Марина Дмитриевна	15.01.20	16:06:30	21,082	Луна Земля	Земля Солнце

				Венера	Сатурн (Меркурий)
А… Виктория Владимировна	01.03.18	15:43:02	21,332	Луна Земля Солнце	
Г… Елена Анатольевна	21.11.19	14:07:10	21,622	Луна Земля Нептун	
Н… Марина Леонидовна	21.06.17	9:46:53	21,721	Земля Солнце Меркурий	
Б… Татьяна Федоровна	22.08.19	14:10:53	22,020	Земля Солнце Венера	
Б… Ирина Николаевна	07.06.18	11:50:58	22,208	Земля Солнце Меркурий	
Ч… Татьяна Владимировна	25.07.19	9:30:09	23,551	Земля Меркурий Венера	
М… Татьяна Владимировна	08.08.19	12:31:56	23,662	Земля Солнце Венера	Земля Солнце Марс
М… Людмила Викторовна	24.01.18	14:20:34	23,872	Земля Луна Уран	Земля Солнце Венера
Г… Николай Иванович	31.10.18	14:10:44	24,382	Луна Земля Марс	Земля Венера Солнце
Б… Татьяна Ивановна	03.12.20	12:21:51	28,458	Луна Земля Юпитер (Сатурн Плутон)	Земля Солнце Меркурий

В точке F3

Л… Екатерина Владимировна	16.08.18	12:05:29	26,308	Земля Луна Юпитер	
К… Елена Анатольевна	15.11.18	9:31:00	25,279	Земля Луна Марс	
Т… Светлана Викторовна	15.01.20	10:48:41	24,330	Луна Земля Венера	
Г… Николай Иванович	31.10.18	14:10:44	22,883	Луна Земля Марс	
Ч… Татьяна Владимировна	25.07.19	9:30:09	22,571	Земля Солнце Венера	
Б… Татьяна Федоровна	22.08.19	14:10:53	21,592	Земля Солнце Венера Марс	
В… Татьяна Николаевна	27.03.19	14:18:46	21,447	Земля Луна Юпитер	
М… Людмила Викторовна	24.01.18	14:20:34	21,018	Земля Солнце Венера	Луна Земля Юпитер
З… Татьяна Александровна	17.12.20	14:00:44	21,003	Земля Луна Юпитер Сатурн	Земля Солнце Меркурий
Е… Валентина Ивановна	02.10.19	13:28:32	20,723	Земля Луна Юпитер	
Т… Федор Васильевич	31.10.18	16:42:33	20,709	Луна Земля Марс	Земля Меркурий Юпитер
Г… Елена Валерьевна	22.05.19	9:24:25	20,700	Луна Юпитер Земля	Земля Солнце Меркурий

Л… Елена Владимировна	04.03.20	15:29:40	20,445	Луна Земля Марс	
Н… Светлана Викторовна	25.04.19	12:07:00	20,096	Земля Луна Солнце	
К… Олеся Леонидовна	03.12.20	9:43:16	20,046	Луна Земля Юпитер	Луна Земля Сатурн
В… Руслан Викторович	19.06.19	9:48:15	2,554	Земля Луна Сатурн	
Р… Александр Сергеевич	19.06.19	15:07:48	2,504	Земля Меркурий Марс	Земля Луна Сатурн
К… Екатерина Николаевна	26.06.20	9:46:08	2,437	Луна Земля Марс	
Б… Станислав Владимирович	03.09.20	17:08:39	2,411	Луна Земля Меркурий	Венера Земля Сатурн
М… Снежана Алексеевна	12.11.20	15:08:36	2,404	Марс Земля Венера	
Т… Василий Иванович	02.07.20	11:54:50	2,238	Луна Земля Венера	Земля Меркурий Солнце
Д… Игорь Владимирович	31.05.17	9:21:38	2,000	Марс Земля Сатурн	
Р… Алексей Петрович	05.07.18	15:05:43	1,983	Марс Земля Меркурий	
П… Валерий Геннадиенвич	17.04.19	14:03:02	1,955	Луна Земля Венера	Луна Земля Меркурий
Е… Александр Николаевич	15.07.20	10:44:32	1,869	Юпитер Земля Солнце	Солнце Земля Сатурн

Ж… Алексей Владимирович	18.07.18	14:02:46	1,778	Сизигий нет МАРС	
Д… Галина Владимировна	14.10.16	9:57:28	1,708	Луна Земля Юпитер	
Ч… Юрий Николаевич	06.12.18	12:16:34	1,683	Земля Луна Меркурий	Земля Луна Юпитер
П… Алексей Юрьевич	10.09.20	11:55:24	1,461	Сизигий нет МАРС	
С… Антонина Владимировна	19.06.19	10:51:33	1,425	Луна Земля Марс	Луна Земля Меркурий
Б… Сергей Иванович	26.03.20	14:05:17	1,068	Сатурн Луна Земля	Земля Меркурий Марс
П… Ирина Викторовна	20.12.16	9:49:35	0,257	Луна Земля Марс	Луна Земля Венера

Точка Р4, работа с фотографиями

О… Сергей Викторович	17.11.16	11:59:22	1,784	Земля Луна Венера Есть ранее	
Б… Ирина Викторовна	27.10.16	16:10:59	1,973	Земля Солнце Меркурий	Земля Луна Юпитер
П… Наталья Анатольевна	27.10.16	14:21:16	2,387	Земля Солнце Меркурий	Земля Луна Юпитер
Л… Михаил Павлович	06.12.16	16:56:59	3,142	Земля Солнце Сатурн	

К… Екатерина Ивановна	20.10.16	16:38:08	3,222	Земля Солнце Меркурий	Луна Земля Сатурн
П… Ирина Викторовна	20.12.16	9:49:35	3,498	Земля Луна Юпитер Есть ранее	
Ш… Александр Алексеевич	20.12.16	18:10:58	3,646	Марс рядом	Луна Земля Марс
К… Оксана Петровна	20.10.16	14:52:39	3,956	Земля Солнце Меркурий	Луна Земля Сатурн
Д… Галина Владимировна	14.10.16	9:57:28	4,059	Луна Земля Юпитер Есть ранее	
П… Владимир Юрьевич	30.11.16	14:12:42	4,273	Земля Луна Меркурий	Луна Земля Сатурн
Л… Борис Евгеньевич	27.10.16	11:13:26	4,303	Земля Солнце Меркурий	Земля Венера Сатурн
Б… Ольга Викторовна	28.03.17	12:02:20	4,406	Земля Луна Венера Есть ранее	
Ш… Галина Александровна	04.10.17	15:32:42	21,829	Луна Земля Венера	
С… Светлана Александровна	07.08.19	14:16:00	21,913	Земля Солнце Венера	
К… Владимир Михайлович	31.01.19	15:44:31	22,062	Земля Луна	Земля Луна

				Юпитер	Венера
Ф… Екатерина Владимировна	16.09.20	12:00	22,074	Земля Луна Солнце	
Т… Светлана Васильевна	30.08.20	12:00	22,499	Луна Земля Венера	
И… Юлия Сергеевна	07.02.17	17:02:19	22,609	Земля Венера Марс	Луна Земля Меркурий
А… Юлия Сергеевна	01.10.20	11:57:07	22,709	Земля Луна Марс	МАРС рядом
К… Оксана Владимировна	03.06.20	12:02:13	22,765	Луна Земля Венера	Луна Земля Уран
Р… Анастасия Сергеевна	02.08.18	12:13:49	22,972	МАРС рядом	
С… Евгений Борисович	15.07.20	16:04:36	23,284	Солнце Земля Юпитер	Солнце Земля Сатурн
Ш… Сергей Михайлович	19.07.18	16:28:26	23,300		
Ш… Вадим Владимирович	03.12.20	14:21:44	23,314	Луна Земля Плутон	Луна Земля Юпитер Сатурн
З… Иван Леонидович	26.12.19	15:48:51	23,385	Земля Луна Плутон	Земля Луна Меркурий
П… Евгений Анатольевич	31.07.19	10:53:08	23,593	Земля Луна Меркурий	Земля Луна Плутон
К… Александр Анатольевич	23.11.17	12:07:45	23,660	Земля Луна Плутон	
Б… Татьяна Ивановна	03.12.20	12:21:51	23,818	Луна Земля Юпитер	Земля Солнце Меркурий

				(Сатурн Плутон)	Есть ранее
М… Ирина Нико-лаевна	19.03.20	10:39:28	23,857	Земля Луна Марс	Земля Луна Юпитер
Ч… Александр Григорьевич	08.08.19	9:40:09	24,785	Земля Солнце Венера	
К… Анатолий Николаевич	23.01.19	9:59:27	25,272	Земля Венера Юпитер	
Ж… Олег Михай-лович	24.12.20	18:07:40	25,779	Земля Юпитер Сатурн	
Б… Алексей Алексеевич	31.01.19	18:14:09	27,354	Земля Луна Венера	
Ш… Лариса Алексеевна	12.11.19	16:53:42	31,342	Луна Земля Венера	Луна Земля Меркурий

Мозг человека под влиянием резонансов космических энергий

Конюхов Н.И., Конюхова Е.Н.

Художественный редактор *В.Н. Дегтярев*
Технический редактор *Е. Н. Конюхова*
Художник *В.Н. Дегтярёв*

Отпечатано в типографии «Хорошая типография»
г. Санкт-Петербург, пр. Стачек, д. 47/710
sales@dariknigi.ru
http://www.dariknigi.ru/about.html
7 (812) 426-18-62
Подписано в печать 30.03.2021. Формат 60´90/16.
Бумага офсетная. Усл. печ. л. 20. Тираж 100 экз. Заказ № 115